

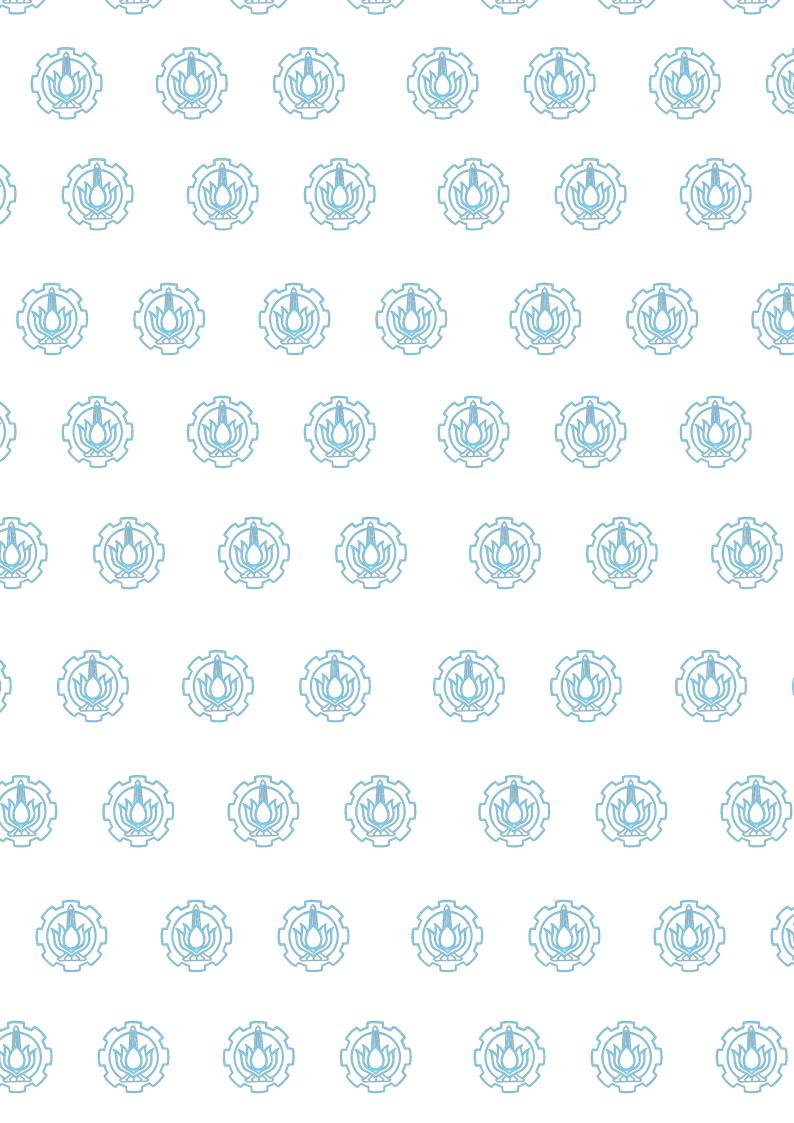
TESIS - TE142599

PENGENALAN EMOSI PADA MANULA BERBASIS SINYAL SPO₂ DAN PULSE RATE MENGGUNAKAN METODE *SUPPORT VECTOR MACHINE*

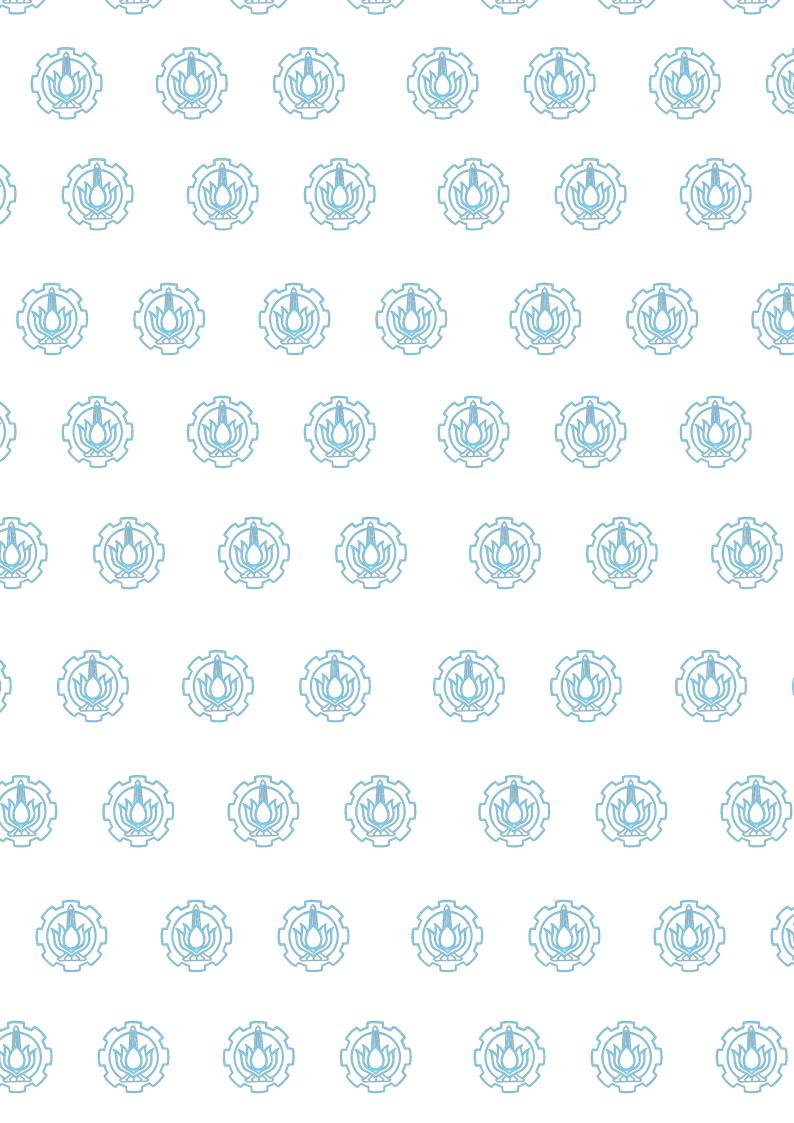
LUTFI HAKIM 07111650060001

DOSEN PEMBIMBING Prof. Dr. Ir. Mauridhi Hery Purnomo, M.Eng. Dr. Adhi Dharma Wibawa, S.T., M.T.

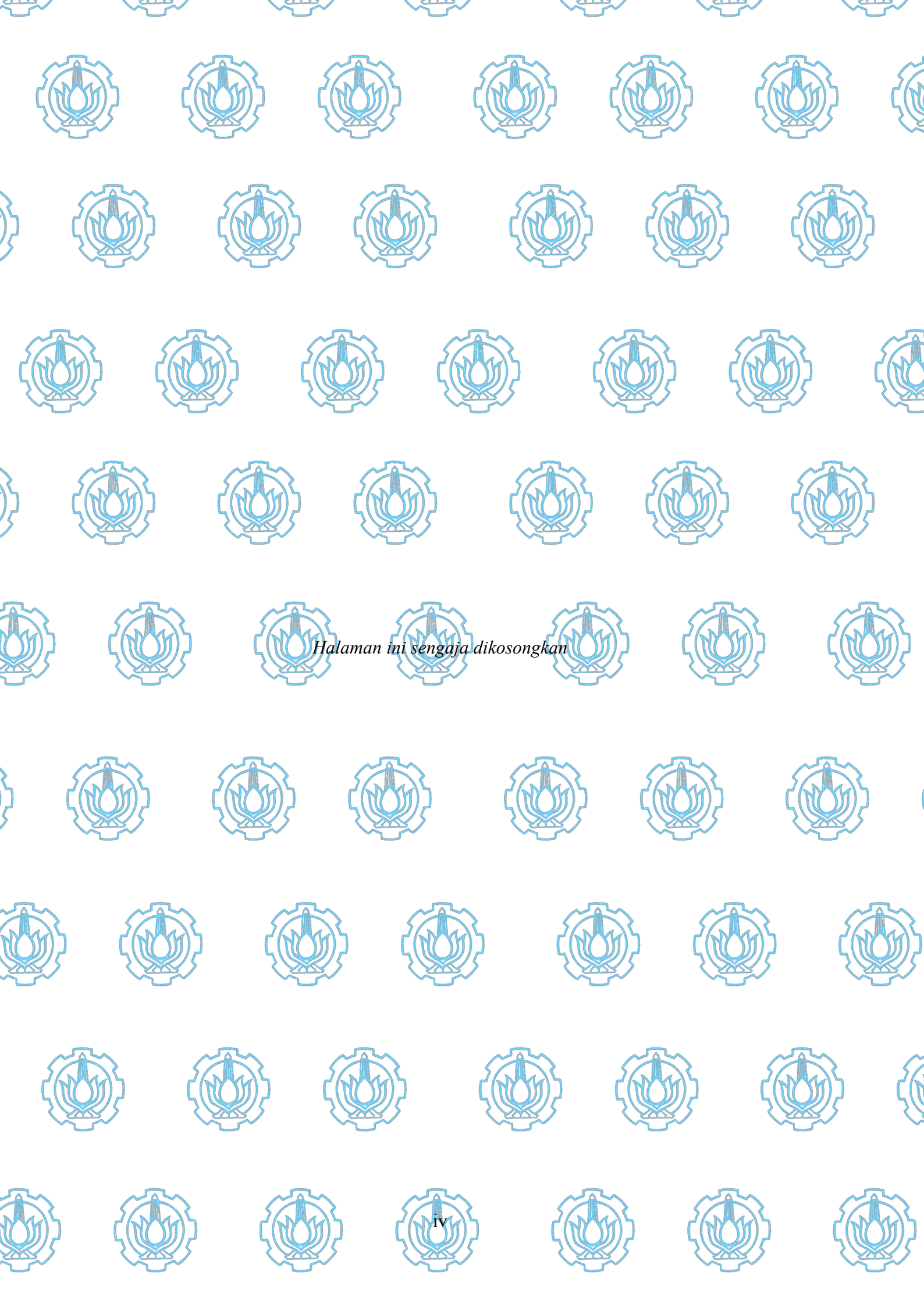
PROGRAM MAGISTER
BIDANG KEAHLIAN TELEMATIKA
DEPARTEMEN TEKNIK ELEKTRO
FAKULTAS TEKNOLOGI ELEKTRO
INSTITUT TEKNOLOGI SEPULUH NOPEMBER
SURABAYA
2018

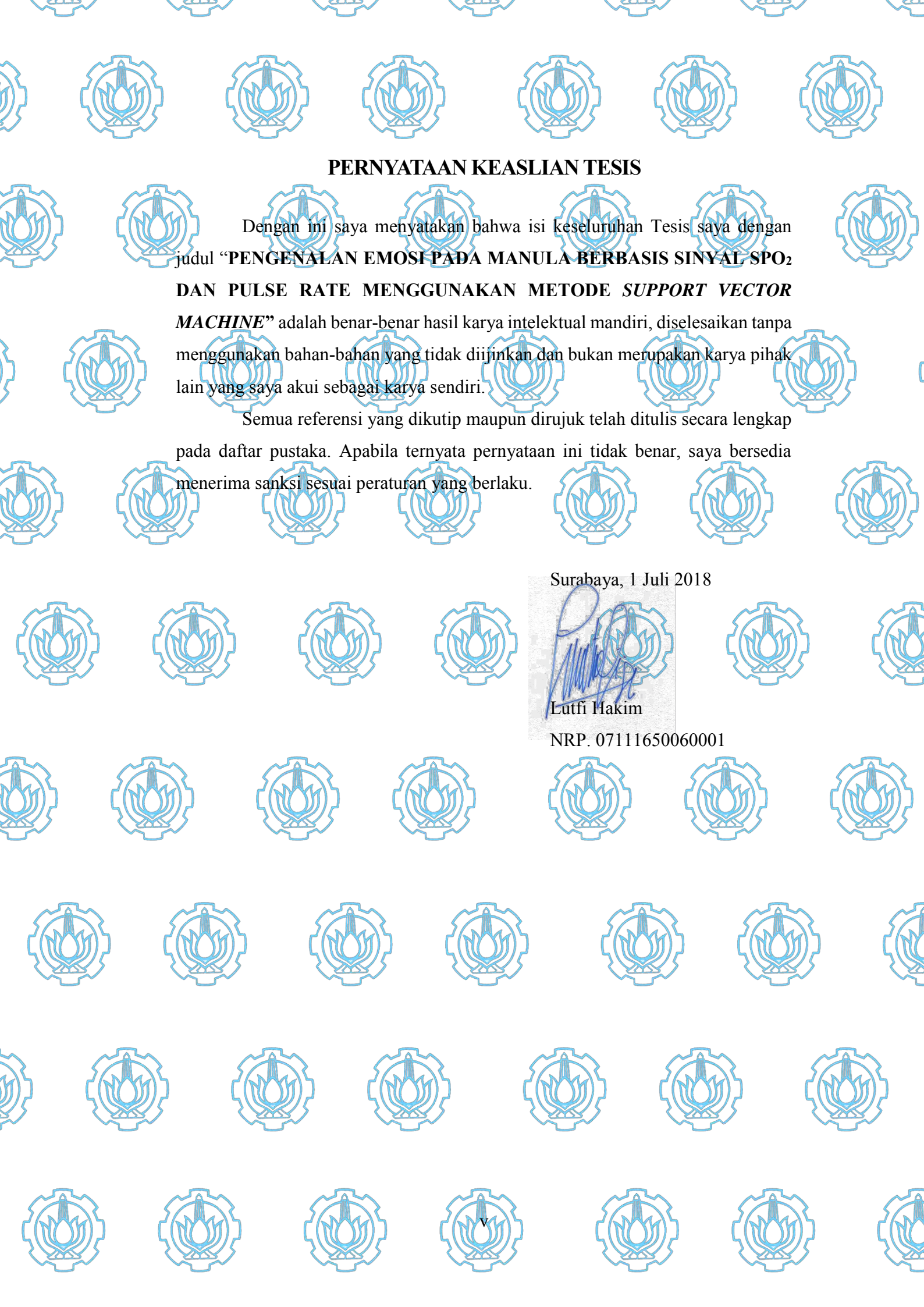


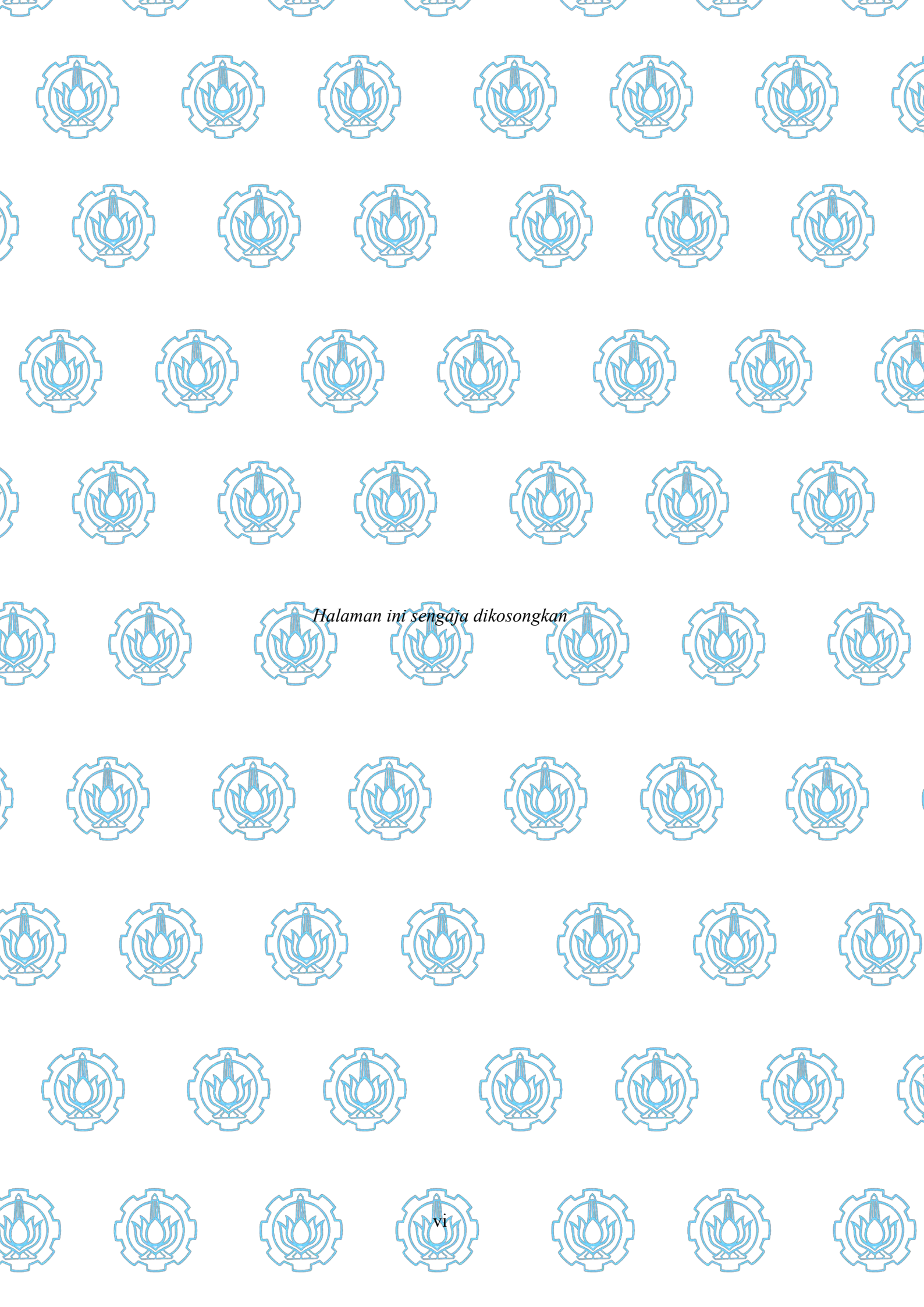
















Pembimbing

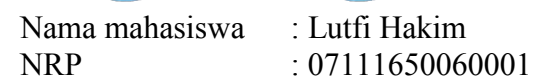










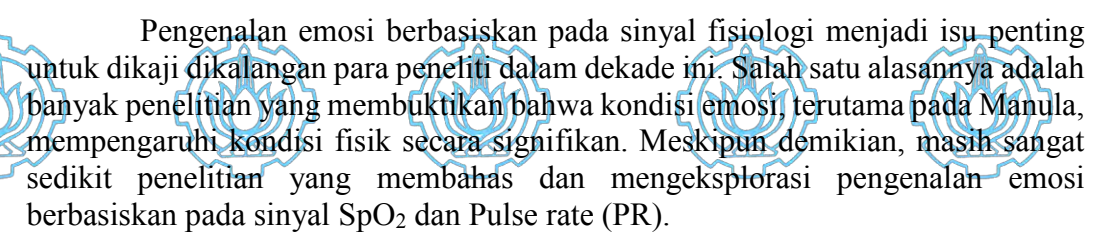


1. Prof. Dr. Ir. Mauridhi Hery Purnomo, M.Eng.

2. Dr. Adhi Dharma Wibawa, S.T., M.T.







Penelitian ini mengusulkan sebuah sistem untuk mengenali tiga emosi dasar pada Manula, seperti Senang, Sedih dan Marah yang berdasarkan kedua jenis sinyal fisiologi tersebut. Metode segmentasi window size digunakan untuk mengekstraksi kedua sinyal fisiologi tersebut yang dibagi menjadi per 15 detik window size. Selanjutnya, metode ekstraksi fitur statistik digunakan untuk mendapatkan fitur-fitur dari sinyal SpO₂ dan PR. Metode Support Vector Machine (SVM) dengan pemilihan parameter C dan λ terbaik dan kNN dengan memilih K perbandingan digunakan klasifikasi sebagai mengklasifikasikan fitur-fitur yang telah diekstraksi dan diuji kedalam beberapa skenario, diantaranya klasifikasi menggunakan fitur kombinasi SpO₂ dan PR, klasifikasi hanya fitur SpO₂ dan PR.

Berdasarkan pada hasil eksperimen, didapatkan bahwa metode SVM dapat mengenali emosi lebih baik dibandingkan kNN dengan nilai akurasi terbaik 72,775%, dengan presisi 70,50% dan skor F1 69,60%. Selain itu, kombinasi fitur dari kedua sinyal fisiologi dalam meningkatkan nilai akurasi lebih dari 4,00% baik pada SVM dan kNN dibandingkan dengan klasifikasi menggunakan single sinyal fisiologi. Hasil ini menyediakan informasi bahwa pengenalan emosi berdasarkan sinyal SpO₂ dan PR yang dapat dideteksi lebih baik dengan menggunakan kombinasi kedua fitur sinyal tersebut. Lebih jauh, memilih parameter C dan λ pada SVM dan nilai K pada kNN untuk mendapatkan hasil klasifikasi yang optimal dapat diemplementasikan untuk mendapatkan hasil klasifikasi yang lebih baik.



Kata kunci Pengenalan emosi manusia, klasifikasi sinyal fisiologi, sensor pulse oximeter, Efek stimulasi video, k-Nearest Neighbors.



















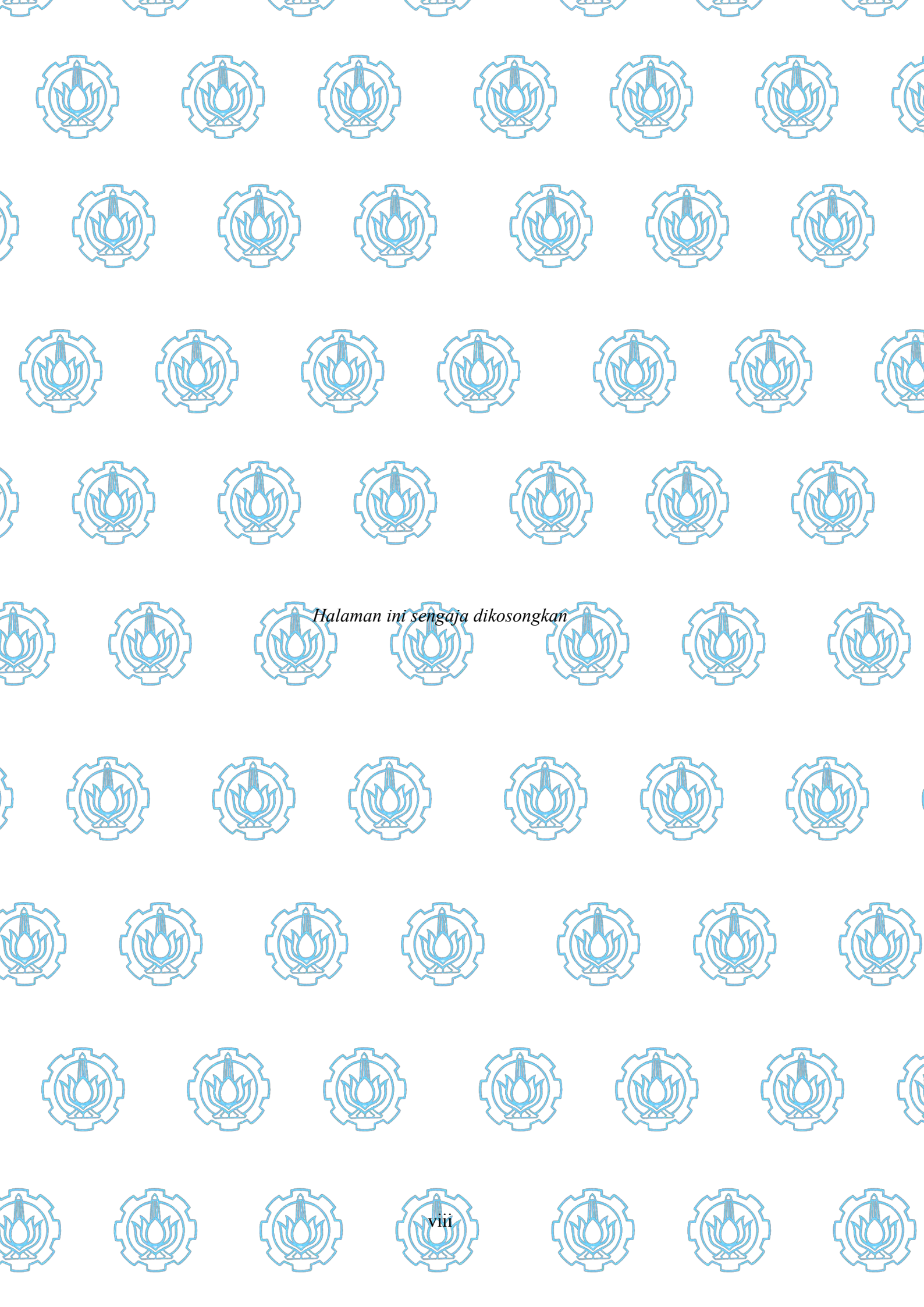
























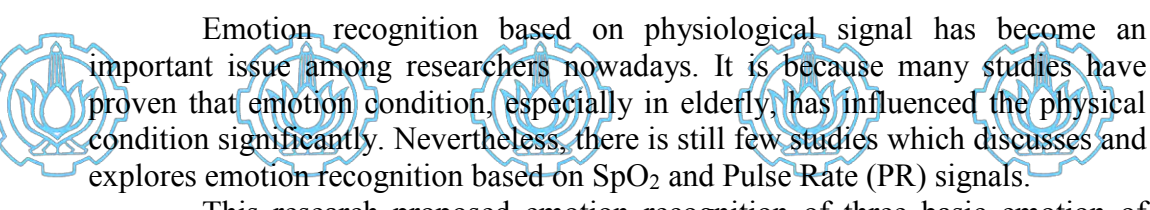
EMOTION RECOGNITION IN ELDERLY BASED ON SPO2 AND PULSE RATE SIGNALS USING SUPPORT VECTOR MACHINE METHOD



Supervisor(s) : 1. Prof. Dr. Ir. Mauridhi H. Purnomo, M.Eng.

2. Dr. Adhi Dharma Wibawa, S.T., M.T.





This research proposed emotion recognition of three basic emotion of elders, such as happy, sad and angry based on those physiological signals. Window size segmentation method was used to extract of both physiological signals reduced to 15 seconds lenght. Then, statistical feature extraction method was used to obtain the features of SpO₂ and PR signals. Support Vector Machine (SVM) with selecting of the best C and λ parameters and choosing of the optimal K parameter of k-Nearest Neighbors (kNN) method as a comparison were used to classify the extracted features which were tested in several scenarios. There were classification using SpO₂-PR, SpO₂ and PR features.

According to work, SVM method achieved the best accuracy (72,775%), with precision 70,50% and F1 score 69,60% compared to kNN. Furthermore, combining of the features of both physiological signals could improve the accuracy more than 4,0% both SVM and kNN methods compared to the single physiological signal. This result provides information of emotions in term of SpO₂ dan PR signals which can be better detected by combining the features of physiological signals. Also, the selected SVM of the best C and λ parameters and optimal K value of kNN can implement to achieve a better classification result.

Keywords: Human emotion recognition, Classification of an affective physiological signal, Pulse oximetry sensor, Video stimulation effect, k-Nearest Neighbors.

















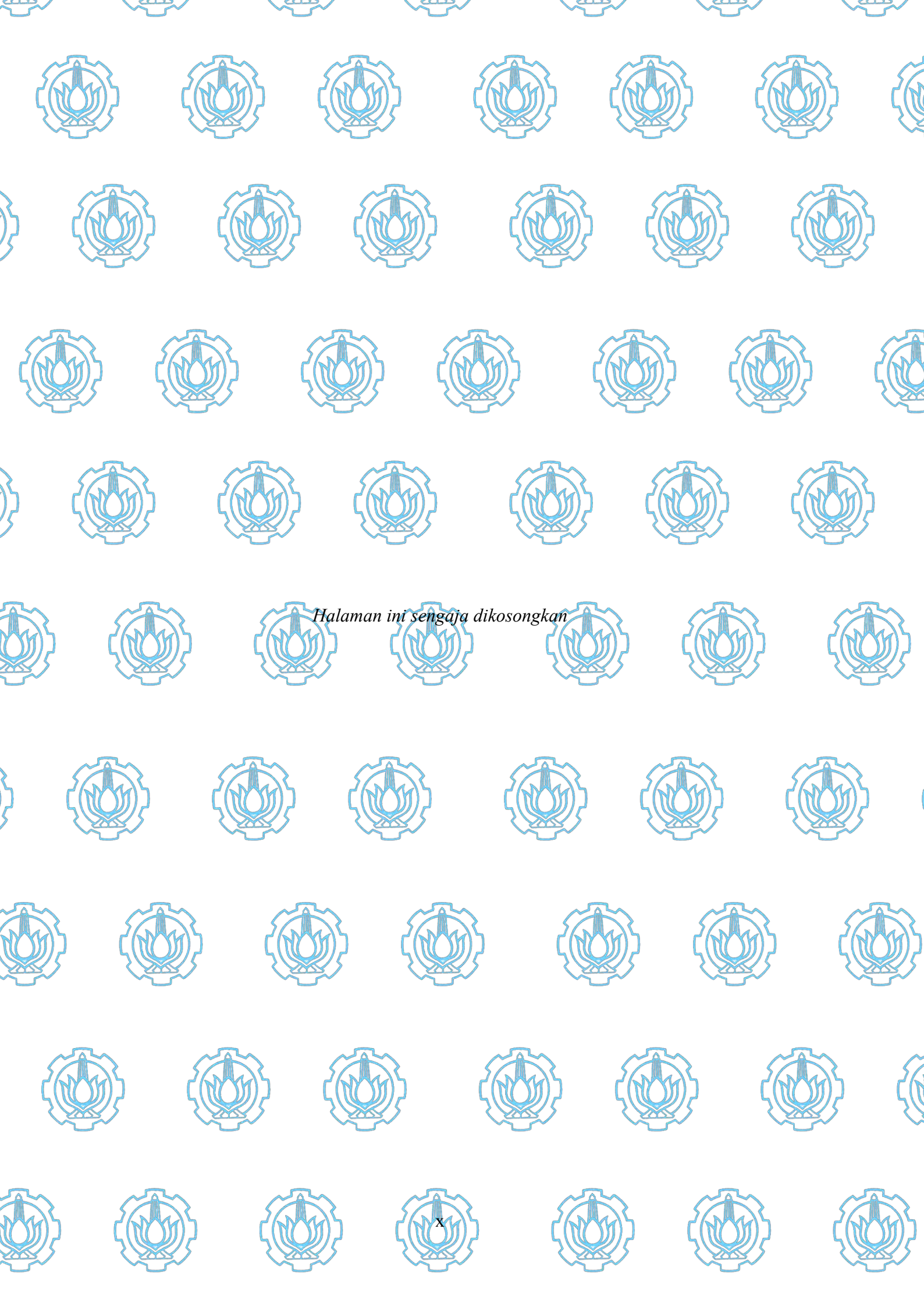


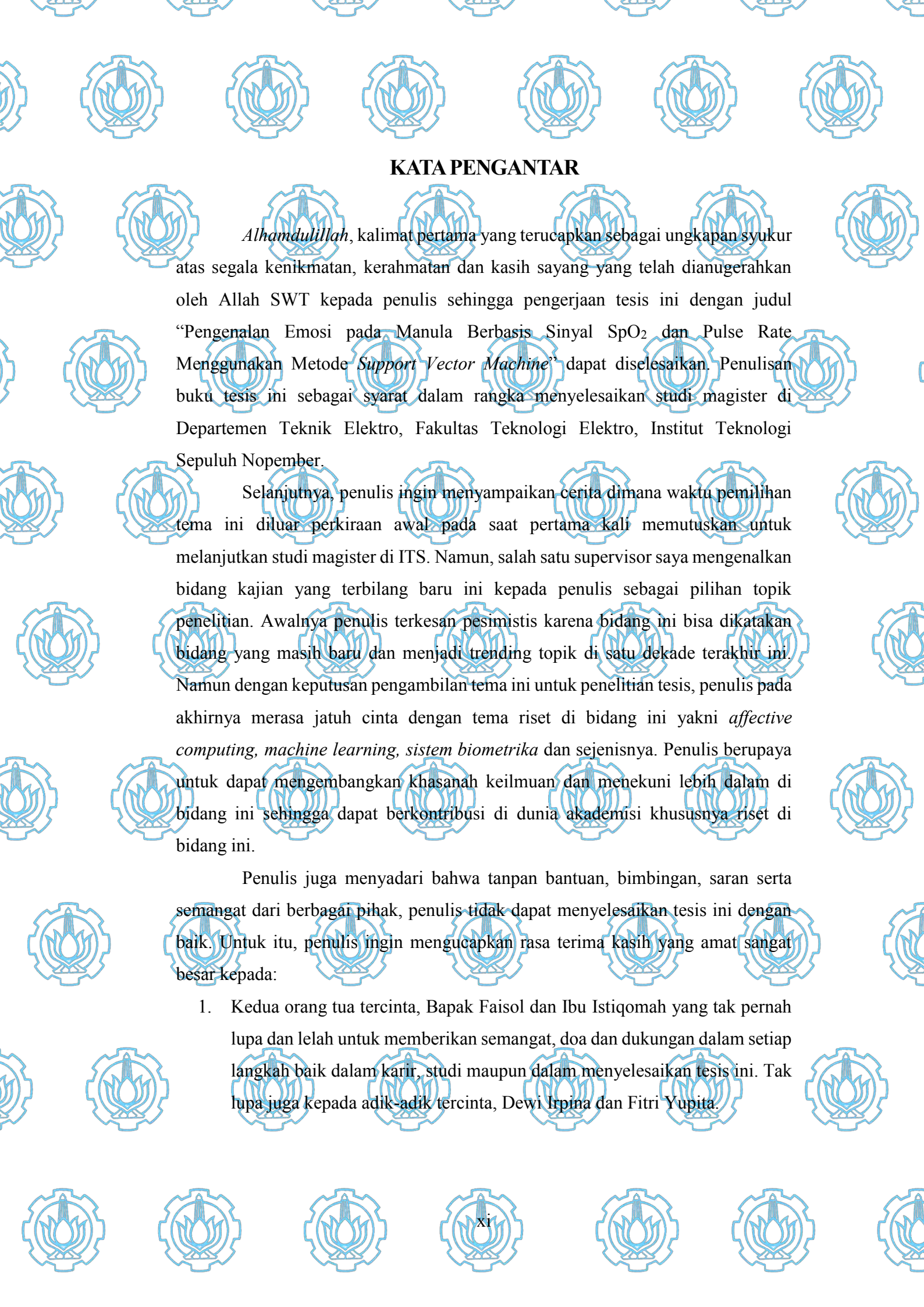


























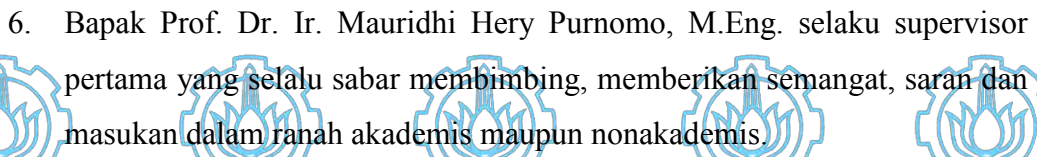
2. Pendorong mood penulis yakni istri tercinta, Yuniarta Syarifatul Umami, atas kasih sayang dan cinta, semangat, dukungan yang diberikan serta apapun yang tak bisa disebutkan satu persatu. Khususnya juga dengan sabar menemani dan membantu penulis dalam mengambil data penelitian.

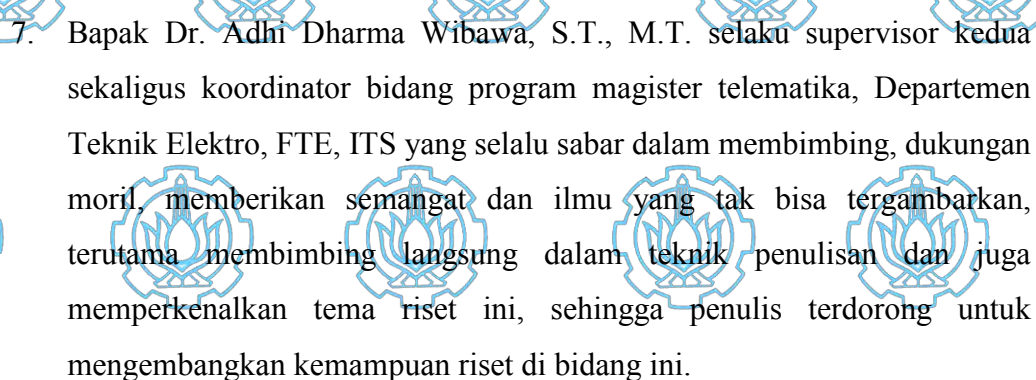


3. Lembaga Pengelola Dana Pendidikan (LPDP) atas beasiswa full yang telah diberikan. Sebuah amanah yang besar diberikan kesempatan untuk menempuh studi magister dengan beasiswa LPDP (beasiswa terlengkap hingga saat ini, bukan hanya memberikan full beasiswa, tapi juga konektifitas dengan orang-orang hebat seluruh Indonesia).



- 4. Bapak Dr. Tri Arief Sarjono, S.T., M.T. selaku Dekan Fakultas Teknologi Elektro, Institut Teknologi Sepuluh Nopember,
- Bapak Dr. Eng. Ardyono Priyadi, ST., M.Eng. selaku Kepala Departemen Teknik Elektro FTE – ITS.







9. Kawan-kawan Telematika dan Petik, diantaranya mbak Alfi, Mas Allan, Mas Andi Setiawan, Mas Andi Akmal, Pak Lukluk, Pak Syamsul, Mas Alfin, Mbak Ika, Mbak Rohmah, Mbak Fahima, Mas Dhanu, Mas Atyanta dan Putri. Terkhusus untuk mbak Alfi, Mas Allan dan Mas Andi Setiawan yang menjadi teman sharing dalam menyelesaikan tesis ini. Juga kepada















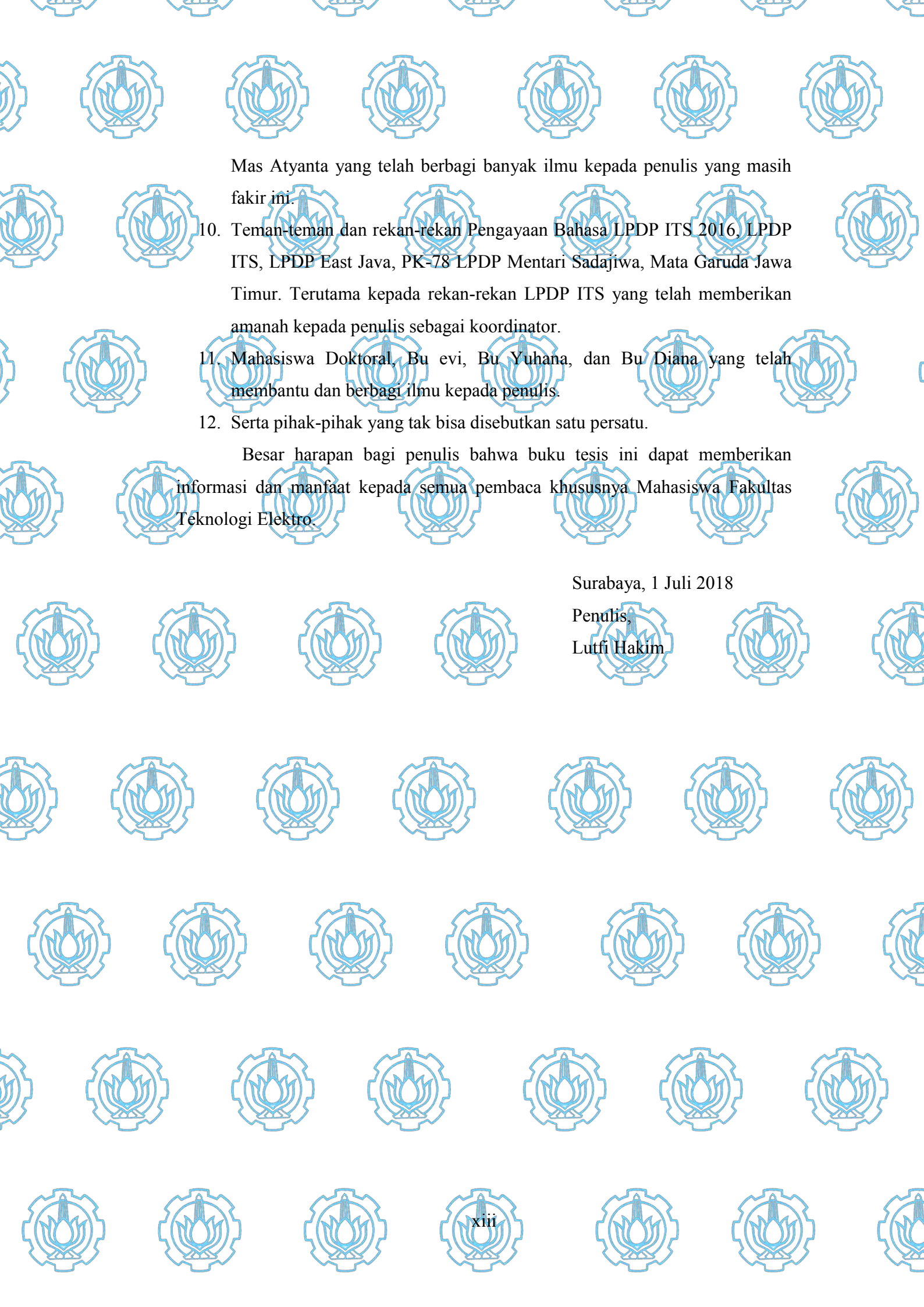


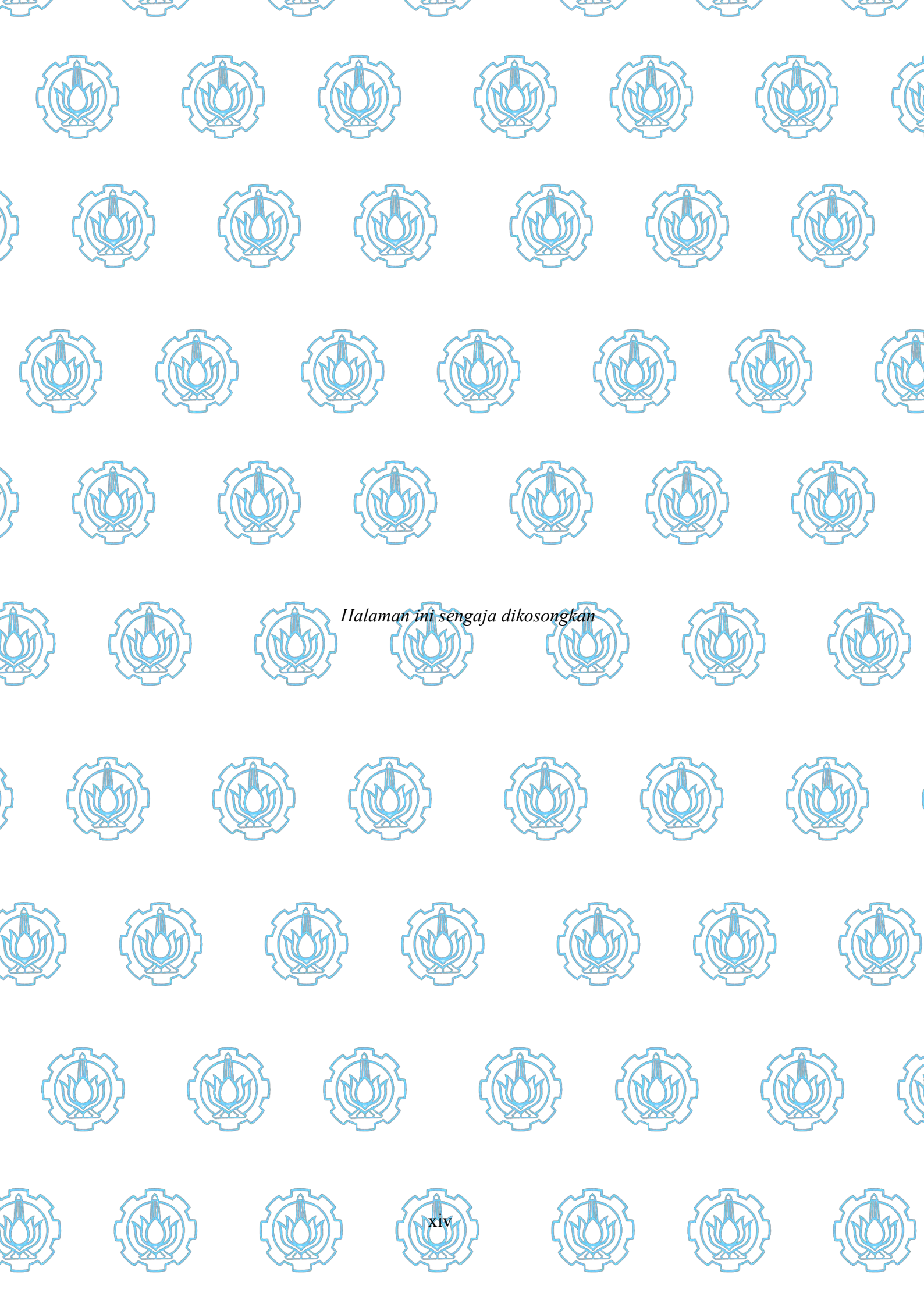


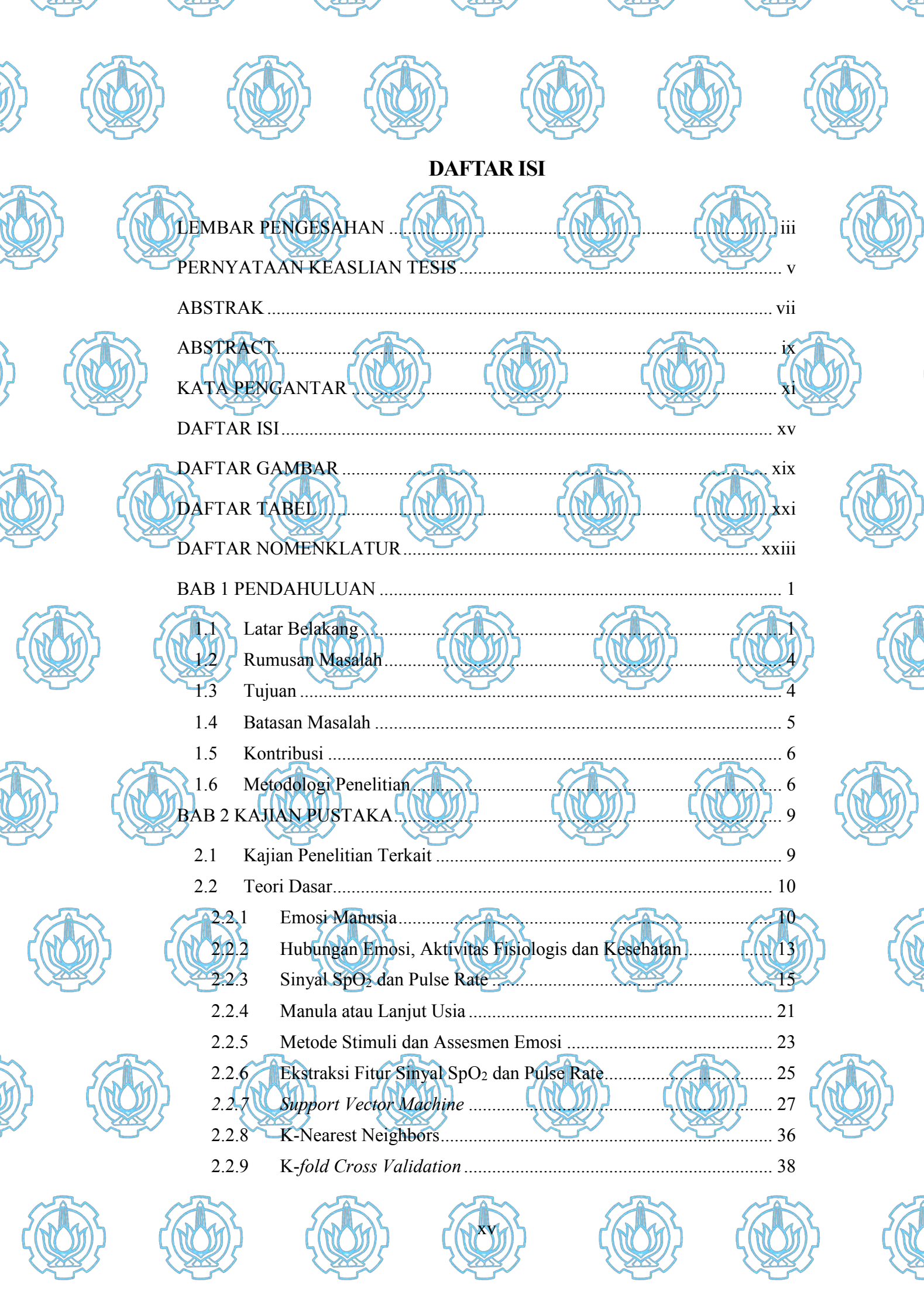


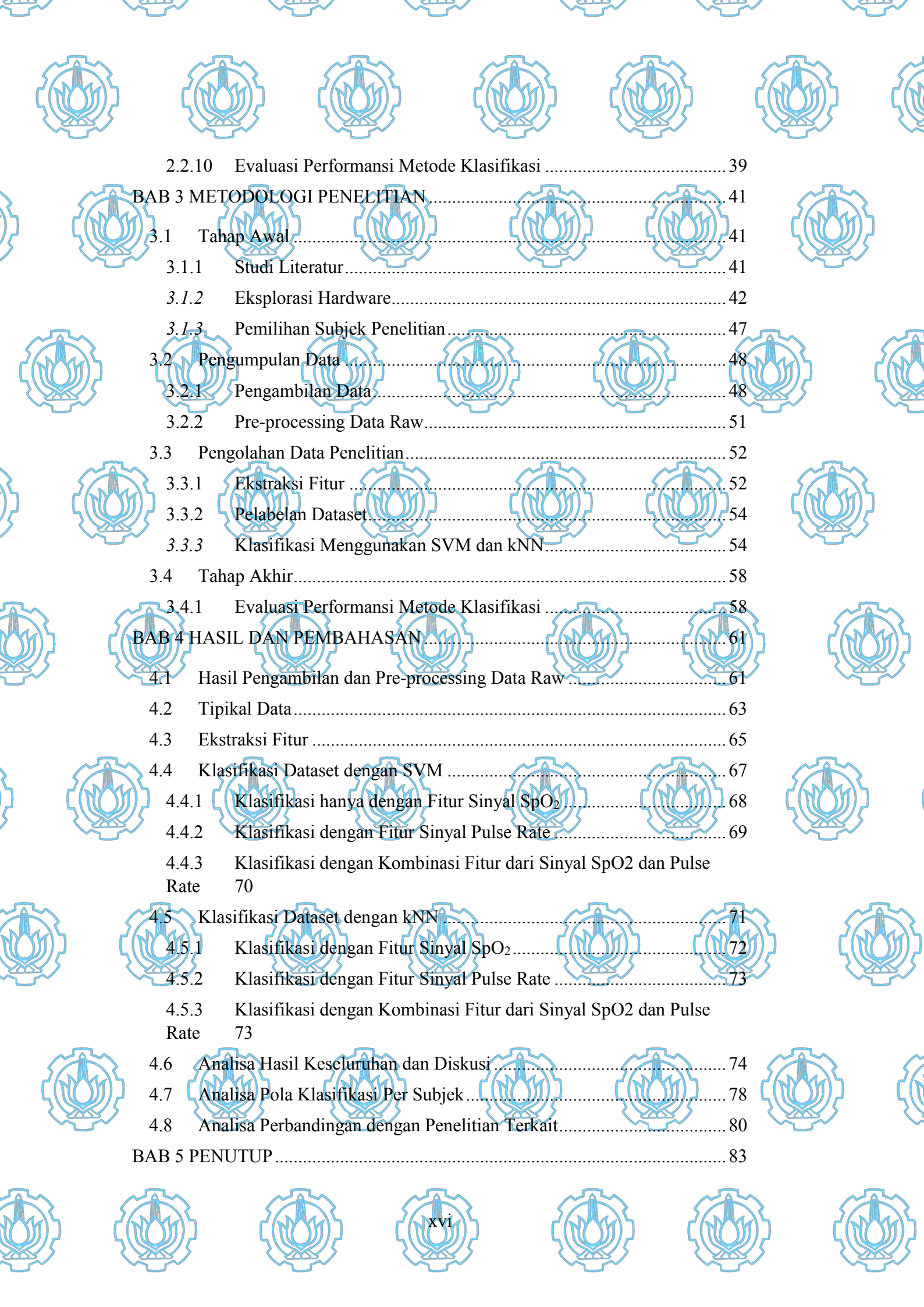


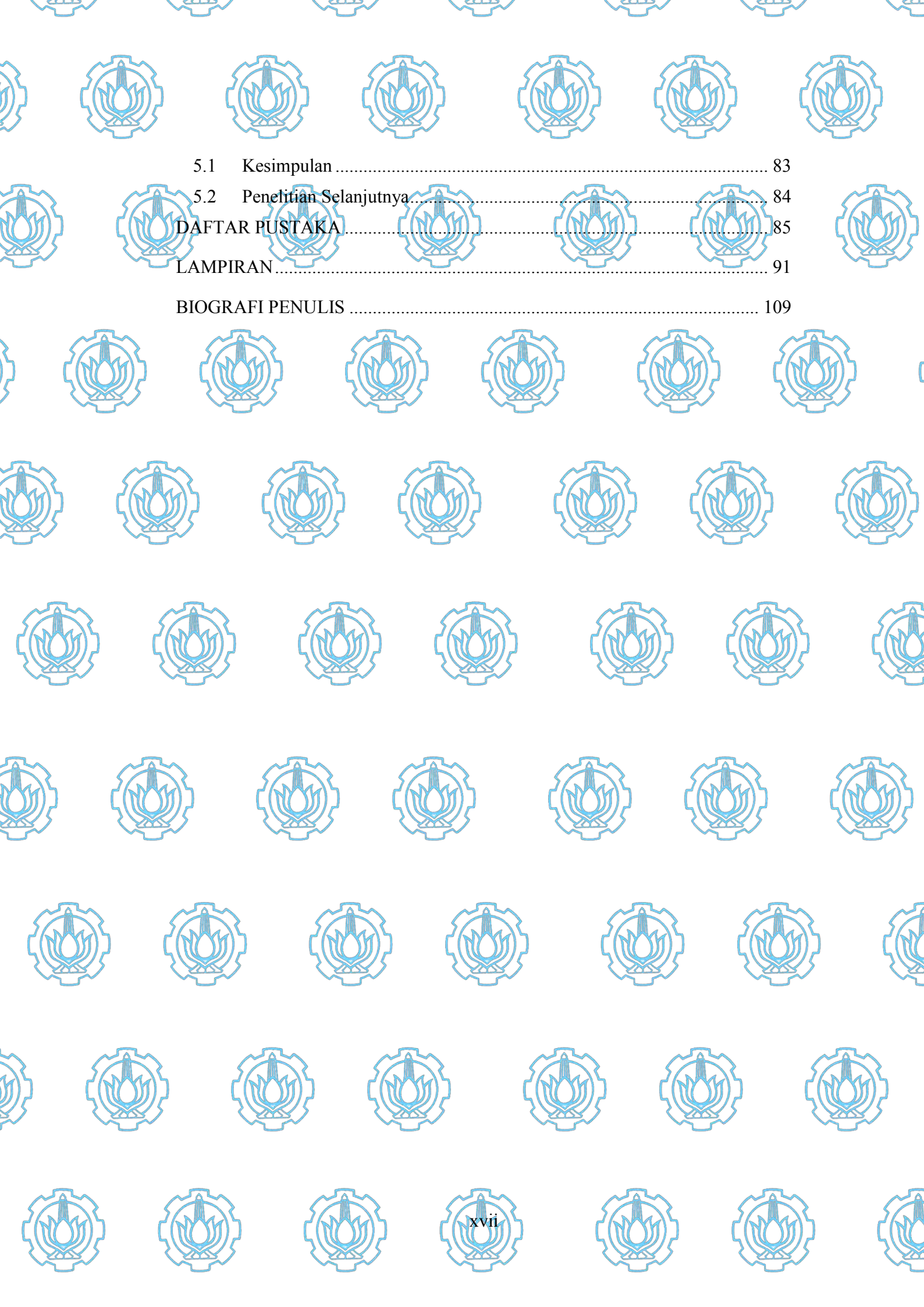


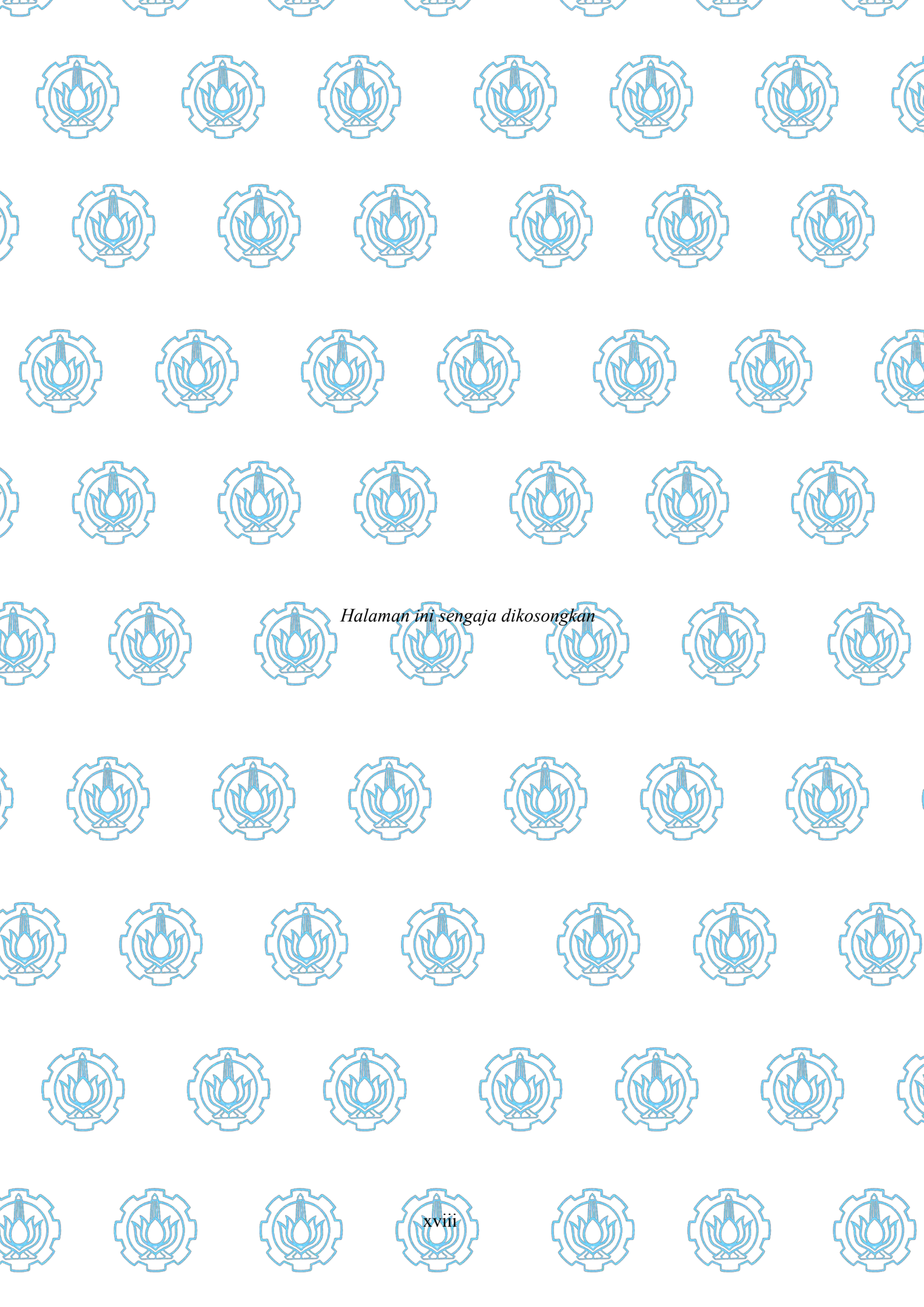
























DAFTAR GAMBAR

	Gambar 1.1 Metodologi Penelitian	. 7
	Gambar 2.1. Model emosi kategorial atau diskrit (A) dan dimensional (B)	13
	Gambar 2.2. Variasi atenuasi ringan menurut jaringan	16
	Gambar 2.3. Penyerapan HbO ₂ dan Hb pada gelombang yang berbeda	18
	Gambar 2.4. Sensor Pulse oximeter Cooking Hacks dan cara pemasangan pada jari tangan [41]	19
	Gambar 2.5. (a) Fungsi klasifikasi <i>linear</i> pada kasus <i>linierly separable</i> , (b) Fung	ssi
	klasifikasi <i>linear</i> yang berbeda (1) dan (2) dan fungsi <i>non-linier</i> (3) pada kasus	
C (NY	linearly non-separable	27
	Gambar 2.6. <i>Hyperplane</i> pemisah xTw $+ b = 0$ dan margin di dalam kasus	80
	× 1	28
	Gambar 2.7. Bidang pemisah xTw + $b = 0$ dan margin di dalam kasus <i>linearly</i>	~
	non-separable	31)
	ruang fitur (feature space) tiga dimensi $\mathbb{R}^2 \mapsto \mathbb{R}^3$	33
	Gambar 2.9. Ilustrasi klasifikasi vektor data dalam pendekatan <i>One-against-one</i>	
	atau pairwise SVM dimana daerah yang diarsir adalah daerah yang tidak	~
	רומכאטט רומכאטט רומכאטט, רומכאטט רומכ	35 39
	Gambar 3.1. Metodologi Penelitian	41
	Gambar 3.2. Pengaturan aplikasi CoolTerm untuk pembacaan USB port serial	44
	Gambar 3.3. (Kiri) Pemasangan modul <i>E-Health sensor platform V2.0</i> pada Arduino Uno Rev 3, (Kanan) Pemasangan sensor pulse oximeter pada jari tangan	n
3)	dan modul E-Health Sensor platform V2.0 yang sudah terkoneksi dengan Arduin	io
	UNO Rev.3 [41]	45
	Gambar 3.4. Tampilan aplikasi <i>Coolterm</i> saat membaca dan menampilkan data	
	Sinyal SpO ₂ dan Pulse rate	46
~~~	rentang domain waktu	47









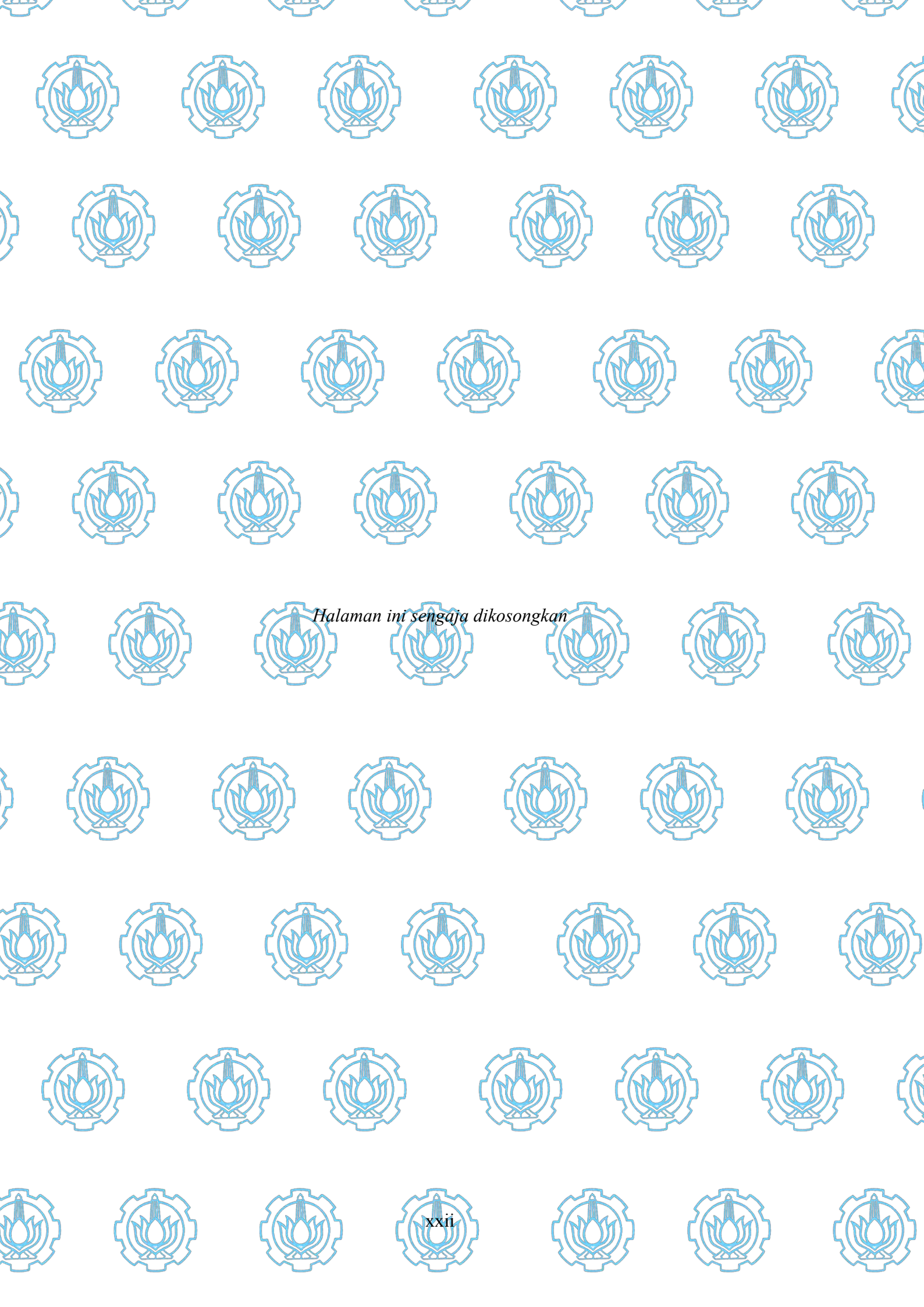




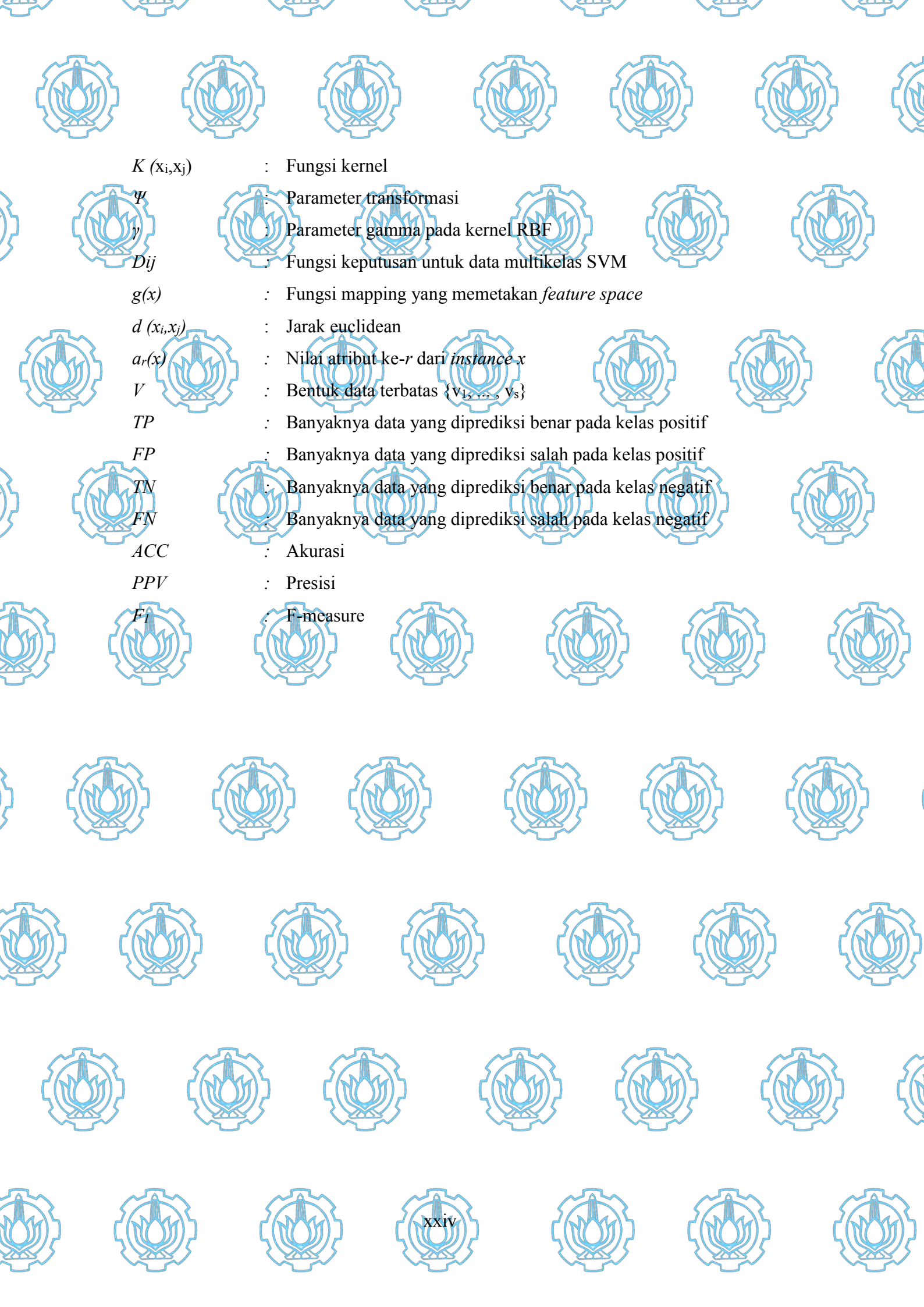


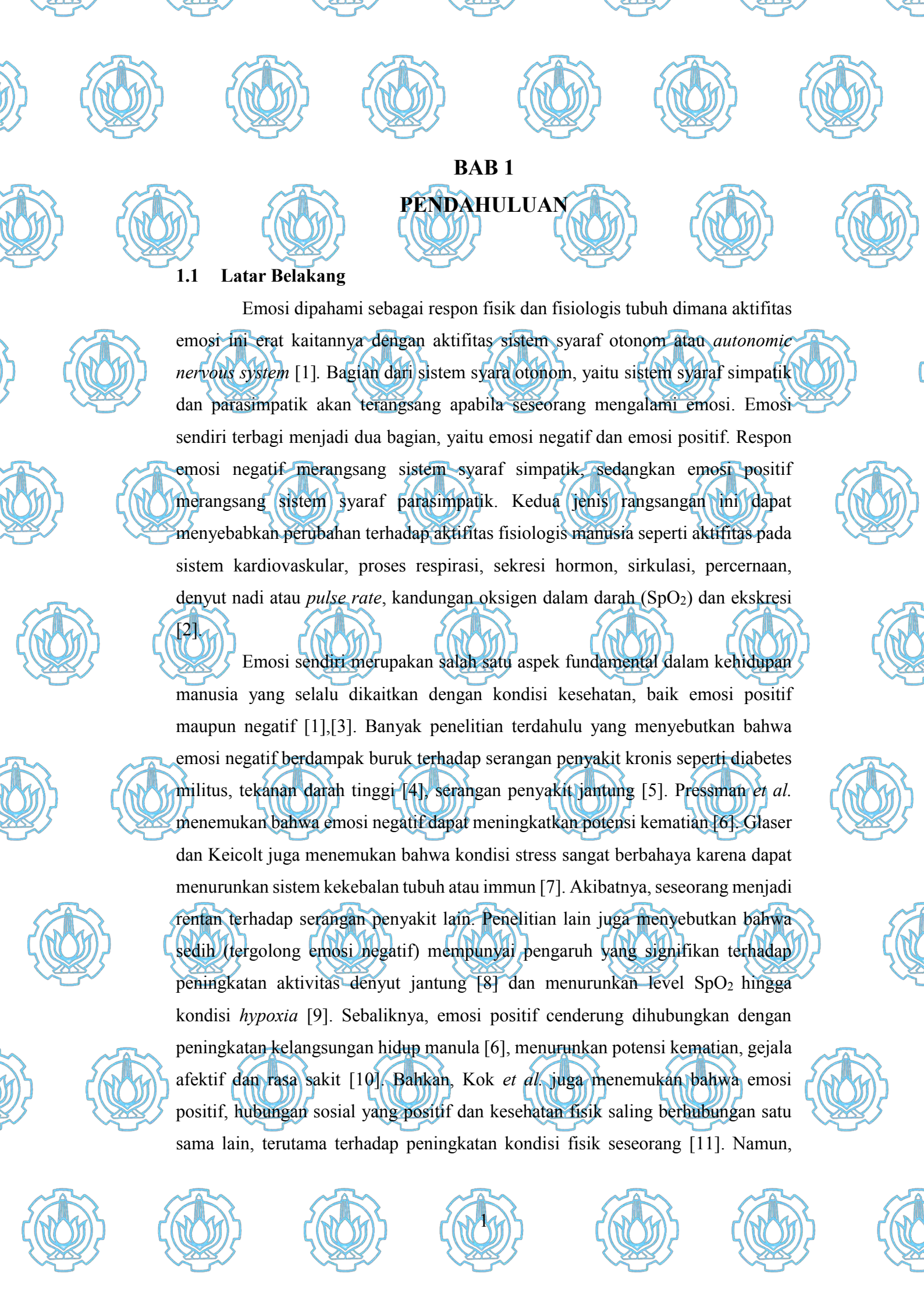
























dengan melihat dampak positif dan negatif yang ditimbulkan dari emosi, langkah pengendalian emosi ini masih bersifat subjektif dan konvensional, terutama sistem peringatan yang dilakukan di rumah sakit. Seorang dokter hanya memberikan peringatan secara konvensional (peringatan secara langsung) terhadap pasien untuk selalu menjaga kondisi fisiologis emosinya. Padahal pengendalian seperti itu bisa saja tidak sepenuhnya maksimal, sehingga menyebabkan proses penanganan medis dan penyembuhan penyakit kurang maksimal.



Animo pemanfaatan sinyal EEG dan ECG sangat besar dikalangan peneliti untuk mengenali atau mendeteksi emosi, seperti yang dilakukan oleh Petrantonakis et al. [12], Mert *et al.* [13], Zhang *et al.* [14] yang mengenali emosi berdasarkan sinyal EEG. Penelitian lain juga melakukan review deteksi emosi berdasarkan sinyal ECG [15]. Selain itu, terdapat juga peneliti yang memanfaatkan multimodal sinyal fisiologis, seperti GSR, EMG, FT, BVP, CO₂ dan RR [16] [17] [18]. Namun

















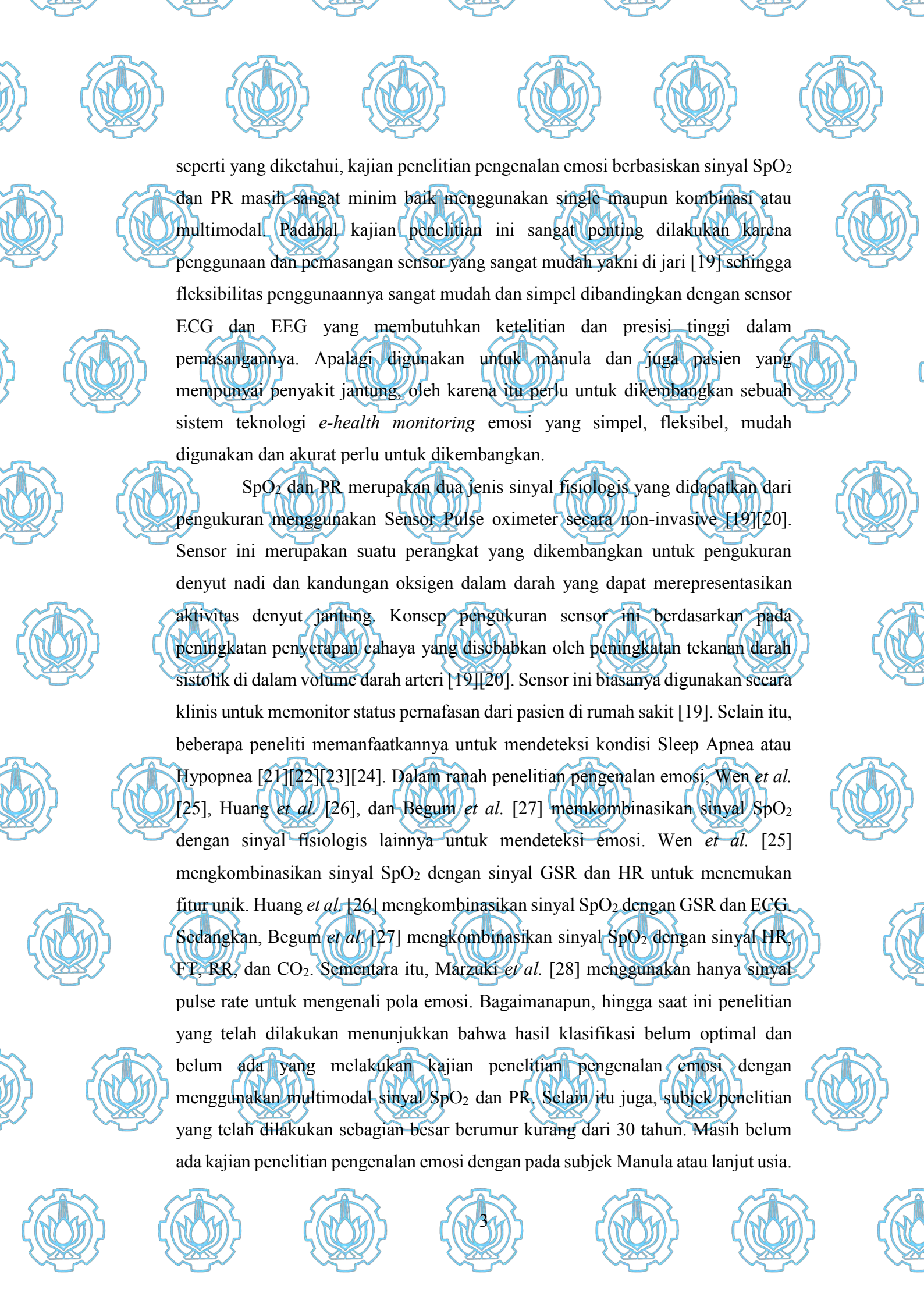
























#### 1.2 Rumusan Masalah

Perhatian masyarakat terhadap kondisi emosi, terutama pasien yang mempunyai riwayat penyakit kronis, masih sangat minim. Kondisi emosi yang tidak stabil, terutama emosi negatif, mengakibatkan pengaruh yang signifikan terhadap kondisi kesehatan seseorang terutama pasien manula yang mempunyai riwayat penyakit kronis. Kondisi ini dapat meningkatkan potensi kematian, menurunkan sistem kekebalan tubuh sehingga berdampak pada serangan penyakit kronis lainnya. Namun, masalah ini tidak diimbangi dengan perkembangan sistem teknologi yang dapat memonitor kondisi emosi manusia berdasarkan aktivitas fisiologis.

Pemanfaatan sensor Pulse Oximeter dalam mendeteksi kondisi emosi manusia dapat dijadikan tolok ukur baru dalam monitoring kondisi emosi. Sensor ini dapat mengukur kondisi fisiologis seseorang dengan merepresentasikan ke dalam jenis sinyal SpO₂ dan Pulse rate. Selama ini, penelitian yang membahas pengenalan emosi dengan menggunakan sinyal SpO₂ dan Pulse rate masih sangat minim. Para peneliti banyak yang menggunakan sinyal fisiologis lainnya seperti EEG, ECG, BVP, GSR dalam mengenali kondisi emosi seseorang. Selain itu, subjek penelitian yang oleh peneliti-peneliti terdahulu sebagian besar seseorang yang berusia dibawah 30 tahun dan masih sangat minim yang melakukan penelitian pengenalan emosi pada kelompok orang usia lanjut (Manula).



Berdasarkan permasalahan yang telah diuraikan diatas baik pada latar belakang dan rumusan masalah, tujuan yang menjadi perhatian utama pada penelitian ini adalah mengenali ciri-ciri dan pola emosi atau deteksi emosi pada manula berdasarkan aktivitas fisiologis yang tergambar berdasarkan sinyal SpO₂ dan Pulse rate dengan menggunakan metode yang diusulkan.

Selain itu tujuan utama tersebut, juga terdapat tujuan khusus dari segi teknis pengolahan data untuk mencapai hasil yang maksimal dalam memenuhi tujuan utama di atas, diantaranya adalah 1) mengidentifikasi pengaruh klasifikasi baik menggunakan SVM atupun kNN dengan melatih dan menguji dataset dengan tiga skenario yang berbeda yakni berdasarkan penggabungan 16 fitur statistik sinyal

















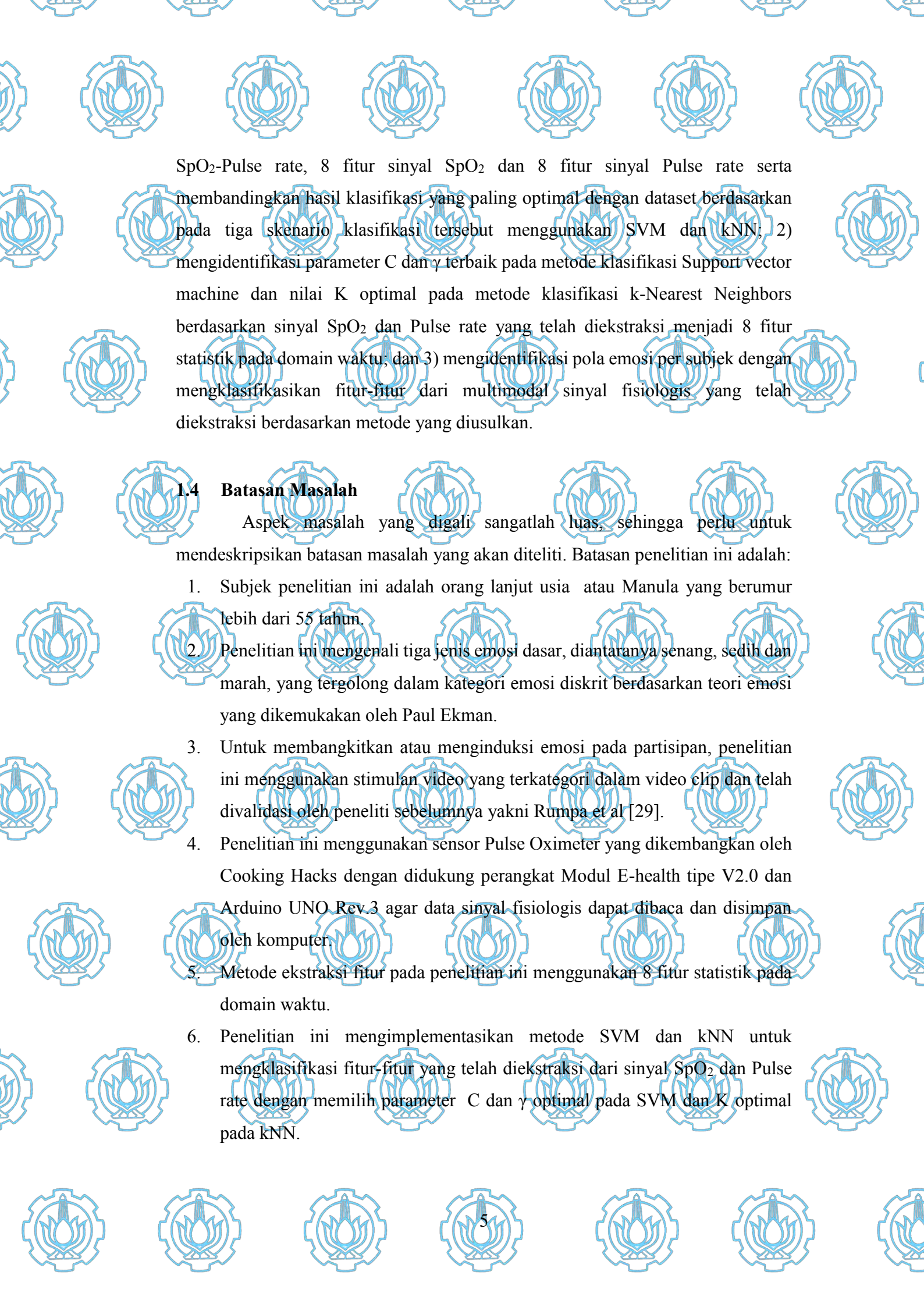
























#### 1.5 Kontribusi

Secara keilmuan dan pengembangan teknologi mutakhir, kontribusi penelitian ini adalah:

- Menambah khasanah keilmuan dan literatur berkaitan dengan pemanfaatan sinyal SpO₂ dan Pulse rate dalam bidang affective computing, khususnya dalam pengenalan emosi dengan subjek Manula.
- Didapatkannya landasan dasar dan pola sinyal SpO₂ dan Pulse rate dalam menggambarkan kondisi emosi Manula sehingga informasi ini dapat digunakan sebagai dasar dalam pengembangan aplikasi e-Health monitoring system yang digunakan oleh tenaga medis dalam memonitor kondisi fisiologi emosi, terutama pada pasien yang mempunyai riwayat penyakit kronis.



#### Metodologi Penelitian

Secara umum, metodologi penelitian pada tesis ini terbagi menjadi 4 tahapan utama seperti yang diilustrasikan pada gambar 1.1 untuk dapat menyelesaikan tujuan yang akan dicapai. Adapaun tahapan-tahapan atau metodologi yang dilakukan dalam penelitian ini dapat dijelaskan sebagai berikut:

### Tahapan I:

Pada tahap awal yang terdiri dari proses pengkajian atau studi literatur, eksplorasi hardware dan penentuan atau pemilihan responden penelitian. Tahapan ini merupakan persiapan sebelum melakukan penelitian.

### Tahapan II:

Pada tahapan kedua yakni pengambilan data yang terdiri dari dua proses utama yakni pengambilan data dengan partisipan orang manula dan proses filterisasi data raw. Proses filterisasi ini dilakukan dengan mencocokkan data raw dengan hasil pengisian kuisioner.

#### Tahapan III:

Pada tahapan ketiga ini merupakan tahap pengolahan data yang terdiri dari proses ekstraksi fitur, pelabelan dataset dan klasifikasi. Proses pengolahan data diawal dengan implementasi metode segmentasi window size atau lenght dari kedua sinyal fisiologi dan ekstraksi fitur menggunakan metode fitur statistik pada domain waktu. Setelah mendapatkan dataset yang telah diekstraksi fitur, selanjutnya adalah



















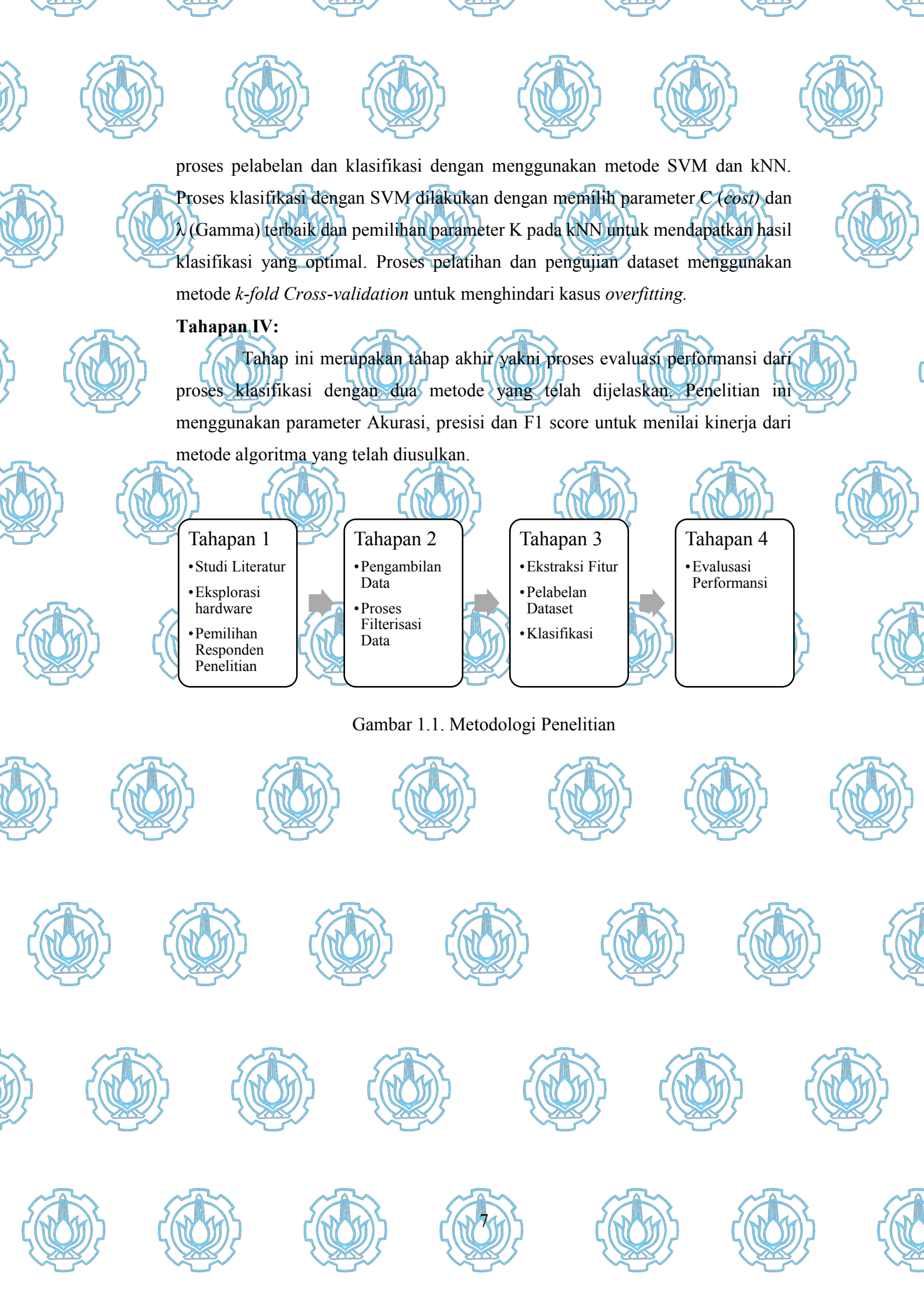


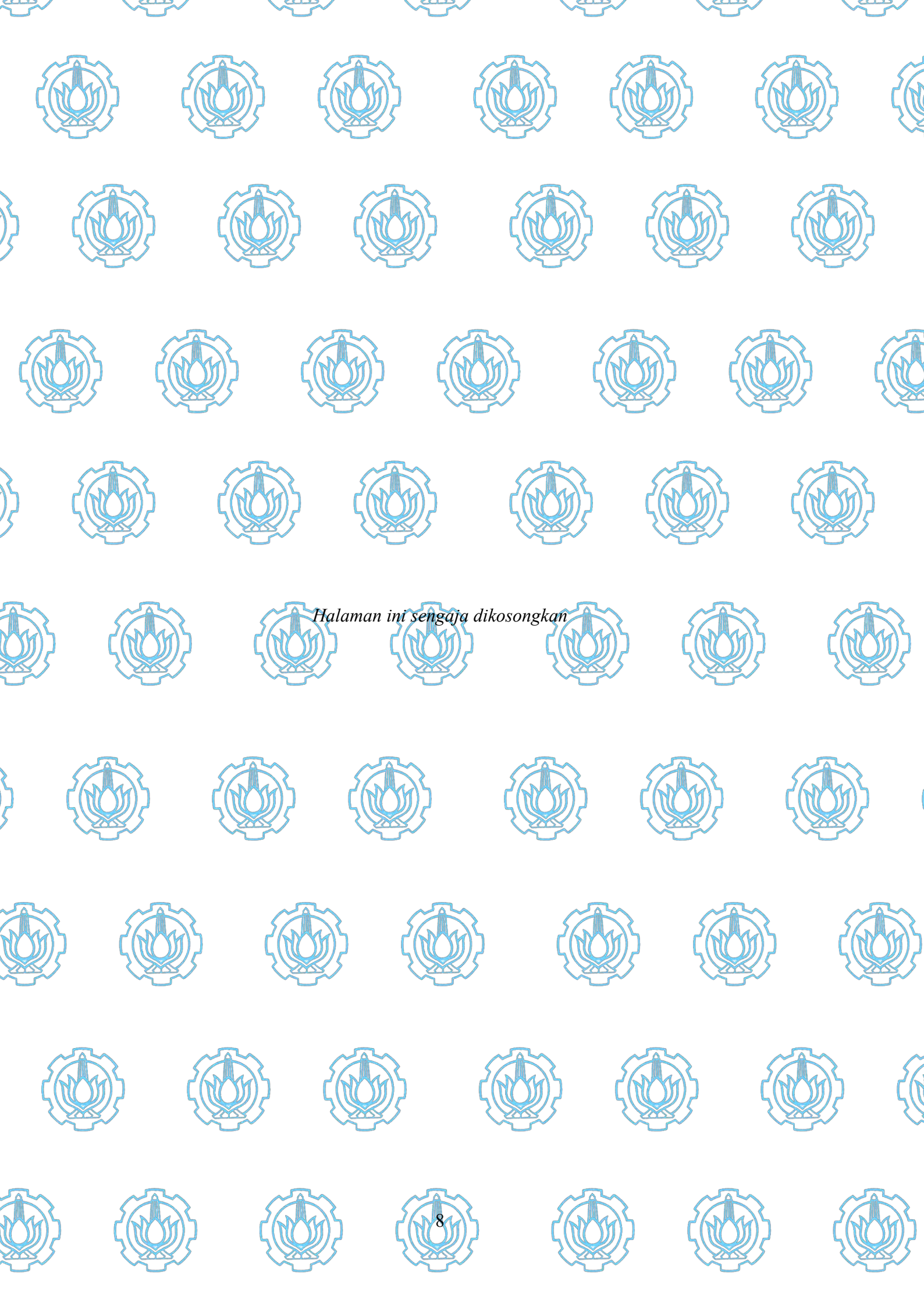


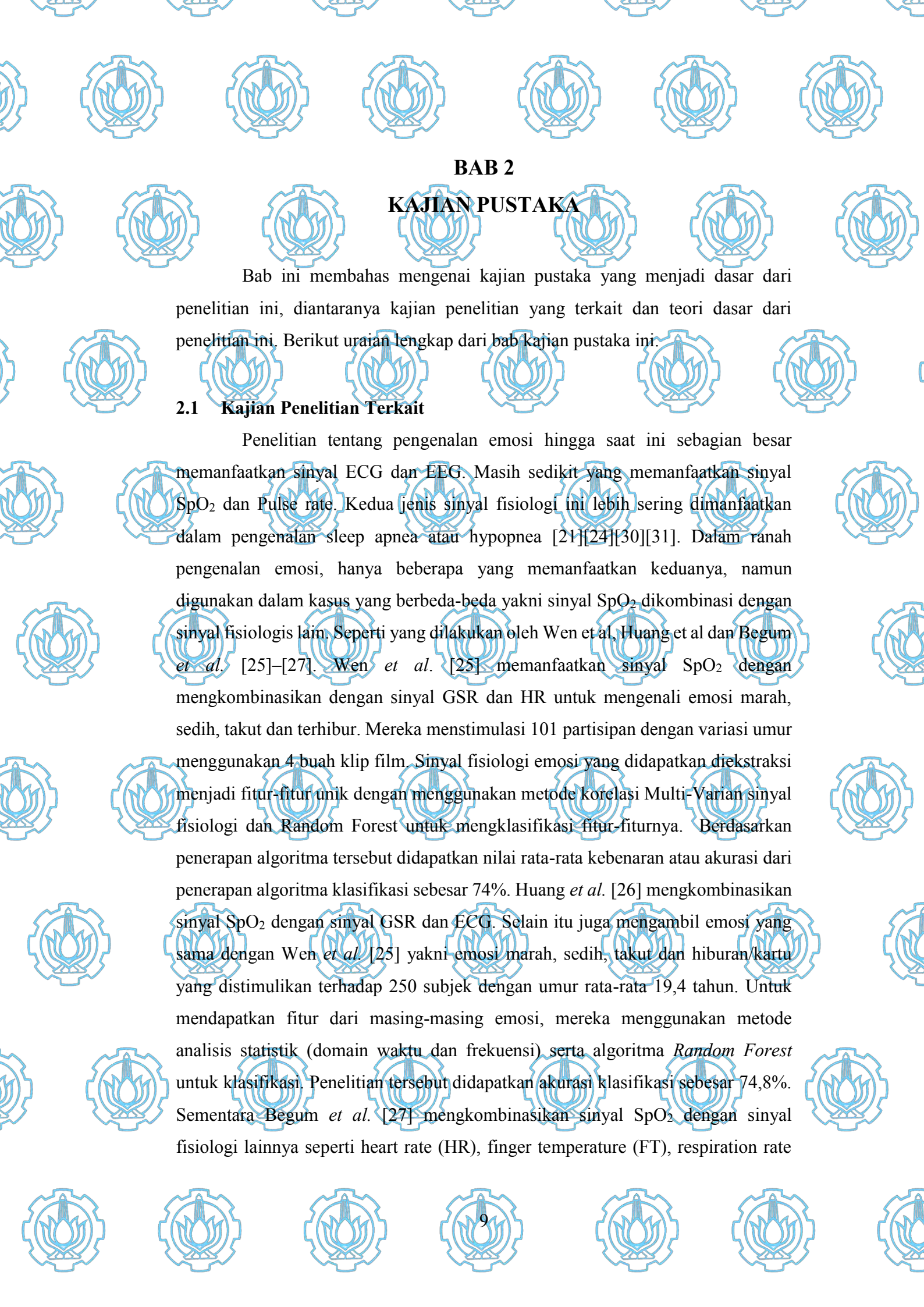


















didapatkan sebesar 68,52% dengan percentage split 70%.







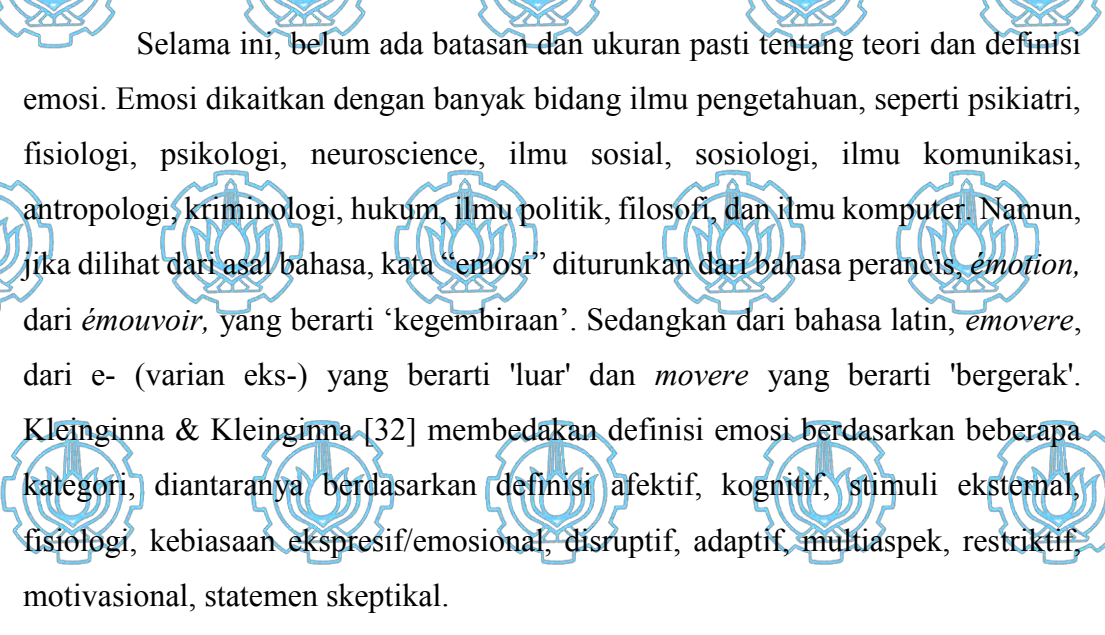
(RR), carbone dioxide (CO₂) untuk mengenali dua emosi yakni kondisi stress dan relax. Metode Multivariate multiseale entropy (MMSE) digunakan untuk fitur ekstraksi dari sinyal fisiologi emosi yang didapatkan Selanjutnya metode Casebased Reasoning (CBR) digunakan untuk mengklasifikasikan fitur-fitur yang didapatkan dari ekstraksi fitur. Hasilnya didapatkan bahwa sistem yang diusulkan dapat mengenali 87,5% secara akurat kedua kondisi tersebut. Sementara, pemanfaatan sinyal Pulse rate dalam ranah pengenalan emosi dimanfaatkan oleh Marzuki *et al.* [28] saja. Mereka hanya memanfaatkan tipe sinyal fisiologi ini untuk mengenali 6 emosi dasar, diantaranya emosi senang, sedih, marah, kaget, jijik dan marah. Marzuki *et al.* [28] menggunakan metode analisis statistika untuk ekstraksi fitur sinyal dan metode Learning Vector Quantization untuk klasifikasi fitur-fitur yang telah diekstraksi. Hasilnya didapatkan bahwa nilai akurasi tertinggi







#### 2.2.1 Emosi Manusia













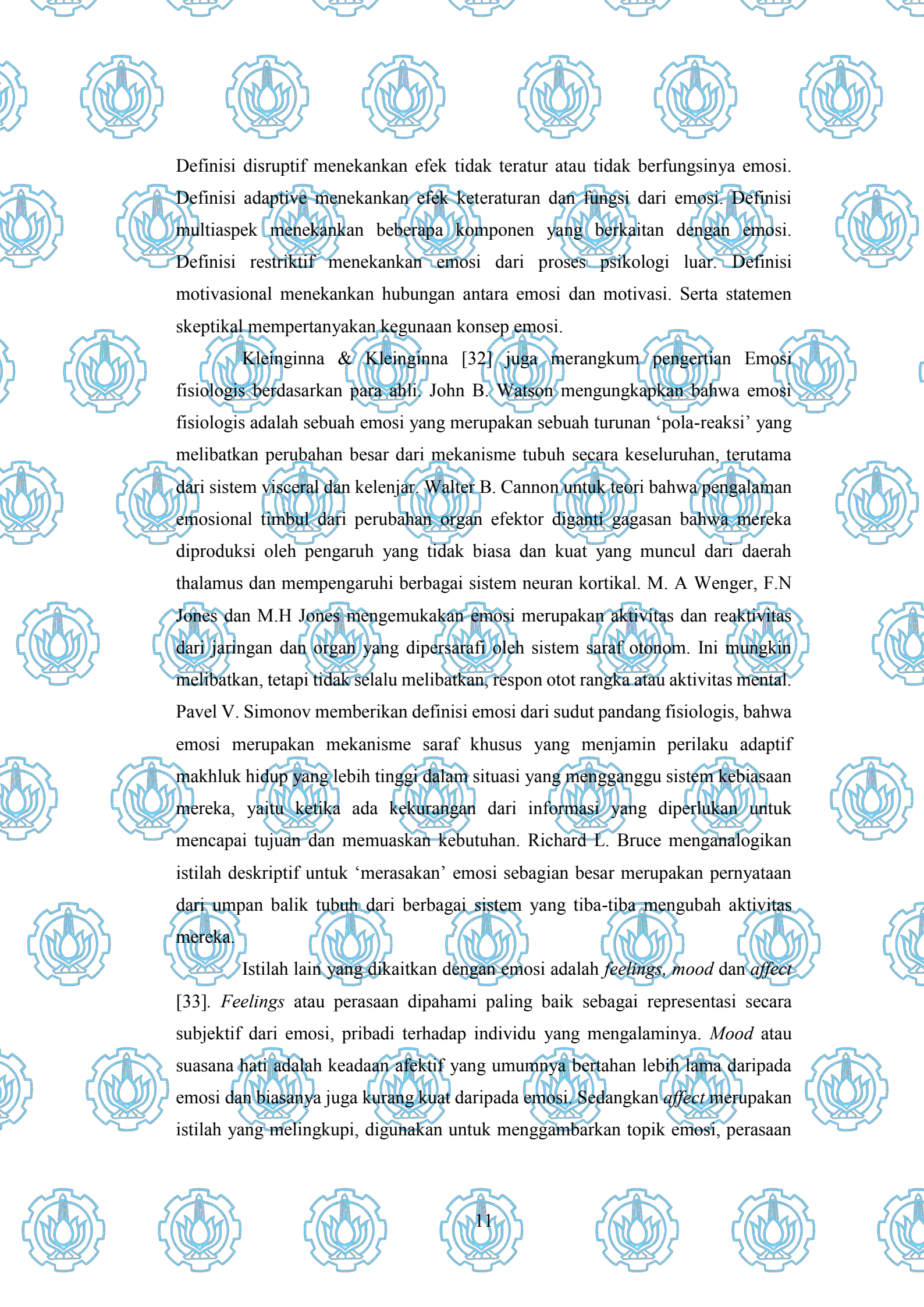


















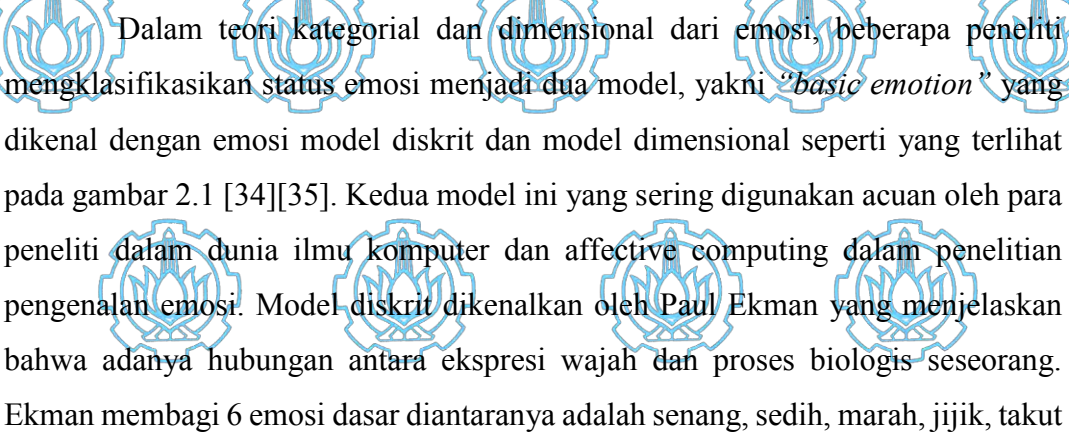






dan suasana hati secara bersama-sama, meskipun biasanya digunakan secara bergantian dengan emosi.

Beberapa peneliti bidang psikologi mengkategorikan emosi dalam beberapa dimensi. Salah satunya Pressman dan koleganya dalam tulisannya yang berjudul "Does Positive Affect Influence Health?". Mereka membagi emosi menjadi dua jenis berdasarkan durasi berlangsungnya emosi seseorang, yakni state emotion dan trait emotion [10]. State emotion atau status emosi merupakan suatu keadaan emosi seseorang yang berlangsung dalam jangka waktu pendek (shortterm emotion). Pressman et al. [10] mengatakan bahwa emosi jenis ini bisa diukur dan dimanipulasi dengan memberikan induksi atau stimulasi, namun keadaan emosi seseorang pada jenis ini berdurasi pendek bahkan selama ia diinduksi saja. Sebagai contoh misalkan seseorang menonton sinetron atau film di Jayar lebar, pada saat adegan sedih ia merasakan kesedihan atau bahkan menitikkan air mata. Jika sinetron atau film tersebut selesai, maka emosi orang tersebut akan kembali normal. Trait emotion atau sifat emosi dikaitkan dengan emosi seseorang yang berdurasi lama (long-term emotion) dan dikaitkan dengan mood. Jenis emosi ini sebenarnya terjadi karena adanya state emotion yang berlangsung secara terus-menerus dan berulang-ulang. Emosi jenis ini membuat keadaan trauma dalam waktu yang lama. Contoh kasus dari jenis emosi ini adalah: seseorang anak yang melihat ketidakharmonisan hubungan kedua orang tuanya, hingga pada akhirnya kedua orang tuanya bercerai. Keadaan ini membuat seorang anak tersebut merasakan trauma yang tersimpan sepanjang hidupnya. Selain emosi di atas, Pressman et al. [10] juga membedakan emosi dasar menjadi dua yakni emosi negatif dan positif (sedih dan senang).







































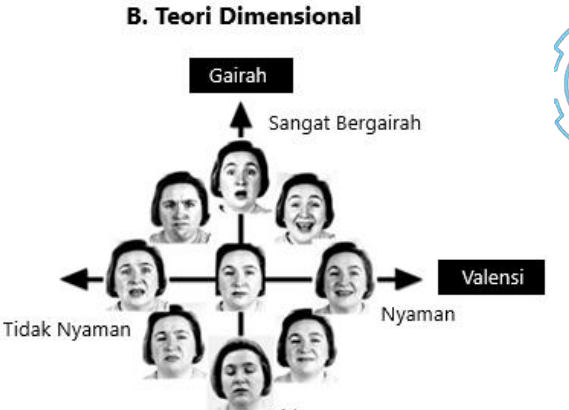


dan kaget. Sedangkan dalam model dimensional diperkenalkan oleh James A Russel dimana emosi diplot menjadi dua skala yakni skala *arousal* (gairah) dan *valence* (nilai). *Arousal* menggambarkan intensitas emosi sedangkan *valence* menggambarkan polaritas dari emosi (positif dan negatif) [35].









Gambar 2.1. Model emosi kategorial atau diskrit (A) dan dimensional (B)

Perdebatan, perkembangan definisi dan teori tentang emosi masih berlangsung hingga saat ini. Dalam dekade terakhir semakin banyak penelitian bidang affective computing, yakni mengenali emosi secara komputerisasi. Pada penelitian ini definisi emosi yang digunakan adalah status emosi manula yang terjadi dalam rentang waktu yang singkat (short-term emotion) berdasarkan pada stimuli yang diterima oleh partisipan. Penelitian ini menggunakan tiga emosi dasar atau state emotion dari enam emosi dasar yang dikemukakan oleh Paul Ekman sebagai objek kelas klasifikasi, yakni emosi senang, sedih dan marah. Alasan utama menggunakan tiga jenis emosi ini adalah ketiganya sering dirasakan oleh setiap orang dalam kehidupan sehari-hari, terutama pada manula.



### 2.2.2 Hubungan Emosi, Aktivitas Fisiologis dan Kesehatan

Definisi emosi yang dipaparkan oleh Kleinginna yang dikelompokkan menjadi beberapa jenis, salah satu diantaranya adalah definisi secara fisiologis [32]. Dari definisi tersebut dapat disimpulkan bahwa emosi fisiologis menekankan perubahan besar mekanisme syaraf khusus yang menjamin kegiatan adaptif dan



















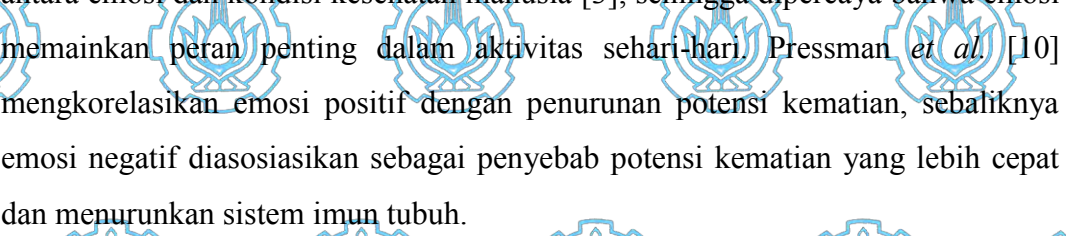


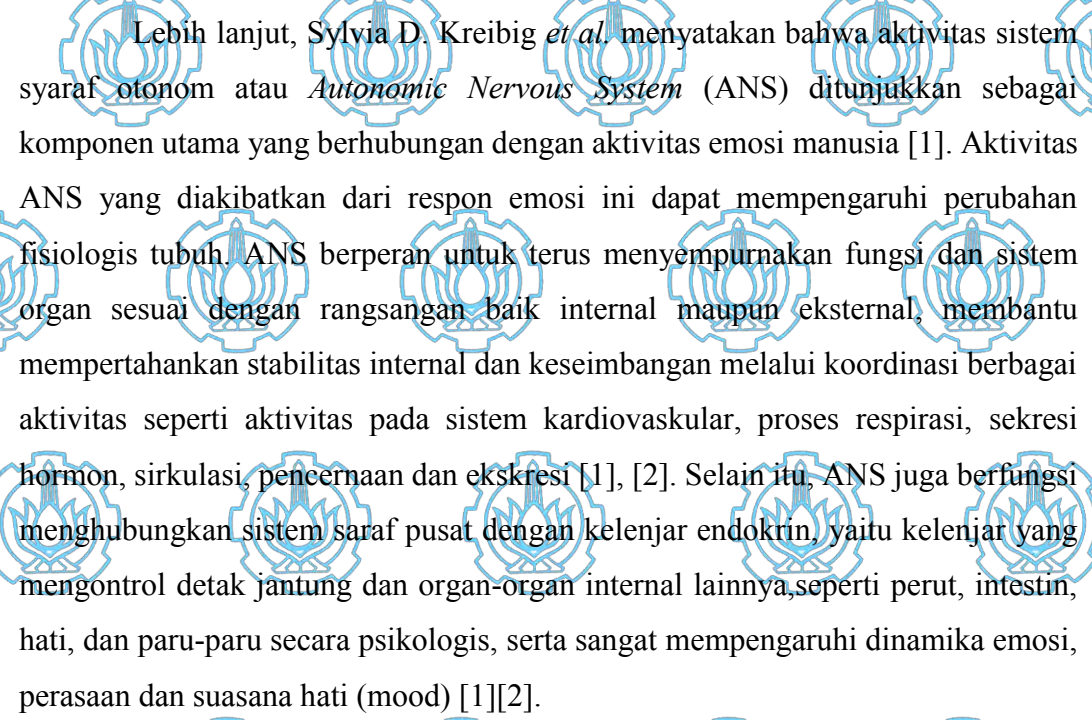






mengubah kebiasaan manusia. Uskul et al. mengatakan adanya hubungan yang erat antara emosi dan kondisi kesebatan manusia [3], sehingga dipercaya bahwa emosi dan menurunkan sistem imun tubuh.





Sherwood et al. dalam bukunya yang berjudul Human Physiology, From Cells to Systems dan Guyton et al dalam bukunya Medical Physiology menyatakan bahwa ANS terdiri dari sistem syaraf simpatik dan parasimpatik (Sympathetic and parasympathetic nervous system) [2], [36]. Sistem syaraf simpatik yang jika dirangsang akan berakibat pupil mengalami dilatasi (membesar), aliran ludah terhambat, kinerja detak jantung meningkat, bronkus mengerut, proses peristaltis dan sekresi terhambat, perubahan glikogen ke glukosa terstimulasi, sekresi adrenalin dan nonadrenalin dan kontraksi kandung kemih menjadi terhambat. Sebaliknya jika sistem syaraf parasimpatik dirangsang, maka pupil akan terjadi constrict (mengecil), aliran ludah terstimulasi, kinerja detak jantung menjadi lambat, bronkus membesar, proses peristaltis dan sekresi terstimulasi, terjadi proses stimulasi pelepasan bilus dan kandung kemih mengerut [2] [36]. Sehingga sistem syaraf simpatik ini akan melakukan respon jika mendapat rangsangan emosi negatif

















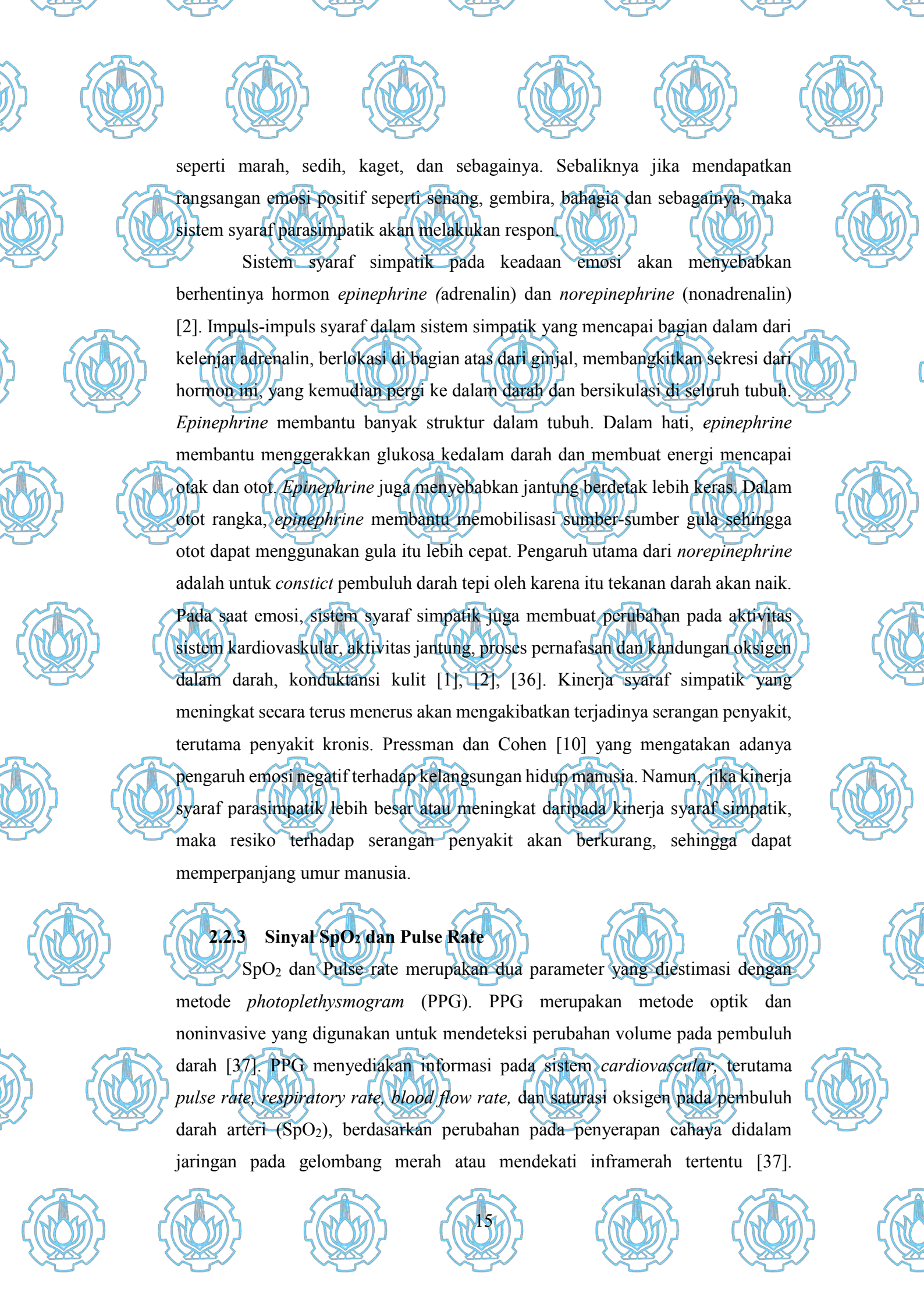


















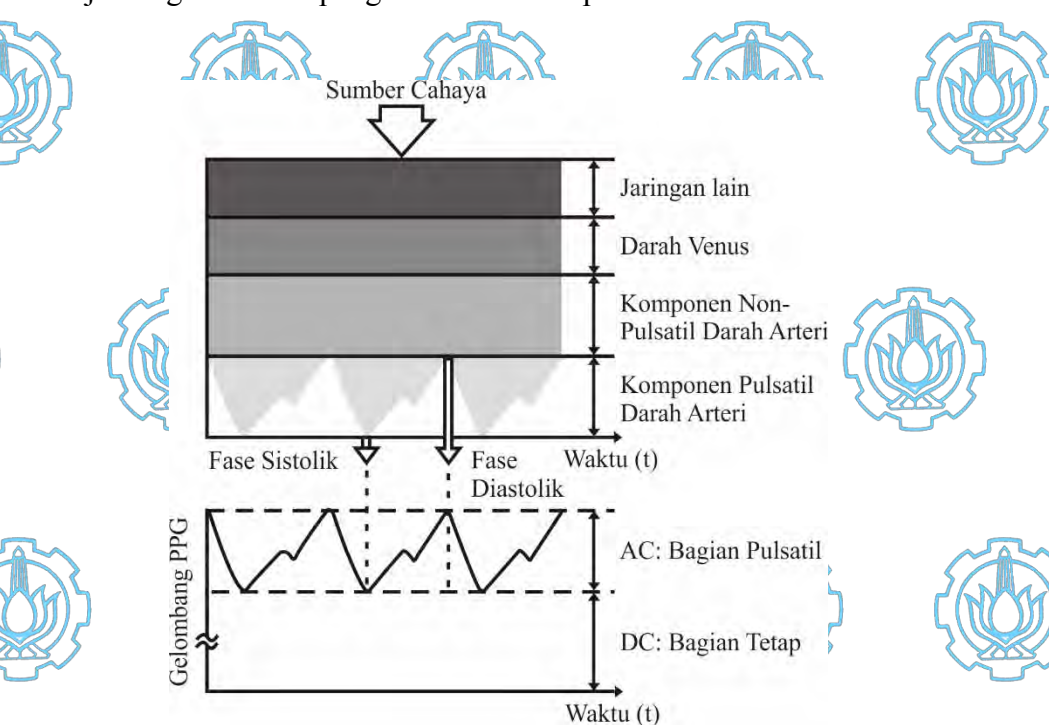






Perjalanan cahaya melalui jaringan biologis dapat diserap oleh zat yang berbeda, termasuk pigmen di kulit, tulang dan darah arteri dan yena. Sebagian besar perubahan tekanan darah umumnya terjadi di dalam arteri dan arteriol [37]. Gambar 2.2 menunjukkan sebuah contoh gelombang photoplethysmogram, yang terdiri dari komponen arus searah (DC) dan arus bolak-balik (AC). Komponen DC dari gelombang PPG berkoresponden terhadap deteksi yang ditransmisikan atau refleksi sinyal optik dari jaringan, bergantung pada struktur jaringan dan rata-rata volume darah baik dari darah arteri dan venus. Komponen DC ini berubah secara lambat Sementara, komponen sejalan dengan proses pernafasan manusia. menunjukkan perubahan volume darah, yang terjadi antara aktivitas fase systolic (kontraksi *rhythmic*) dan *diastolic* (relaksasi) dari ventrikel kiri jantung manusia [37], [38]. Masing-masing aktivitas systolic dan diastolic ini dikenal sebagai satu siklus jantung. Frekuensi fundamental dari komponen AC bergantung pada aktivitas jantung dan ditumpangkan di atas komponen DC.





Gambar 2.2. Variasi atenuasi ringan menurut jaringan

SpO₂ atau level saturasi oksigen adalah rasio seberapa banyak persentase oksigen yang diikat oleh hemoglobin [HBO₂] dalam darah arteri yang merupakan





























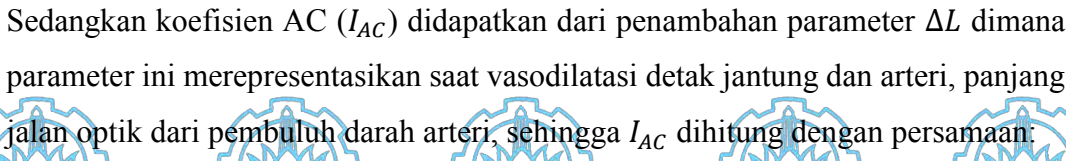
transmitansi dari sinyal PPG. Level SpO₂ seseorang yang didapatkan dari cahaya yang ditransmisikan oleh sensor melalui jaringan dan pembuluh darah yang dibagi menjadi komponen DC (seperti kulit, otot, tulang, dan sebagainya) dan komponen AC (seperti darah arteri) [38]. Dua komponen ini berprinsip pada Hukum Beer-Lambert dimana saat nadi atau denyut jantung tenang dan gelombang  $\gamma$  memancarkan menuju jaringan, komponen DC ( $I_{DC}$ ) dihitung dengan persamaan berikut:



Keterangan:

 $\varepsilon_0, c_0$  : Komponen yang tak berdenyut dari koefisien dan konsentrasi kepunahan;

 $\varepsilon_{HbO_2}$ ,  $c_{HbO_2}$ ,  $\varepsilon_{Hb}$ ,  $c_{Hb}$ : Koefisien dan konsentrasi HbO₂ dan Hb.



$$I_{AC} = I_{DC} - I_{DC} e^{-(\varepsilon_{HbO_2}c_{HbO_2} + \varepsilon_{Hb}c_{Hb})\Delta L}$$
 (2.2)

Karena panjang jalan optik yang tidak diketahui, digunakan dua gelombang berlainan ( $\lambda_1$  dan  $\lambda_2$ ), sehingga diasumsikan :

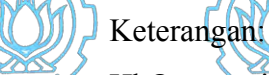
$$\frac{R_{\lambda_1}}{R_{\lambda_2}} = \frac{I_{AC}^{\lambda_1} + I_{DC}^{\lambda_1}}{I_{AC}^{\lambda_2} / I_{DC}^{\lambda_2}} = \frac{\varepsilon_{HbO_2}^{\lambda_1} c_{HbO_2} + \varepsilon_{Hb}^{\lambda_1} c_{Hb}}{\varepsilon_{HbO_2}^{\lambda_2} c_{HbO_2} + \varepsilon_{Hb}^{\lambda_1} c_{Hb}}$$
(2.3)

Berdasarkan pada definisi dasar saturasi oksigen, level SpO₂ didapatkan dengan persamaan berikut:

$$SpO_2 = \frac{c_{HbO_2}}{c_{HbO_2} + c_{Hb}} \times 100\%$$
 (2.4)

Sehingga dengan kombinasi persamaan 2.3 dan 2.4, didapatkan level SpO₂ dengan persamaan berikut:

$$SpO_{2} = \frac{\varepsilon_{Hb}^{\lambda_{1}} - \varepsilon_{Hb}^{\lambda_{2}}}{\varepsilon_{Hb}^{\lambda_{1}} - \varepsilon_{HbO_{2}}^{\lambda_{1}}} \cdot \frac{\varepsilon_{AC}^{\lambda_{1}}/\varepsilon_{DC}^{\lambda_{1}}}{\varepsilon_{AC}^{\lambda_{2}}/\varepsilon_{DC}^{\lambda_{2}}}$$
(2.5)



HbO₂: rasio konsentrasi hemoglobin yang teroksigenisasi

Hb : Hemoglobin yang terdeoksigenisasi.





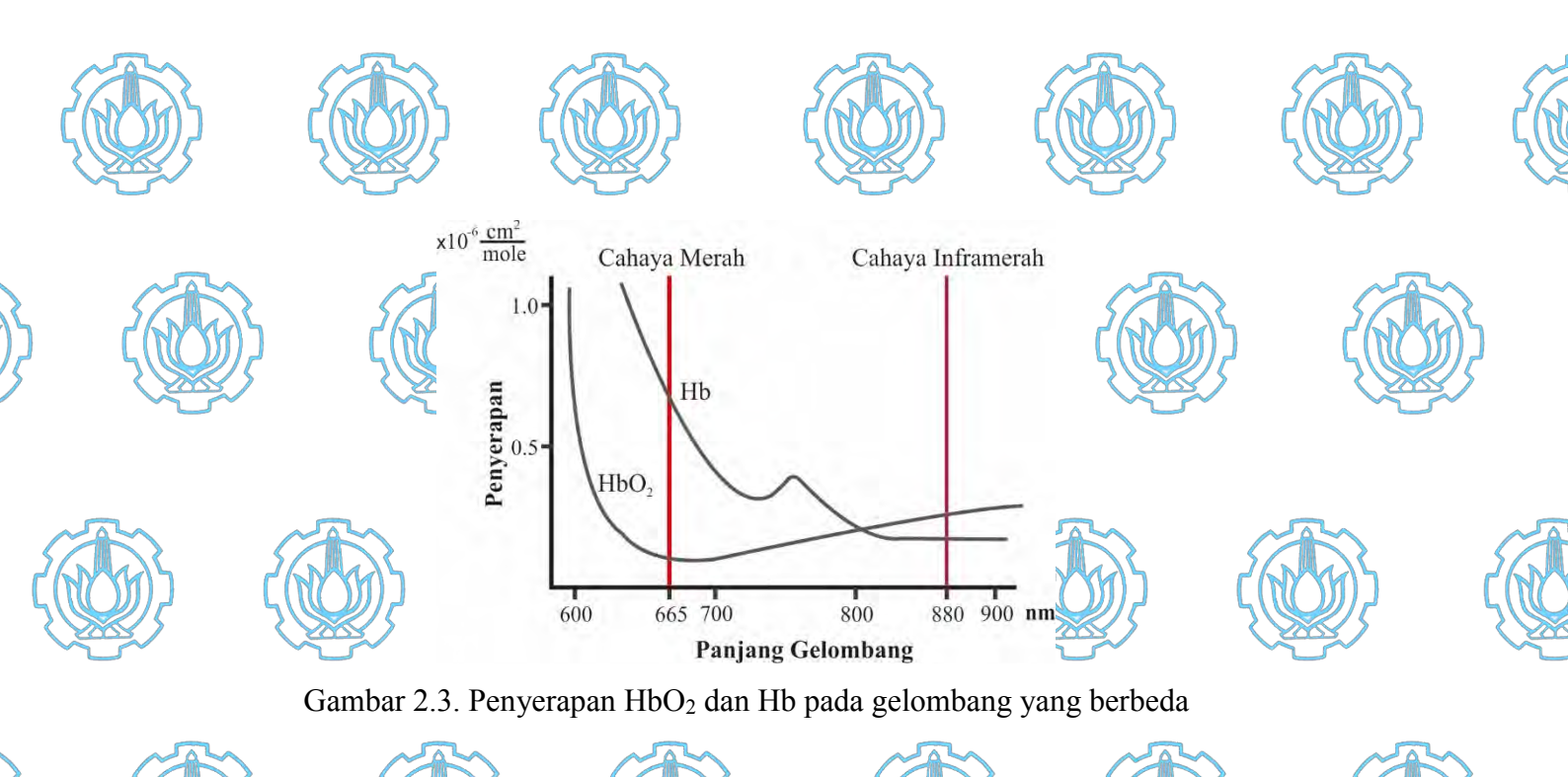












Level SpO₂ normal diantara 95-100%. Jika level SpO₂ turun dibawah 95%, maka ada kemungkinan tubuh mengalami hipoksemia. *Hypoxemia* mengacu pada kadar oksigen dalam darah yang diukur dengan konsentrasi O₂ arterial rendah dan saturasi hemoglobin rendah yang diukur dengan gas darah arteri [39]. Dalam arti lain, *hypoxemia* didefinisikan sebagai sebuah kondisi dimana tensi oksigen arteri (PaO₂) terjadi penurunan di bawah level normal ( $P_{AO_2}$  normal = 80-100 mmHG atau dalam SpO₂ = 95-100%) [40]. Level oksigen dalam darah dibawah 80% dapat membahayakan fungsi organ tubuh, seperti otak otak dan jantung. Tingkat oksigen yang rendah berlanjut dapat menyebabkan serangan pernafasan atau jantung.

Pulse rate (PR) atau denyut nadi merupakan salah satu parameter yang mengekspresikan denyut jantung (heart rate), yang menggambarkan jumlah siklus jantung yang terjadi setiap menitnya atau beats per minute (bpm) [38]. Meskipun diekspresikan dalam bpm, pulse rate tidak selalu dibutuhkan untuk menilai frekuensi denyut selama full satu menit. Sebagai contoh, satu metode untuk menilai pulse rate yang melibatkan perhitungan jumlah beat selama 15 detik kemudian mengalikan nilai ini dengan 4, atau menghitung jumlah beat selama 30 detik, kemudian mengalikan nilai tersebut dengan 2, untuk mendapatkan pengukuran pulse rate dalam beats per minute (bpm). Level normal pulse rate pada rata-rata orang dewasa diantara 60-100 bpm. Namun jika didetailkan lagi, level normal wanita dewasa diantara 72-80 bpm dan laki-laki diantara 64-72 bpm [38]. Jika level pulse rate seseorang lebih dari 100 bpm, maka dapat didiagnosa orang tersebut











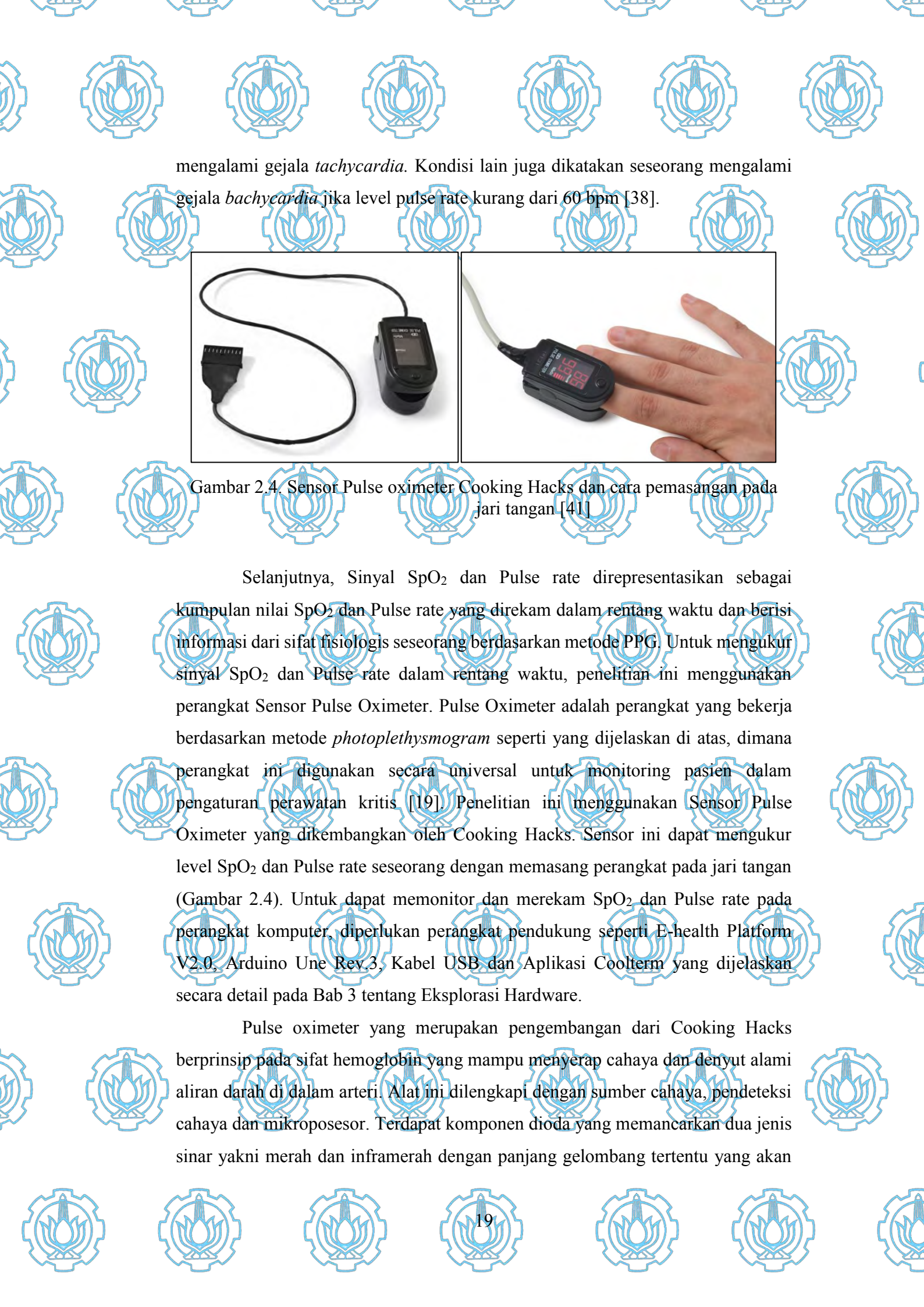
















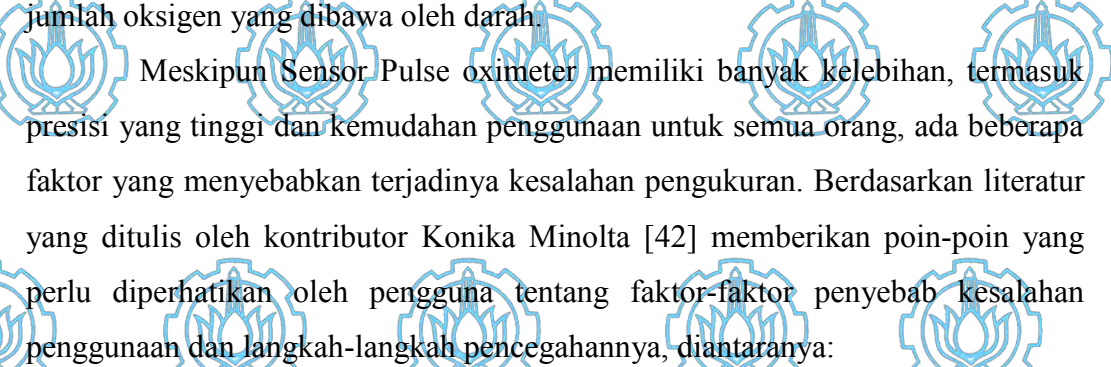








diserap oleh darah. Kedua jenis sinar tersebut disebarkan melalui jaringan tubuh menuju pendeteksi cahaya yang terdapat pada sisi lain dari alat ini. Hemoglobin yang mengandung oksigen lebih banyak akan menyerap lebih banyak cahaya infra merah, sedangkan yang tidak memiliki oksigen akan menyerap cahaya merah. Lebih lanjut, gelombang yang diserap oleh darah, selanjutnya dipantulkan kembali dalam panjang gelombang tertentu yang kemudian akan dideteksi oleh pulse oximeter dan menginterpretasikan nilai SpO2 dan Pulse rate. Selain itu, Pancaran cahaya melalui bagian tubuh yang relatif tembus dan memiliki aliran darah arteri yang berdenyut bagus, seperti jari, kaki dan daun telinga. Rasio cahaya merah terhadap cahaya inframerah yang melewati situs pengukuran dan diterima oleh detektor oximetor berdasarkan pada persentase dari oksigen terhadap hemoglobin teroksigenasi melalui cahaya yang lewat. Sementara itu, mikroposesor pada alat ini berguna untuk menghitung perbedaan kadar oksigen dan mengubah informasi tersebut ke dalam nilai digital. Nilai tersebut selanjutnya ditaksir untuk menentukan



- 1) Hemoglobin abnormal. Darah mungkin mengandung hemoglobin abnormal seperti karbonsihemoglobin dan methemoglobin yang tidak berkontribusi terhadap pengiriman oksigen. Pulse oximeter dengan panjang gelombang ganda dapat dipengaruhi oleh hemoglobin abnormal ini.
- 2) Pewarna medis. Jika pewarna seperti kardio hijau, intravaskular dan hijau indosianin telah disuntikkan ke dalam darah, dapat mempengaruhi tingkat transmisi cahaya merah dan inframerah.
- 3) *Manicure* dan *pedicure*. Jika pengguna memakai cat kuku, mungkin akan menyerap cahaya yang dipancarkan oleh LED, mengubah cahaya yang ditransmisikan melalui tubuh, dan mempengaruhi nilai yang dihitung.

































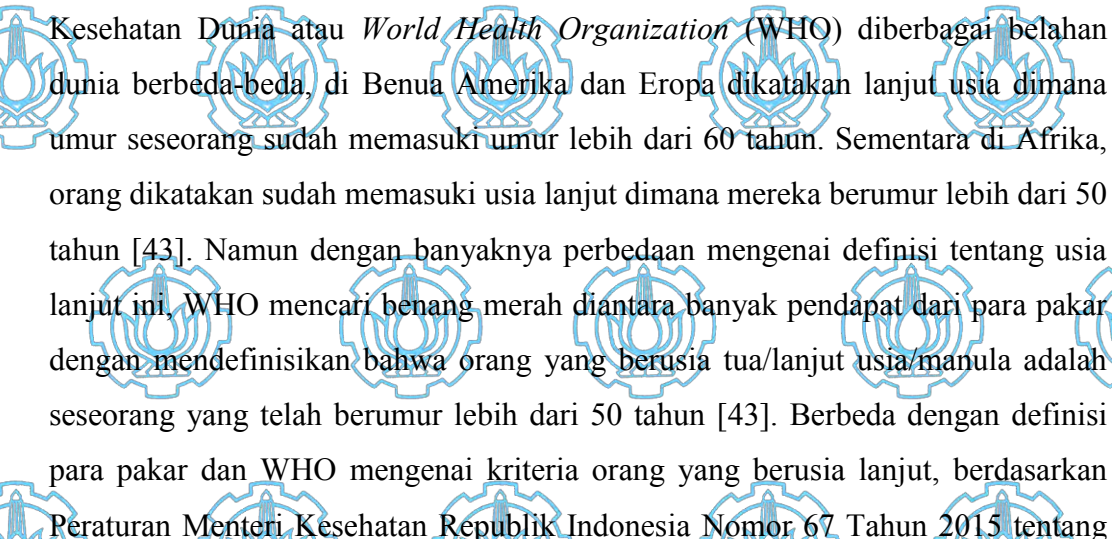




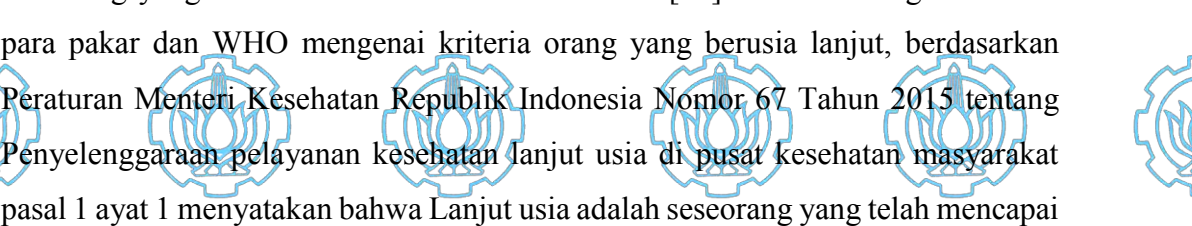
perdebatan oleh para pakar di bidang sosiologi. Definisi ini menurut Badan

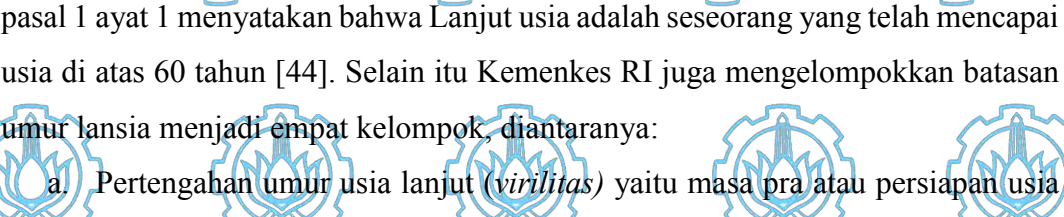




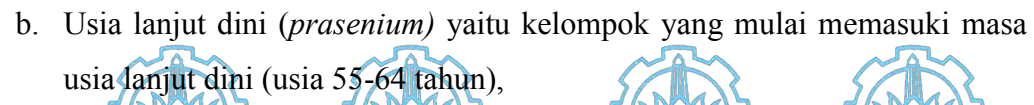












- c. Kelompok usia lanjut (senium) yaitu usia antara 65-69 tahun, dan
- d. Manula beresiko tinggi terhadap serangan berbagai penyakit degeneratif atau kardiovaskular (usia >70 tahun).

Manula merupakan kelompok umur pada manusia yang telah memasuki tahapan akhir dari fase kehidupannya. Pada fase ini, seseorang mengalami derajat penurunan kesehatan baik secara alamiah maupun akibat serangan penyakit [45], dan terjadi suatu proses yang disebut dengan *aging process* atau proses penuaan [46]. Proses penuaan adalah siklus kehidupan yang ditandai dengan tahapan-tahapan menurunnya berbagai fungsi organ tubuh. Perubahan ini ditandai dengan semakin rentannya tubuh terhadap berbagai serangan penyakit yang dapat menyebabkan kematian, seperti penyakit kardiovaskular dan pembuluh darah, pernafasan, pencernaan, endokrin dan sebagainya. Hal tersebut disebabkan seiring

































meningkatnya usia sehingga terjadi perubahan dalam struktur dan fungsi sel, jaringan serta sistem organ. Kemenkes RI menemukan 10 penyakit yang sering menyerang manula di Indonesia, namun terdapat jenis penyakit yang mendominasi, diantaranya golongan penyakit tidak menular, penyakit kronik dan degeneratif, terutama golongan penyakit kardiovaskular [45].

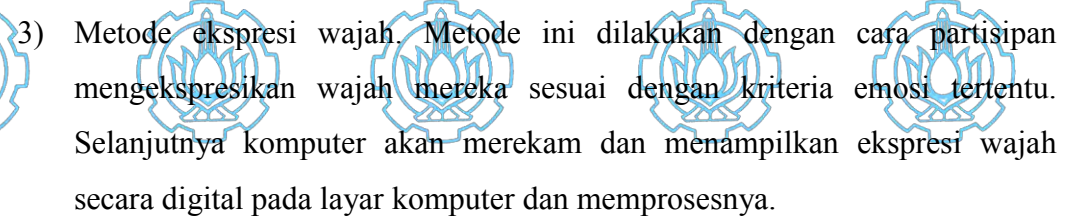


## 2.2.5 Metode Stimuli dan Assesmen Emosi

Stimulan merupakan bagian dari respon stimuli yang berupa perubahan lingkungan internal atau eksternal yang dapat diketahui. Menurut Kamus Besar Bahasa Indonesia (KBBI) diartikan sebagai perangsang organisame bagian tubuh atau reseptor lain untuk menjadi aktif. Menurut Quigley K.S et al. [47] ada beberapa metode untuk menginduksi atau membangkitkan emosi manusia, diantaranya:



- 1) Stimuli film/video clip adalah metode untuk menstimuli seseorang dengan media suara dan gambar yang bergerak/video/film.
- 2) Stimuli gambar adalah metode stimuli dengan menggunakan media gambar dengan berbagai aturan dan komposisi warna yang dapat merangsang emosil. Pada penelitian tentang induksi emosi, salah satu jenis gambar yang sering dijadikan peneliti untuk menginduksi emosi adalah gambar dari *International Affective Picture Systems (IAPS)*.





- 4) Stimuli suara dan musik adalah metode stimuli dengan memberikan induksi berupa suara atau musik yang dapat merangsang emosi.
- 5) Stimuli hipnotis adalah metode stimuli dengan media hipnotis. Metode ini sangat jarang digunakan dalam penelitian induksi emosi.
- 6) Stimuli *Virtual Reality*. Teknik stimuli ini dilakukan dengan cara memasangkan alat yang dinamakan *virtual reality*. Dengan metode ini, memungkikan seseorang seakan-akan dalam keadaan yang sebenarnya.
- 7) Stimuli *Real-world* merupakan teknik stimuli yang dilakukan dengan menggunakan hal-hal yang ada disekitar kita tanpa ada batasan dari masing-

















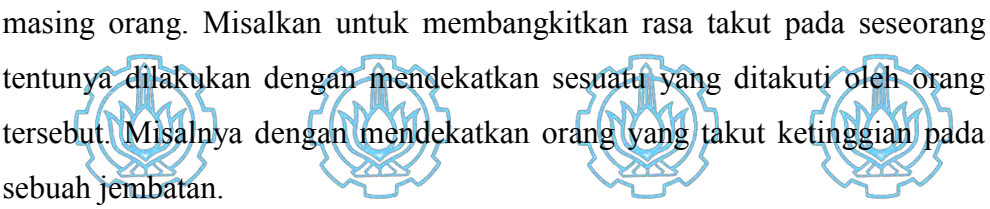


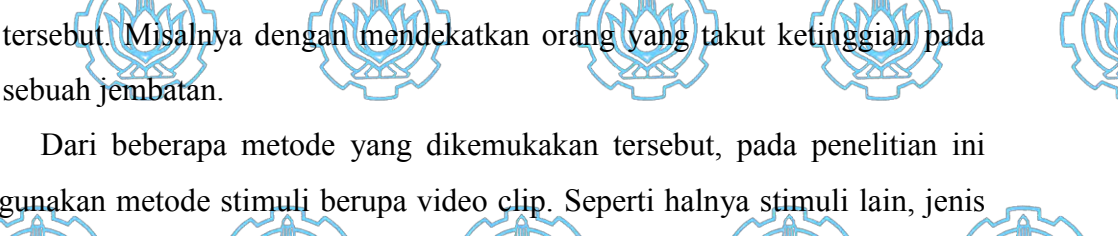




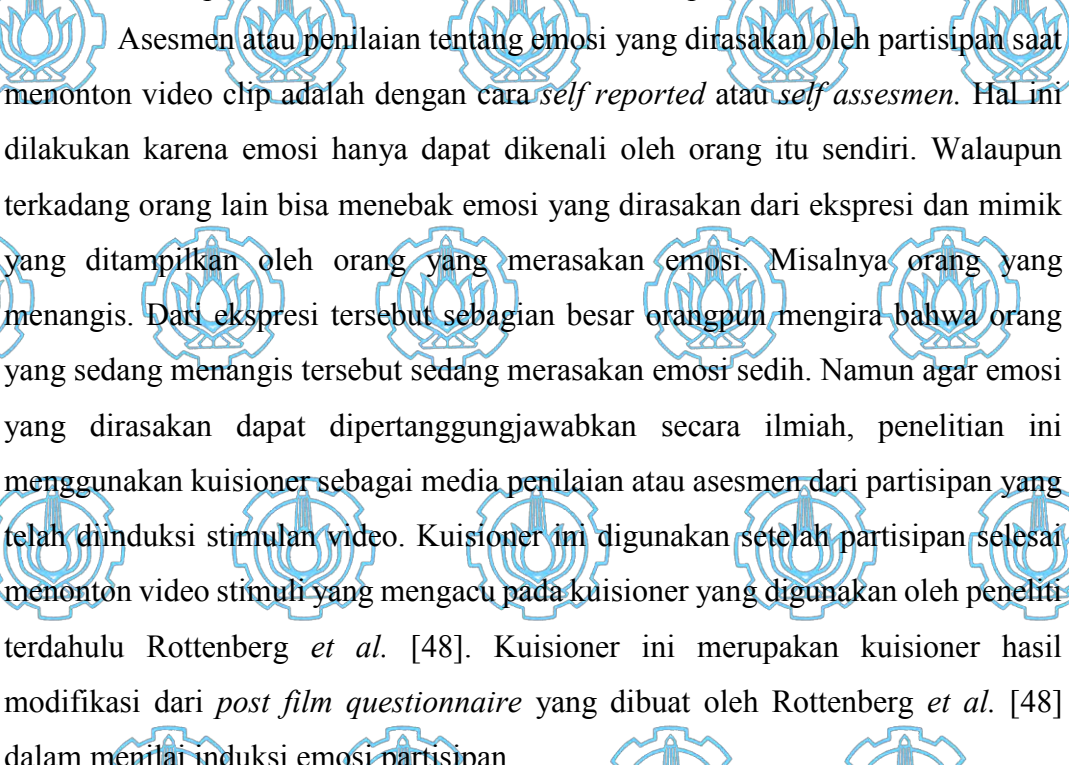








menggunakan metode stimuli berupa video clip. Seperti halnya stimuli lain, jenis metode ini dapat merepresentasikan keadaan pada dunia nyata dan sering digunakan para peneliti di bidang affective computing untuk menginduksi emosi dari partisipan [8], [14], [26], [17]. Penelitian ini menggunakan video clip yang telah divalidasi oleh Rumpa et al. [29]. Validasi tersebut melibatkan 30 orang partisipan untuk menilai kriteria video berdasarkan emosi dasar, seperti senang, marah, sedih, jijik, takut dan kaget. Pada penelitian ini menggunakan tiga jenis video terkategori senang, sedih dan marah. Pemilihan tiga jenis ini dengan alasan bahwa ketiga emosi ini sering dihadapi dan dirasakan oleh para masyarakat, terutama kelompok manula saat menonton video ataupun sinetron.























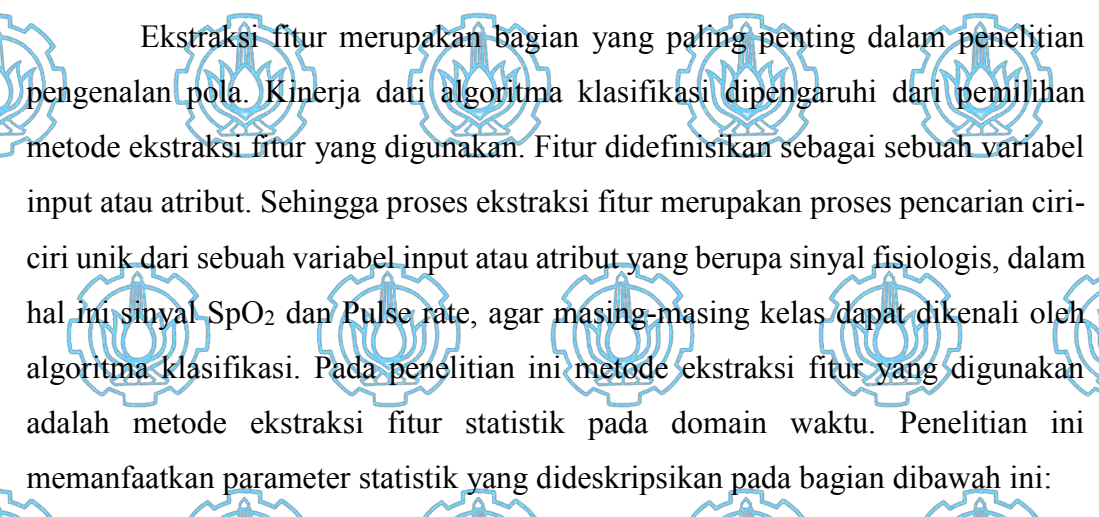


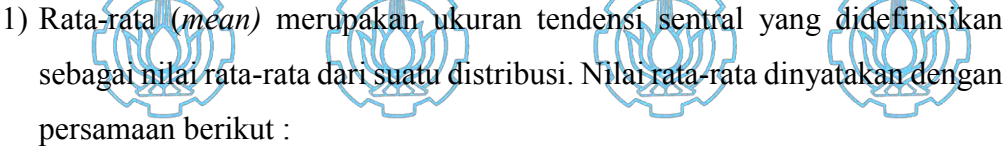






## Ekstraksi Fitur Sinyal SpO2 dan Pulse Rate





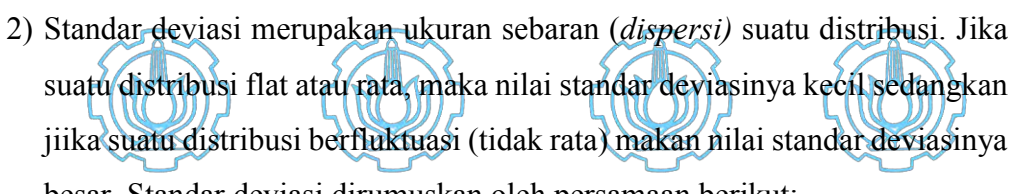


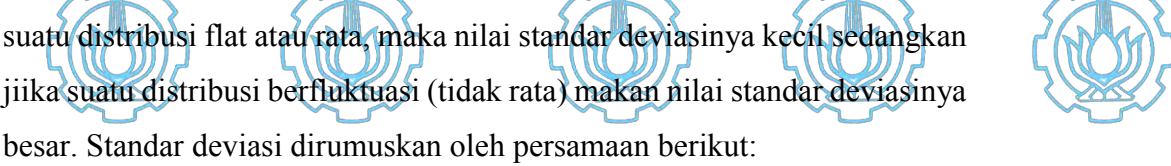


= rata-rata (mean)

Keterangan:











🗕 standar deviasi

$$\sum_{i=1}^{N} (x_i - \mu)^2$$
 = penjumlahan dari kuadrat selisih data ke-i dengan rata-rata   
N = Banyaknya data

 $X_{\sigma} = \sqrt{\sum_{i=1}^{N} (x_i - \mu) \frac{2}{N-1}}$ 



3) Nilai maksimum merupakan nilai maksimal dari level SpO₂ dan Pulse rate dalam rentang waktu. Persamaan berikut digunakan untuk mendapatkan nilai maksimum dari sinyal SpO₂ dan pulse rate.























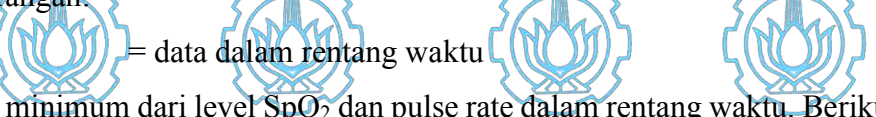




(2.8)

Keterangan:

$$x_n$$
 data dal





4) Nilai minimum dari level SpO₂ dan pulse rate dalam rentang waktu. Berikut persamaan untuk mendapatkan nilai minimum.

 $X_{maks} = \max[x_n]$ 

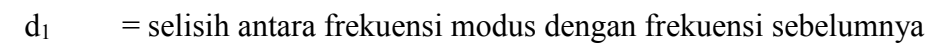
$$X_{min} = \min[x_n] \tag{2.9}$$



$$X_{mo} = T_b + \left(\frac{d_1}{d_1 - d_2}\right) c {(2.10)}$$



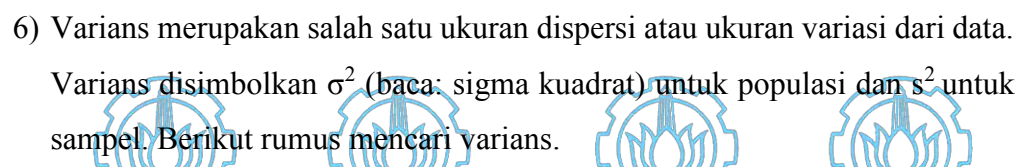
Keterangan:







$$c = kelas$$



$$X_{s^2} = \sum_{i=1}^{N} (x_i - \mu) \frac{2}{N-1}$$
 (2.11)



$$X_{rasio} = \frac{X_{max}}{X_{min}} \tag{2.12}$$



8) Mean Absolute Deviation (MAD) adalah metode yang digunakan untuk mengukur tingkat akurasi dari suatu peramalan data. Semakin kecil nilainya, maka peramalan tersebut semakin akurat. Persamaan berikut yang digunakan untuk mendapatkan nilai MAD:

$$X_{MAD} = \frac{1}{N} \sum_{i=1}^{N} |x_i - \mu| \tag{2.13}$$



Simbol X pada persamaan 1 – 8 merepresentasikan sinyal SpO₂ dan pulse rate. Sehingga semua fitur-fitur dinotasikan sebagai SpO2_μ, SpO2_σ, SpO2_{maks},





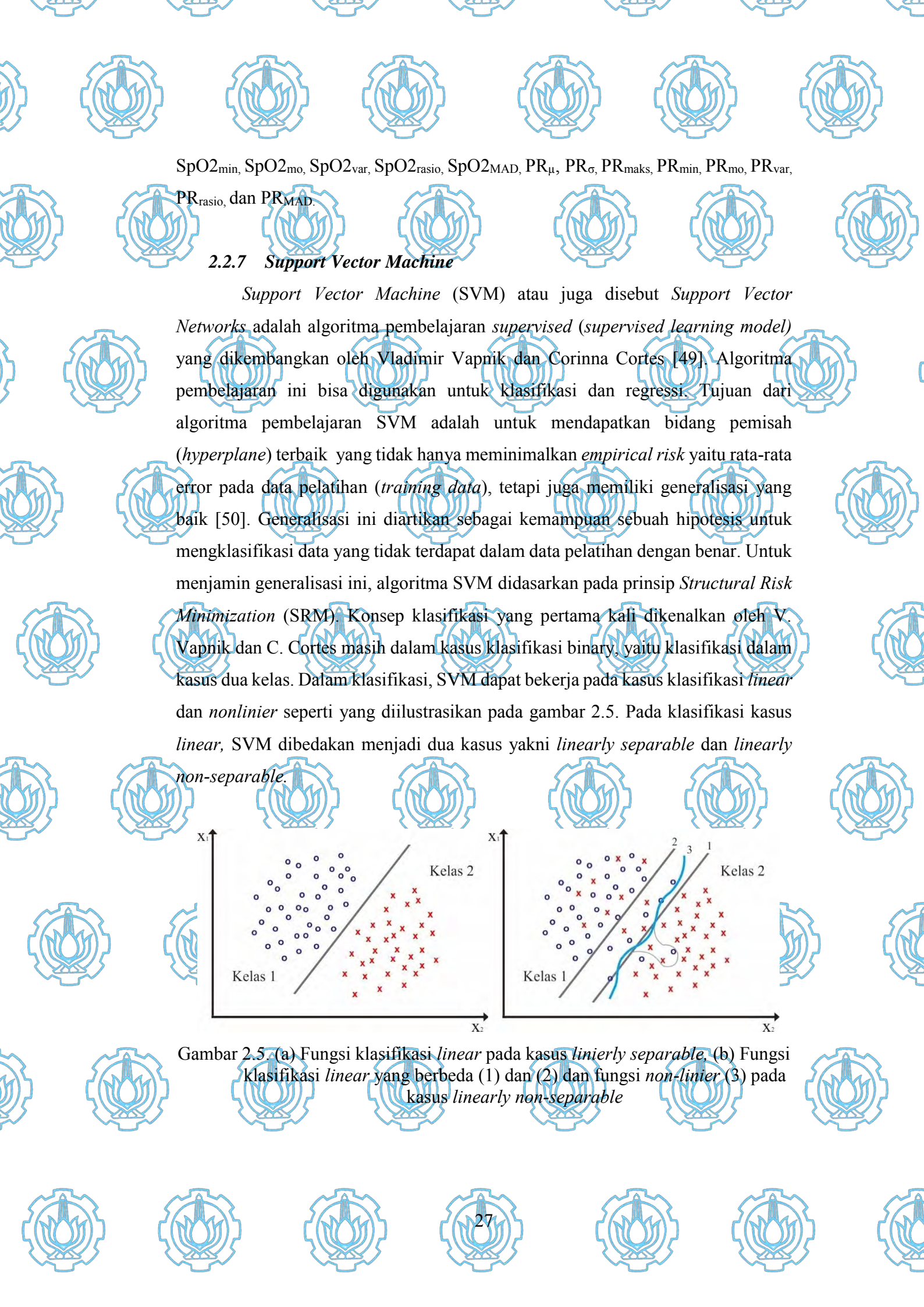


















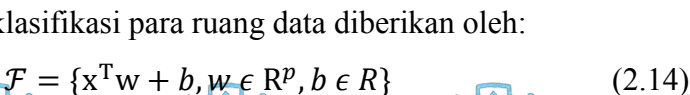






### 2.1.9.1. SVM pada Kasus Linearly Separable

Linearly separable merupakan kasus klasifikasi pada data yang dapat dipisahkan secara linier. Definisi mengenai SVM pada kasus linearly separable ini dimulai dari sebuah fungsi classifier linier f dideskripsikan dengan sebuah fungsi kelas  $\mathcal{F}$ . Keluarga  $\mathcal{F}$  fungsi klasifikasi para ruang data diberikan oleh:

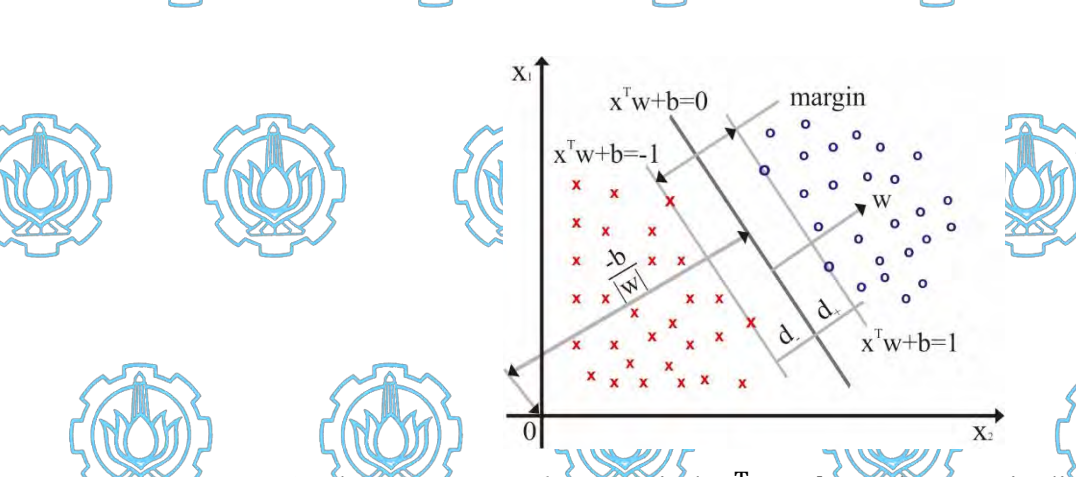


Pertama yang dilakukan adalah memilih  $f \in \mathcal{F}$  (atau ekuiyalen (w, b)) untuk menentukan *support vector* yang disebut dengan memaksimalkan margin (margin adalah koridor antara *hyperplane* pemisah). Gambar 2.6 menunjukkan proses klasifikasi dua kelas pada SVM. Dimana  $d_+ + d_-$  adalah margin. Fungsi klasifikasi adalah *hyperplane* plus zona margin, dimana fungsi ini memisahkan titik dari dua kelas dengan jarak (margin) "paling aman" tertinggi diantara kedua data klasifikasi. Dua tanda silang dan satu lingkaran yang di-bold adalah *support vector*.  $\mathbf{x}^{\mathrm{T}}\mathbf{w} + \mathbf{b} = 0$  adalah *hyperplane* pemisah. Kemudian  $d_+(d_-)$  akan menjadi jarak paling dekat dengan objek terdekat dari kelas +1 (-1). Karena pemisahan dapat diselesaikan tanpa error, semua observasi i = 1, 2, ..., n harus memenuhi:

$$\mathbf{x}^{\mathrm{T}}\mathbf{w} + b \ge +1 \text{ untuk } y_i = +1$$
  
 $\mathbf{x}^{\mathrm{T}}\mathbf{w} + b \ge -1 \text{ untuk } y_i = -1$ 

Kedua persamaan/konstrain tersebut dapat dikombinasikan menjadi satu menjadi persamaan berikut:

$$y_i(\mathbf{x}^T\mathbf{w} + b) - 1 \ge 0, i = 1, 2, ..., n$$
 (2.15)



Gambar 2.6. Hyperplane pemisah  $x^Tw + b = 0$  dan margin di dalam kasus linearly separable





































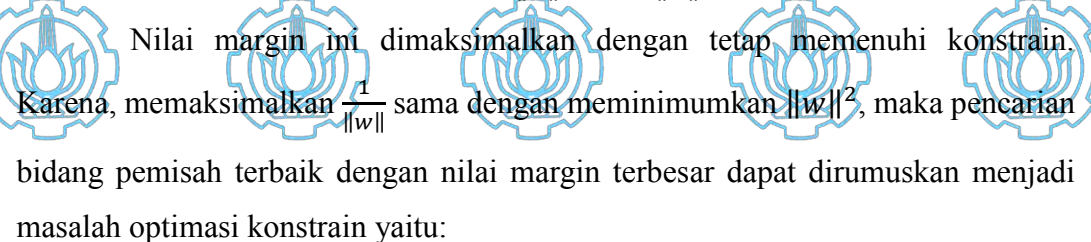
Bidang pemisah kanonik (canonical hyperplanes)  $x^Tw + b = \pm 1$  adalah sejajar dan jarak antara masing-masing konstrain dan hyperplane pemisah adalah  $d_+ = d_- = \frac{1}{\|w\|}$ , dimana w adalah vektor bobot (weight vector), b adalah posisi bidang relatif terhadap pusat koordinat atau bias yang bernilai skalar. Gambar 2.6. menunjukkan  $\frac{|b|}{\|w\|}$  adalah jarang bidang pemisah yang tegak lurus dari titik pusat koordinat dan  $\|w\|$  adalah jarak euclidean dari w. Panjang vector w adalah norm  $\|w\| = \sqrt{w'w}$ . Bidang pembatas pertama  $x_i^Tw + b = 1$  mempunyai bobot w dan jarak tegak lurus dari titik asal sebesar  $\frac{|1-b|}{\|w\|}$ , sedangkan bidang pembatas kedua



 $x_i^T w + b = -1$  mempunyai bobot w dan tegak lurus dari titik asal sebesar  $\frac{b+1}{\|w\|}$  Sehingga didapatkan nilai maksimum margin antar bidang pembatas adalah:



 $\frac{1-b-(-1-b)}{\|...\|} = \frac{2}{\|...\|} \tag{2.16}$ 





 $min\frac{1}{2}||w||^2$ 



Dengan fungsi kendala  $y_i(x_i^T w + b) \ge 1$ , i = 1, 2, ..., n



Secara umum, persoalan ini lebih mudah diselesaikan jika diubah ke dalam formula *lagrangian*. Lagrangian dari *primal problem* (L_{P)} yang berhubungan dengan maksimalisasi margin adalah:

$$L_p(w, b, \alpha) = \frac{1}{2} ||w||^2 - \sum_{i=1}^n \alpha_i [y_i(\mathbf{x}_i^T \mathbf{w} + b)] + 1$$



Karush-Kuhn-Tucker (KKT) kondisi optimal order pertama adalah:

$$\frac{\partial L_p}{\partial w} = 0 : \quad w - \sum_{i=1}^n \alpha_i y_i x_i = 0$$



$$\frac{\partial L_p}{\partial w} = 0 : \sum_{i=1}^n \alpha_i y_i = 0$$

$$y_i(\mathbf{x}_i^T \mathbf{w} + b) - 1 \ge 0.$$

$$(x_i^T w + b) - 1 \ge 0, i = 1, 2, ..., n$$





























$$\alpha_i\{y_i(\mathbf{x}_i^T\mathbf{w}+b)-1\}=0$$

Subtitusi hasil KKT (primal problem) pada persamaan 2.18, didapatkan lagrangian untuk dual problem (L_D) dengan konstrain berbeda:

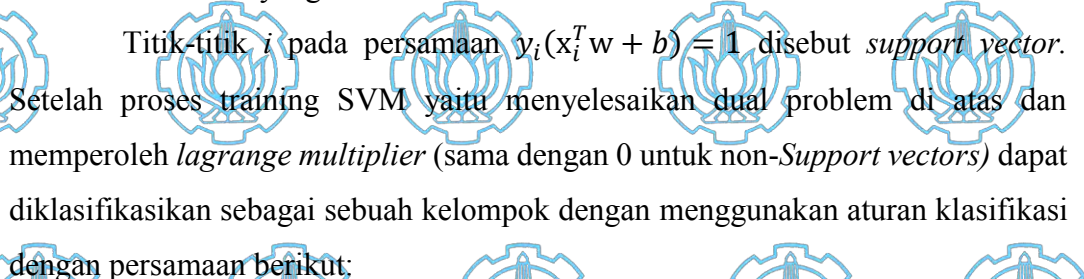
$$L_D(\alpha) = \sum_{i=1}^n \alpha_i - \frac{1}{2} \sum_{i=1}^n \sum_{j=1}^n \alpha_i \alpha_j y_i y_j x_i x_j$$
 (2.19)

Primal  $(L_P)$  dan dual  $(L_D)$  problem adalah:



$$\min_{w,b} L_P(w,b) 
\max_{\alpha} L_D(\alpha) \quad \text{s.t.} \quad \alpha_i \ge 0, \sum_{i=1}^n \alpha_i y_i = 0$$

Karena masalah optimasi adalah convex, sehingga formula dual dan primal memberikan solusi yang sama.





$$g(x) = sign(x^{T}w + b)$$



Keterangan:

 $w = \sum_{i=1}^{n} \alpha_i y_i x_i \text{ dan } b = \frac{1}{2} (x_{+1} + x_{-1}) w. x_{+1} \text{ dan } x_{-1} \text{ adalah dua } support vector$ yang termasuk ke dalam kelas yang berbeda untuk  $y(x^Tw + b) = 1$ . Nilai dari fungsi klasifikasi dapat dihitung dengan persamaan berikut.

$$f(x) = x^{\mathrm{T}} \mathbf{w} + b \tag{2.21}$$

Masing-masing skor f(x) berhubungan secara unik terhadap sebuah default probability (PD). Semakin tinggi nilai f(x) maka semakin tinggi pula PD [51].



# 2.1.9.2. SVM pada Kasus Linearly Non-separable

Linearly Non-separable adalah kasus klasifikasi SVM pada data yang tidak bisa dipisahkan secara linier (Gambar 2.7). Untuk itu formula SVM harus dimodifikasi karena tidak akan ada solusi yang ditemukan. Pada kasus ini fungsi atau persamaan pada bidang pemisah (hyperplane) terbaik dilakukan dengan penambahan variabel slack (E) yang sering juga disebut dengan soft margin hyperplane, sehingga didapatkan fungsi SVM sebagai berikut:























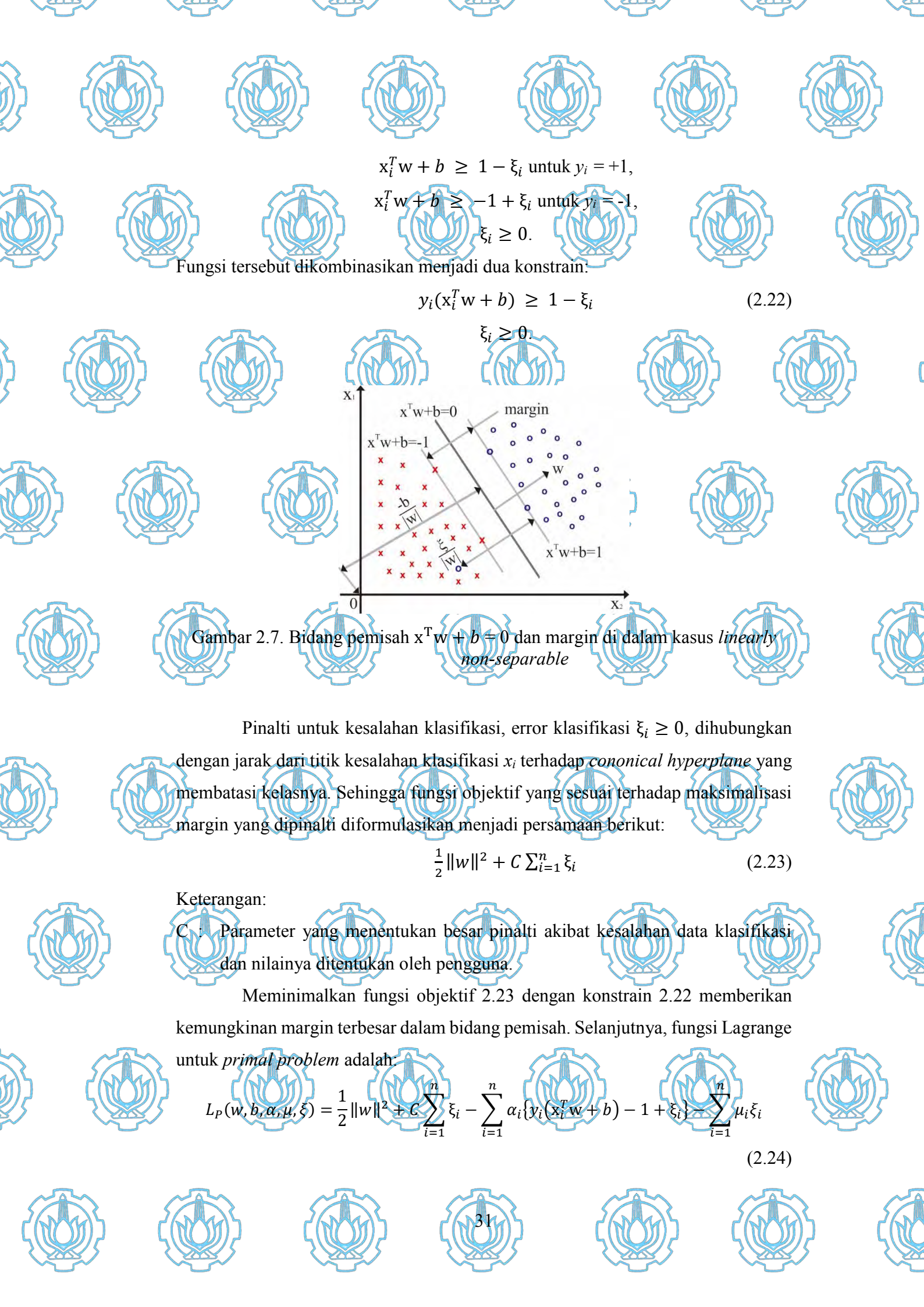


















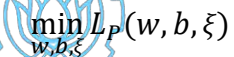






Keterangan:

 $\alpha_i \geq 0$  dan  $\mu_i \geq 0$ : pengali *lagrange. Primal problem* dirumuskan sebagai berikut:





Kondisi orde pertama pada kasus ini adalah:



$$\frac{\partial L_p}{\partial w} = 0 \qquad w - \sum_{i=1}^n \alpha_i y_i x_i = 0$$

$$\frac{\partial L_p}{\partial w} = 0 \qquad \sum_{i=1}^n \alpha_i y_i = 0$$

$$\frac{\partial L_p}{\partial \xi_i} = 0 \qquad C - \alpha_i - \mu_i = 0$$

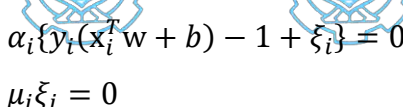




Dengan kondisi untuk pengali *lagrange;* 

$$\alpha_i \ge 0 \text{ dan } \mu_i \ge 0$$

$$\alpha_i \{ y_t(\mathbf{x}_i^T \mathbf{w} + b) - 1 + \xi_i \} = 0$$







Perhatikan bahwa  $\sum_{i=1}^{n} \alpha_i y_i b = 0$  oleh karena itu mirip dengan kasus *linearly* separble, primal problem dirumuskan menjadi:

$$L_D(\alpha) = \sum_{i=1}^n \alpha_i - \frac{1}{2} \sum_{i=1}^n \sum_{j=1}^n \alpha_i \alpha_j y_i y_j x_i^T x_j,$$



Dan *dual problem* sebagai berikut:

$$\max_{\alpha} L_D(\alpha) \quad \text{s.t.} \quad 0 \le \alpha_i \le C, \ \sum_{i=1}^n \alpha_i y_i = 0$$





### 2.1.9.3. Klasifikasi Non-linear SVM

SVM juga dapat digeneralisasi ke dalam kasus non-linier, yaitu dengan mentransformasikan data space ke dalam feature space sehingga dapat dipisahkan secara linier pada *feature space* melalui sebuah fungsi ψ: ℝ^p → H menjadi ruang dimensi yang sangat besar, H, dimana aturan klasifikasi adalah (hampir) linier. Ilustrasi dari kasus ini ditunjukkan pada gambar 2.8 berikut:



















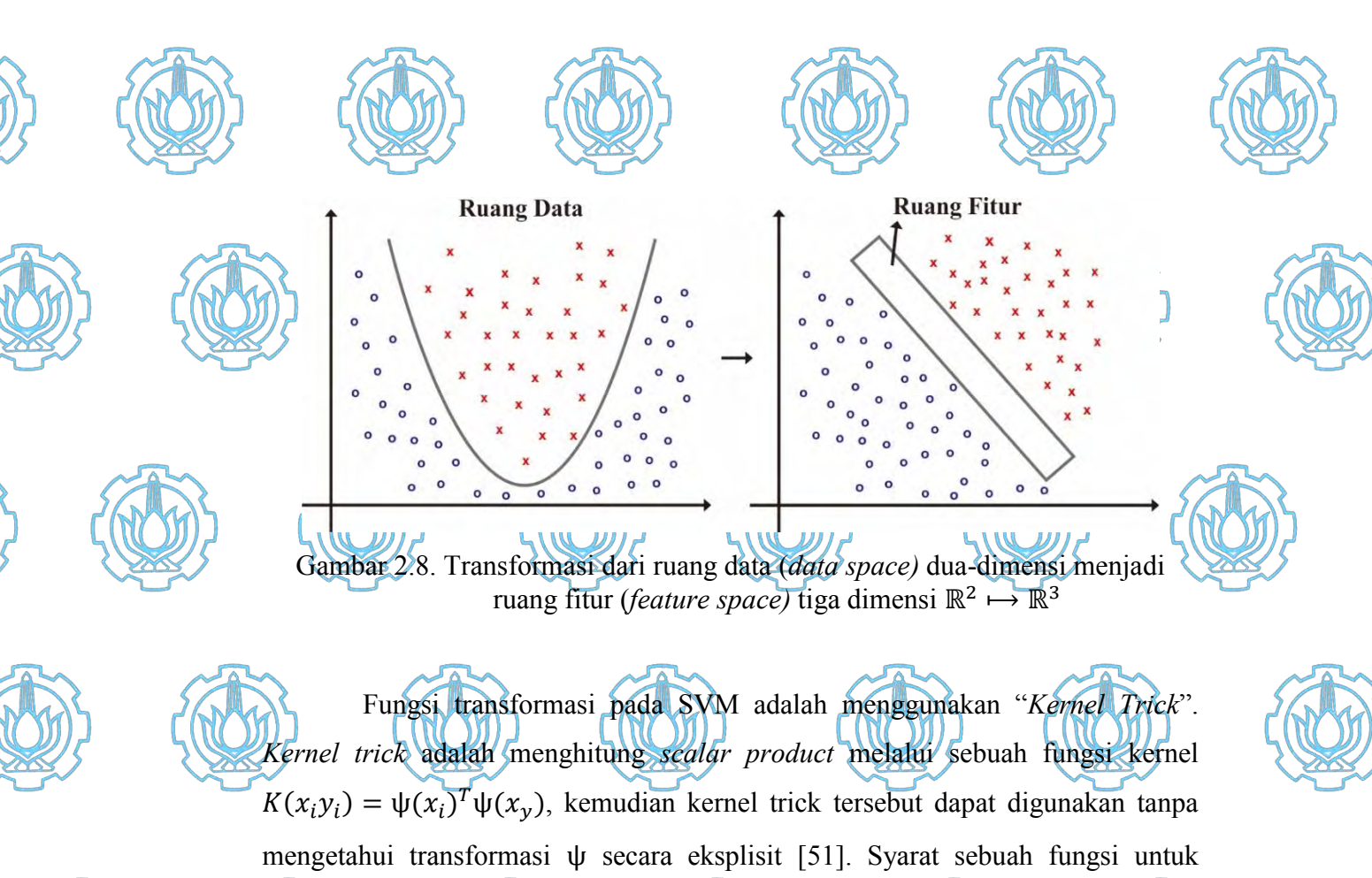












Kernel trick adalah menghitung scalar product melalui sebuah fungsi kernel  $K(x_iy_i) = \psi(x_i)^T \psi(x_y)$ , kemudian kernel trick tersebut dapat digunakan tanpa mengetahui transformasi  $\psi$  secara eksplisit [51]. Syarat sebuah fungsi untuk menjadi fungsi kernel adalah memenuhi teorema mercer yang menyatakan bahwa matriks kernel yang dihasilkan harus bersifat positive definiteness, sehingga untuk beberapa dataset  $x_1, ..., x_n$  dan beberapa bilangan real  $\lambda_1, ..., \lambda_n$ , fungsi K harus memenuhi.

$$\sum_{i=1}^{n} \sum_{j=1}^{n} \lambda_i \lambda_j K(x_i x_j) \ge 0$$
 (2.26)

Beberapa fungsi kernel yang umum digunakan, diantaranya:

• Kernel linier
$$K(x_i x_j) = x_i^T x_j$$
(2.27)

• Kernel Polinomial

$$K(x_{i}x_{j}) = (\delta x_{i}^{T}x_{j} + r)^{P}, \delta > 0$$

$$K \text{ (Ernel Radial basis Function (RBF)}$$

$$K(x_{i}x_{j}) = \exp(-\gamma ||x_{i} - x_{j}||^{2}), \gamma > 0$$

$$(2.28)$$

• Kernel sigmoid

$$K(x_i x_j) = \tanh(\delta x_i^T x_j + r)$$
 (2.30)

Fungsi kernel yang direkomendasikan untuk pertama kali dicoba menurut Hsu *et al.* [52] adalah fungsi kernel RBF karena memiliki performansi yang sama



























dengan kernel linier pada paremeter tertentu (C ,  $\lambda$ ) dan lebih *robust* terhadap *outlier* karena range fungsi kernel RBF antara  $(-\infty,\infty)$  sedangkan fungsi kernel lain memiliki rentang (-1,1) atau (0,1). Hsu et al [52] juga merekomendasikan pengujian SVM yang menggunakan kernel RBF dengan urutan percobaan parameter C dan  $\lambda$  yang bertambah secara eksponensial untuk mengidentifikasi parameter terbaik (C =  $2^{-5}$ ,  $2^{-3}$  ...,  $2^{15}$  dan  $\gamma = 2^{-15}$ ,  $2^{-13}$ , ...,  $2^3$ ) agar terhindar dari kasus *overfitting*.



## 2.1.9.4. Klasifikasi SVM pada Kasus Multiclass

SVM saat pertama kali dikenalkan oleh Vapnik hanya mengklasifikasikan data ke dalam dua kelas (klasifikasi biner) [49]. Penelitian lebih terus dilakukan untuk mengembangkan SVM sehingga dapat lanjut diimplementasikan kedalam masalah klasifikasi lebih dari dua kelas (*multi class*). Beberapa metode yang umum digunakan untuk kasus klasifikasi *multi class* SVM diantaranya: pendekatan One-against-all SVM, One-against-one SVM, DAGSVM (Directed Acrylic Graph Support Vector Machine), ECOCSVM (Error-correcting Output Code Support Vector Machine), dan All-at-once SVM. Pada penelitian ini, implementasi SVM untuk kasus tiga kelas (senang, sedih dan marah) dimana dalam hal ini terkategori kasus *multiclass*. Untuk mengatasi hal tersebut, penelitian ini memanfaatkan Library Support Vector Machine (LibSVM) yang dikembangkan oleh Chang dan Lin [53]. Library ini menyediakan algoritma untuk kasus *multiclass* dengan pendekatan One-against-one SVM. Pendekatan One-against-one SVM disebut juga pendekatan Pairwise SVM. Dimana dalam pendekatan ini, semua kombinasi pasangan kelas ditentukan oleh fungsi keputusan. Dalam menentukan fungsi ini, setiap model klasifikasi dilatih pada data dari dua kelas. Hingga, setiap proses pelatihan, jumlah data latih dikurangi dengan jumlah yang besar [54].



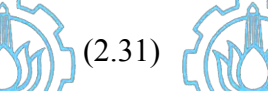




Dengan menggunakan pendekatan ini, dibangun  $\frac{n(n-1)}{2}$  buah model klasifikasi dimana n = jumlah kelas. Dimisalkan fungsi keputusan untuk data pelatihan dari kelas ke-i dan ke-j, dengan margin maksimum menjadi.



$$D_{ij}(x) = \mathbf{w}_{ij}^T \mathbf{g}(\mathbf{x}) + b_{ij}$$































Keterangan:

Vektor dimensi l,  $g(x) = sign(x^Tw + b)$  adalah sebuah fungsi mapping yang memetakan menjadi *feature space* dimensi *l*,

adalah bias term dan  $D_{ij}(x) = -D_{ij}(x)$ .

Daerah  $R_i = \{x \mid D_{ij}(x) > 0, j = 1, ..., n \text{ dan } j \neq i\}$  tidak *overlap*, dan jika

x didalam  $R_i$ , maka x diklasifikasikan kedalam kelas i. Jika x tidak didalam  $R_i$  (i1, ..., n), maka x diklasifikasikan secara voting. Yaitu, untuk vector input atau data space, dihitung dengan persamaan:

$$D_{ij}(x) = \sum_{j \neq i, j=1}^{n} \text{sign}(D_{ij}(x)),$$
 (2.32)

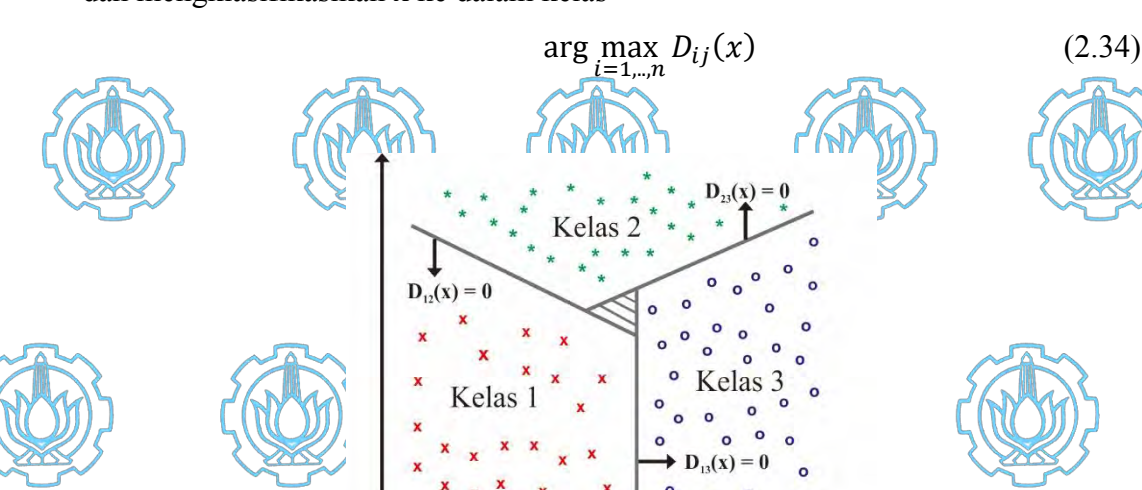
dimana,



$$\operatorname{sign}(x) = \begin{cases} 1, & x \ge 0 \\ -1, & x < 0 \end{cases}$$



dan mengklasifikasikan x ke dalam kelas



Gambar 2.9. Ilustrasi klasifikasi vektor data dalam pendekatan One-against-one atau *pairwise* SVM dimana daerah yang diarsir adalah daerah yang tidak terklasifikasi oleh formula *pairwise* 

Jika  $x \in R_i$ ,  $D_{ij}(x) = n - 1$  dan  $D_k(x) < n - 1$  untuk  $k \neq i$ . Sehingga demikian, x diklasifikasikan ke dalam i. Tetapi beberapa dari  $D_i(x) \neq n-1$ walaupun persamaan 2.34 dapat memenuhi is jamak. Didalam kasus ini, beberapa x tidak terklasifikasi seperti yang diilustrasikan daerah yang diarsir pada gambar 2.9. Dalam daerah yang diarsir berada pada persamaan  $D_i(x) = 0$ , (i = 1,2,3).























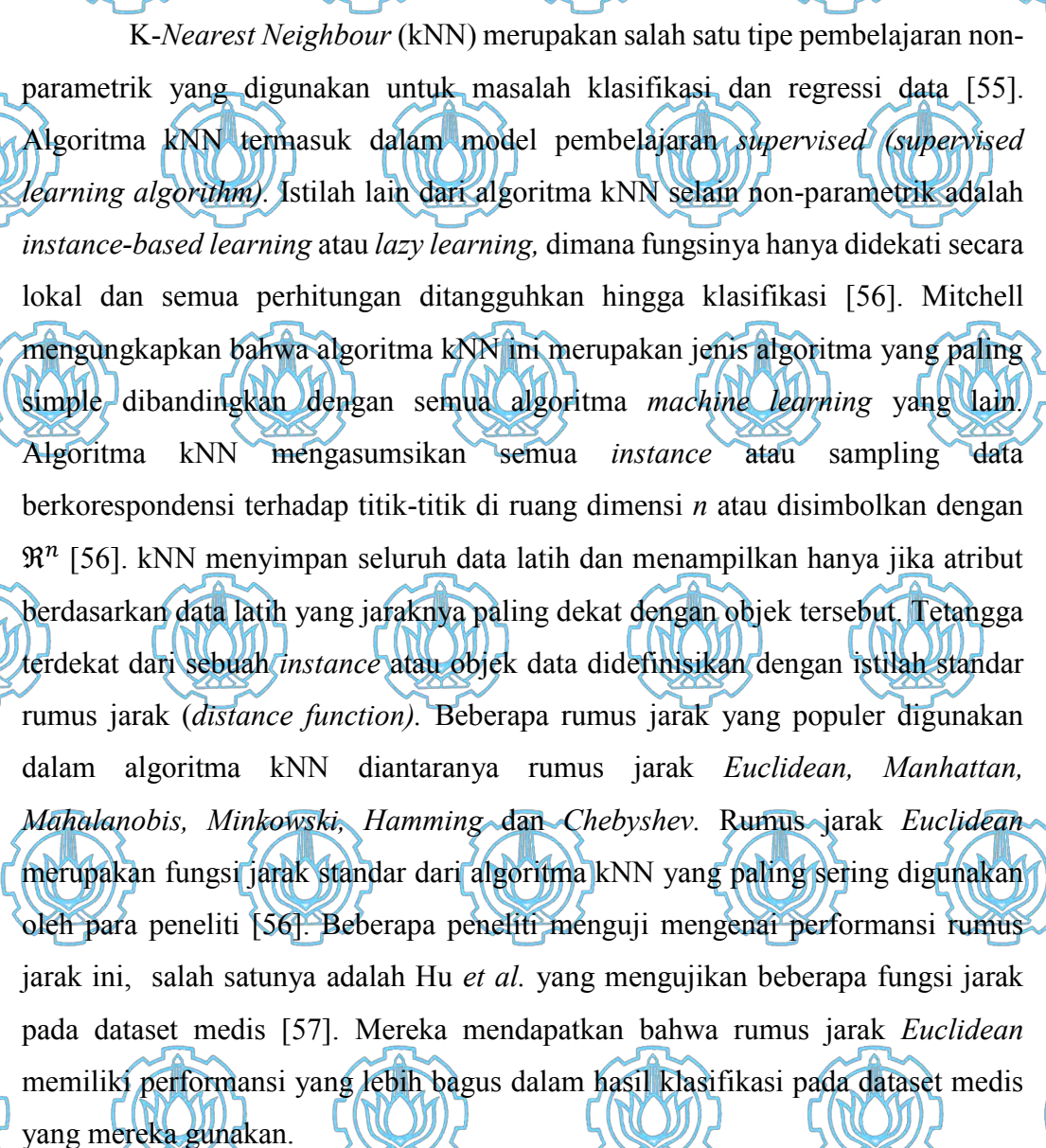




Dalam pendekatan *One-against-one* atau *pairwise* SVM ini, daerah yang tidak terklasifikasi ini jauh lebih kecil daripada pendekatan lain, terutama dibandingkan dengan perdekatan One-against-all. Hal ini juga sependapat dengan Hsu dan Lin yang memberikan perbandingan detail dari beberapa pendekatan yang biasa digunakan dan menemukan bahwa pendekatan "*One-against-one* atau *pairwise* SVM" adalah sebuah pendekatan kompetitif [52].



































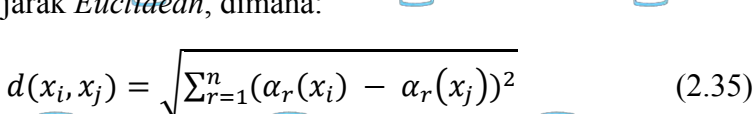


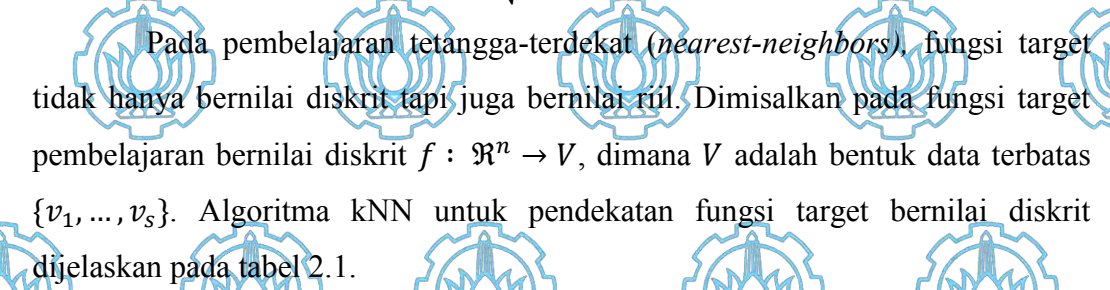






Dimisalkan sebuah *instance* data x dideskripsikan oleh vektor fitur  $(\alpha_1(x), \alpha_2(x), ..., \alpha_n(x))$ , dimana  $\alpha_r(x)$  melambangkan nilai atribut ke-r dari *instance* x. Kemudian jarak antara dua *instance*  $x_i$  dan  $x_j$  didefinisikan menjadi  $d(x_i, x_j)$  dengan rumus jarak *Euclidean*, dimana:





Algoritma pelatihan:

- Untuk masing-masing data latih (x, f(x)), tambahkan data kedalam data latih. Algoritma klasifikasi:
- Diberikan sebuah data uji  $x_q$  untuk diklasifikasi, misalkan  $x_1, ..., x_k$  melambangkan *instance k* dari data training
- Hitung dengan rumus jarak Euclidean dan tentukan jarak terdekat dengan  $x_q$
- Ulangi

$$\hat{f}(x_q) \leftarrow \underset{v \in V}{\operatorname{argmax}} \sum_{i=1}^k \delta(v, f(x_i)) \tag{2.36}$$

dimana  $\delta(a, b) = 1$  jika a = b dan  $\delta(a, b) = 0$  lainnya.

Tabel 2.1. Algoritma kNN untuk pendekatan fungsi bernilai diskrit  $f: \mathbb{R}^n \to V$ 

Seperti yang ditunjukkan pada tabel 2.1, nilai  $\hat{f}(x_q)$  yang diulang oleh algoritma kNN sebagai perkiraannya  $f(x_q)$  hanya nilai yang paling banyak ditemui dari f diantara data latih. Hitung dengan rumus jarak Euclidean dan tentukan jarak yang paling dekat dengan  $x_q$ . Jika kita pilih k=1, kemudian algoritma 1-NN menetapkan  $\hat{f}(x_q)$  ke nilai  $f(x_i)$  dimana  $x_i$  adalah data latih yang paling dekat dengan  $x_q$ . Untuk nilai k yang lebih besar, algoritma kNN menetapkan nilai yang paling banyak ditemui pada k buah tetangga terdekat dititik tersebut. Konsep lain yang menjadi perdebatan hingga kini adalah penentuan besar parameter k yang menentukan berapa banyak tetangga yang akan dipilih untuk algoritma kNN.



































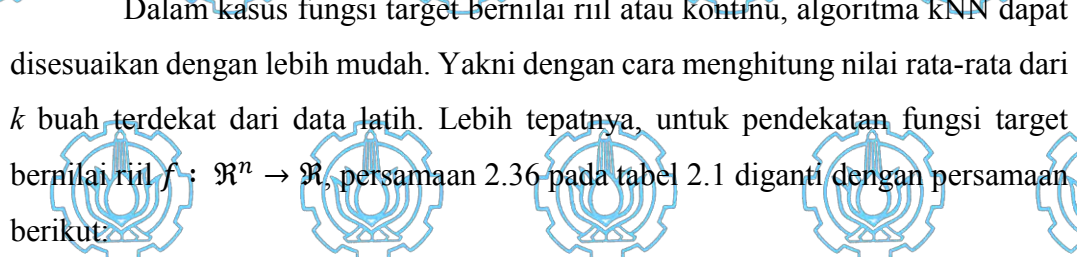






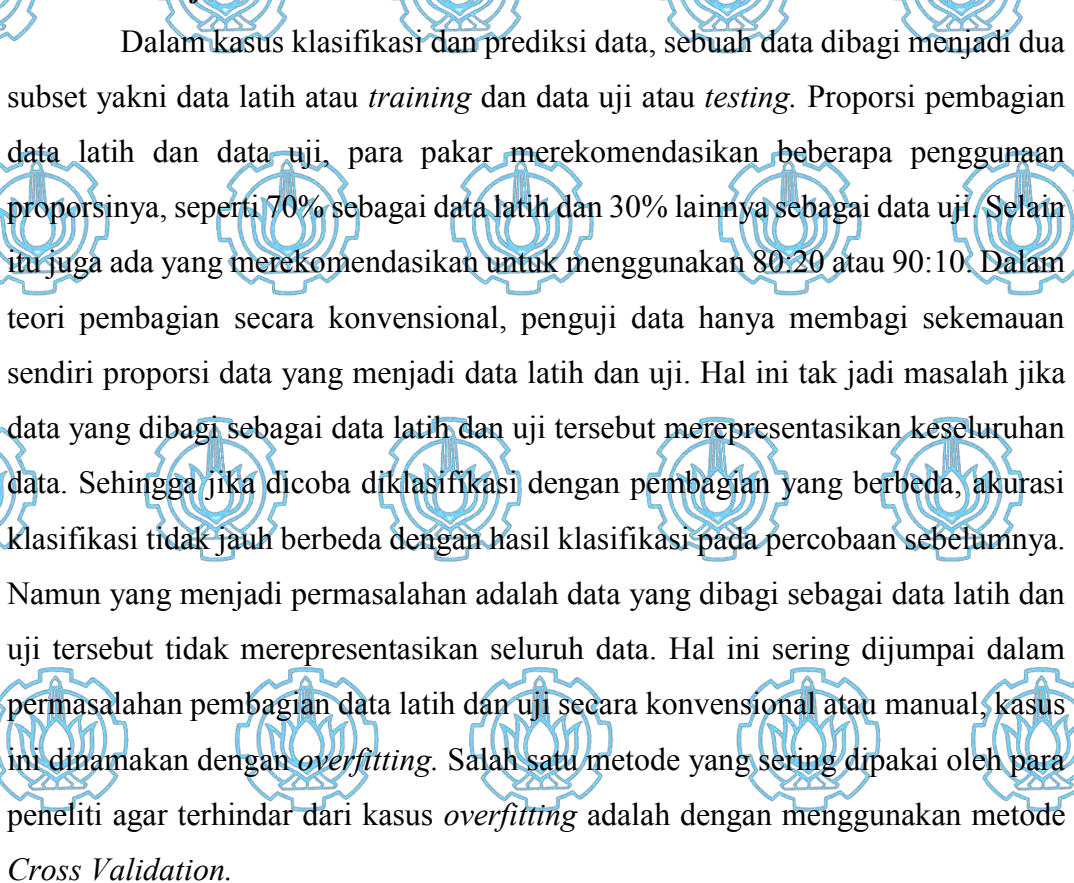
Pemilihan nilai k yang sesuai memberikan pengaruh signifikan pada kinerja

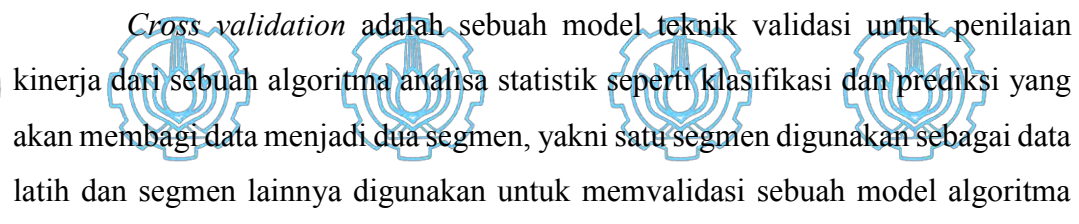




$$\hat{f}(x_q) \leftarrow \frac{\sum_{i=1}^k f(x_i)}{k} \tag{2.37}$$















































Tabel 2.2. Tabel Confusion Matrix

(5003)

			Kelas prediksi	
2/			Positif \	Negatif
-	Kelas	Positif	TP	FN
	Aktual	Negatif	FP	TN





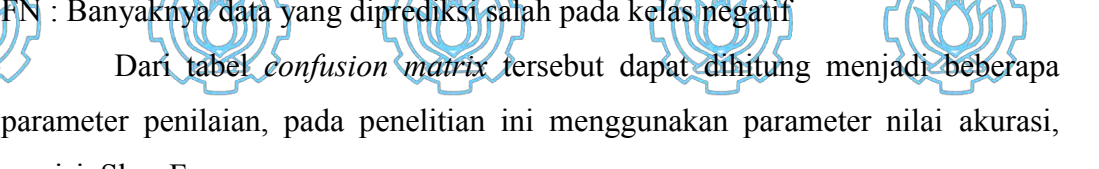
Keterangan:

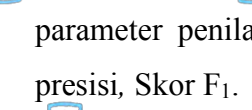
TP: Banyaknya data yang diprediksi benar pada kelas positif

FP: Banyaknya data yang diprediksi salah pada kelas positif

TN: Banyaknya data yang diprediksi benar pada kelas negatif

FN: Banyaknya data yang diprediksi salah pada kelas negatif

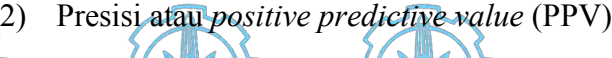






Akurasi (ACC) adalah parameter untuk menilai keseluruhan efektivitas algoritma yang diusulkan dengan memperkirakan probabilitas nilai benar dari label kelas. Nilai dari akurasi dinyatakan dengan persamaan berikut:

$$Akurasi = \frac{TN+TP}{TN+TP+FN+FP}$$
 (2.38)



$$Presisi = \frac{TP}{TP + FP}$$





Skor  $F_1$  atau F-measure merupakan salah satu perhitungan evaluasi pengukuran perfomansi yang mengkombinasikan parameter recall dan presicion atau presisi. Nilai dari Skor  $F_1$  dinyatakan dengan persamaan berikut ini:

$$F_1 = 2 \times \frac{\text{Presisi. recall}}{\text{Presisi + Recall}}$$





































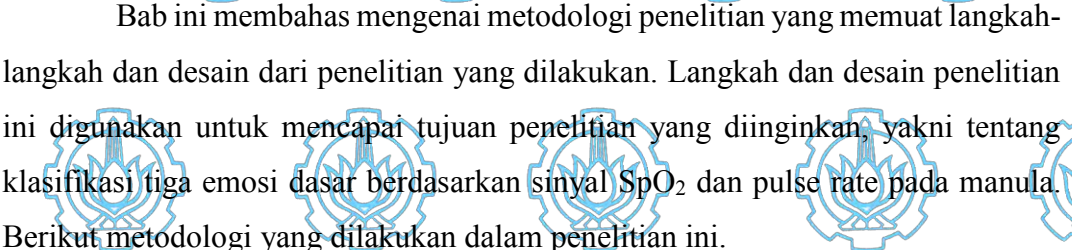


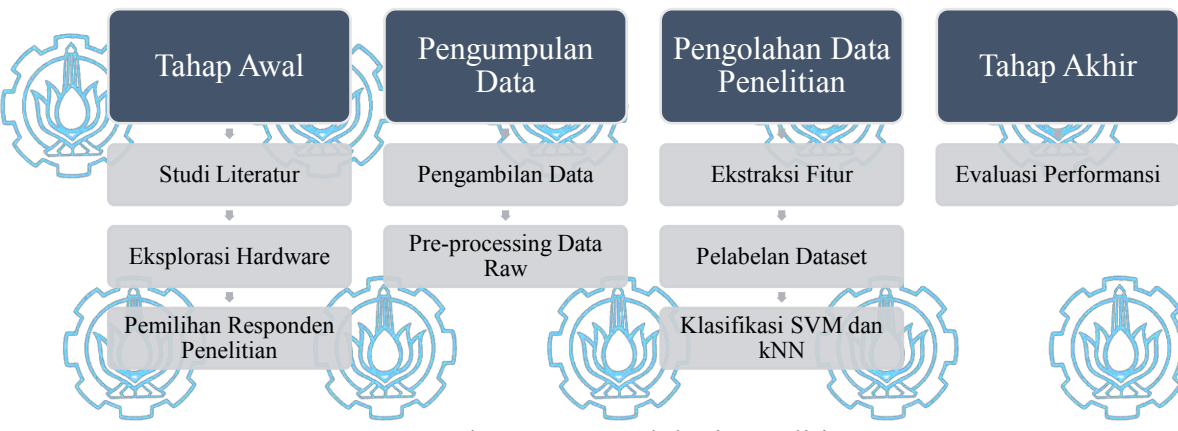




## METODOLOGI PENELITIAN







Gambar 3.1. Metodologi Penelitian

#### 3.1 Tahap Awal

Tahap awal merupakan tahap persiapan sebelum melakukan penelitian. Perencanaan penelitian yang matang merupakan kunci utama keberhasilan dari penelitian yang dilakukan, sehingga perlu dikaji lebih mendalam dari beberapa aspek yang mencakup penelitian. Tahap awal penelitian ini terdiri atas:

### 3.1.1 Studi Literatur

Studi Literatur merupakan tahapan analisis permasalahan mutakhir pada bidang afective computing, khususnya penelitian mengenai pengenalan emosi berdasarkan sinyal fisiologis. Literatur yang dijadikan rujukan diantaranya buku, paper proceeding dan jurnal terutama di *IEEE Xplore*, *Sciencedirect*, *Springer*, *Pubmed* dan website penyedia jurnal lainnya tentang penelitian terdahulu dan teori yang mendukung dan membahas mengenai pengenalan fisiologi emosi manusia berdasarkan sinyal SpO₂ dan pulse rate, sensor pulse oximeter, metode ekstraksi fitur sinyal-sinyal fisiologis, algoritma klasifikasi dan lainnya yang berkaitan

























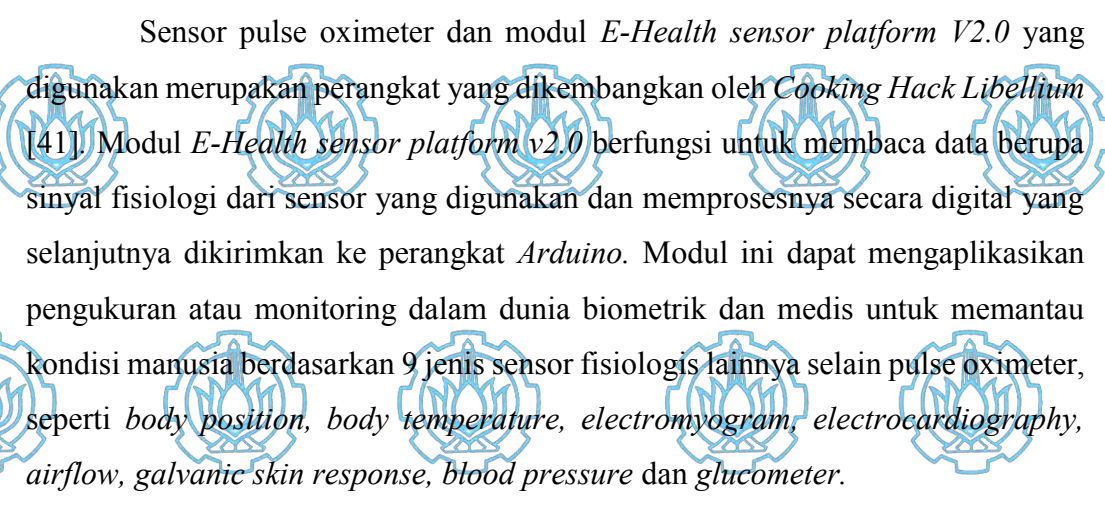


dengan penelitian. Hasil studi literatur ini dijadikan pedoman utama untuk melakukan eksplorasi dan proses penelitian hingga mendapatkan hasil dan kesimpulan

## 3.1.2 Eksplorasi Hardware

Eksplorasi Hardware merupakan tahap pemilihan jenis *hardware* yang digunakan dan tahapan konfigurasi untuk mendapatkan dataset sinyal fisiologis emosi berupa sinyal SpO₂ dan pulse rate. Pada tahap ini, beberapa *hardware* yang dipersiapkan diantaranya:

- 1) Sensor Pulse oximeter
- 2) Modul *E-Health sensor platform V2.0*
- 3) Arduino UNO Rev.3
- 4) Kabel USB printer
- 5) Laptop



Setelah eksplorasi sensor pulse oximeter dan modul E-Health sensor platform V2.0, selanjtunya adalah eksplorasi dari perangkat Arduino UNO Rev 3. Fungsi dari perangkat Arduino adalah untuk membaca perangkat input berupa sensor pulse oximeter dan modul *E-Health sensor platform v2.0* agar data pengukuran sinyal fisiologi oleh sensor bisa diproses oleh komputer. Tahapan berikut yang dilakukan dalam proses persiapan perangkat arduino diantaranya:

 Menyiapkan Arduino UNO Rev.3 dan kabel USB yang selanjutnya disambungkan ke laptop. Kabel USB yang digunakan adalah port kabel yang sama digunakan pada printer.



















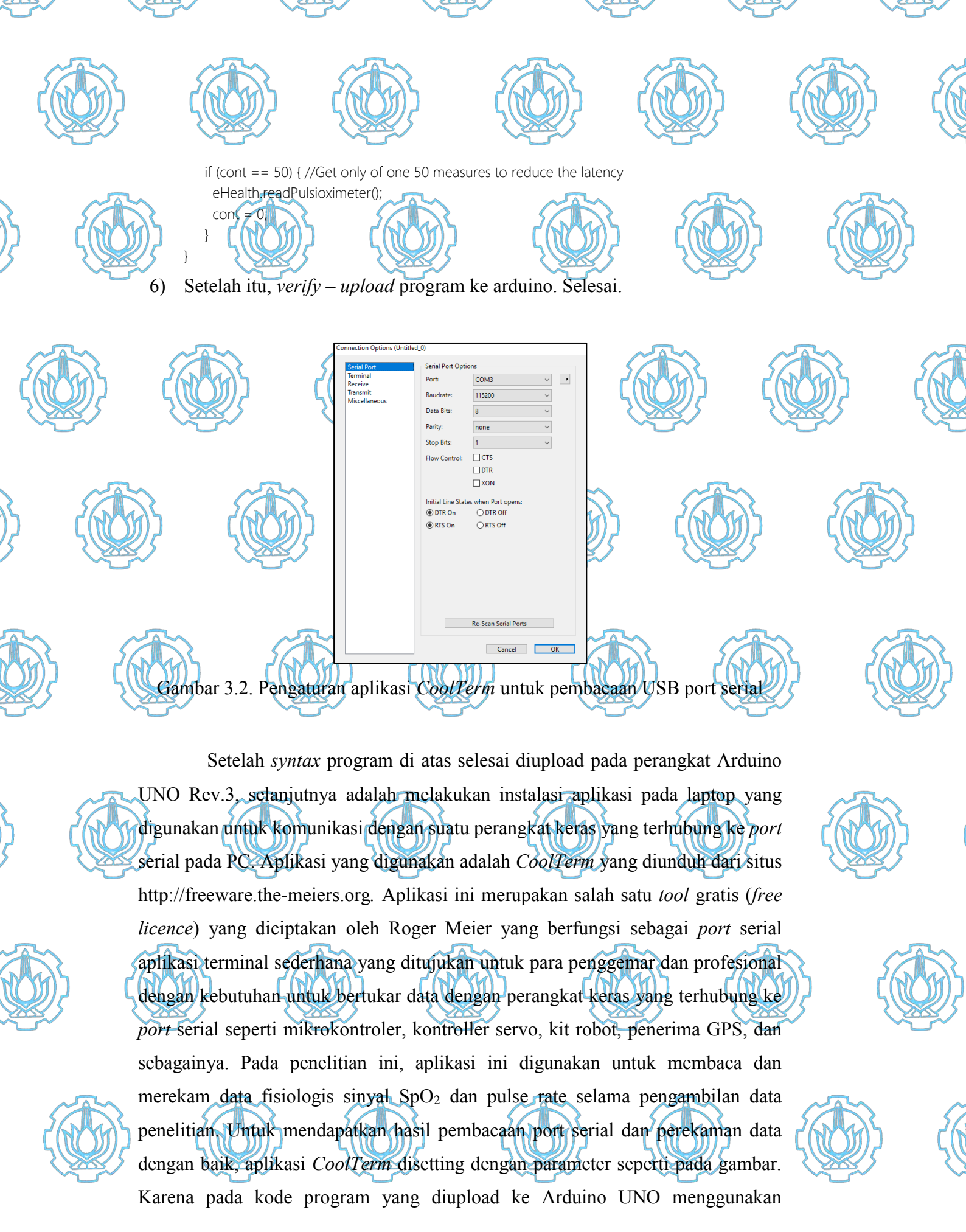
















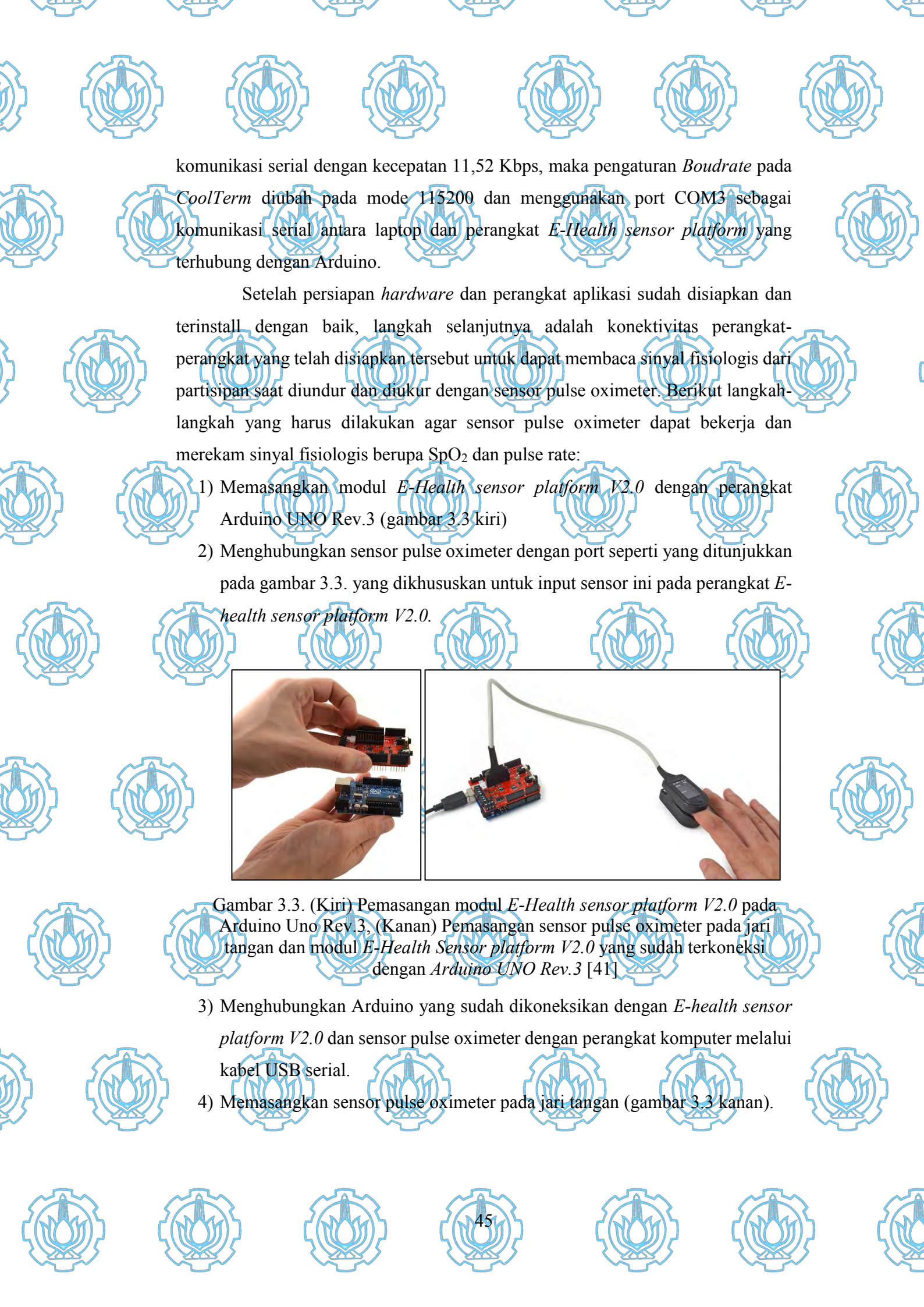


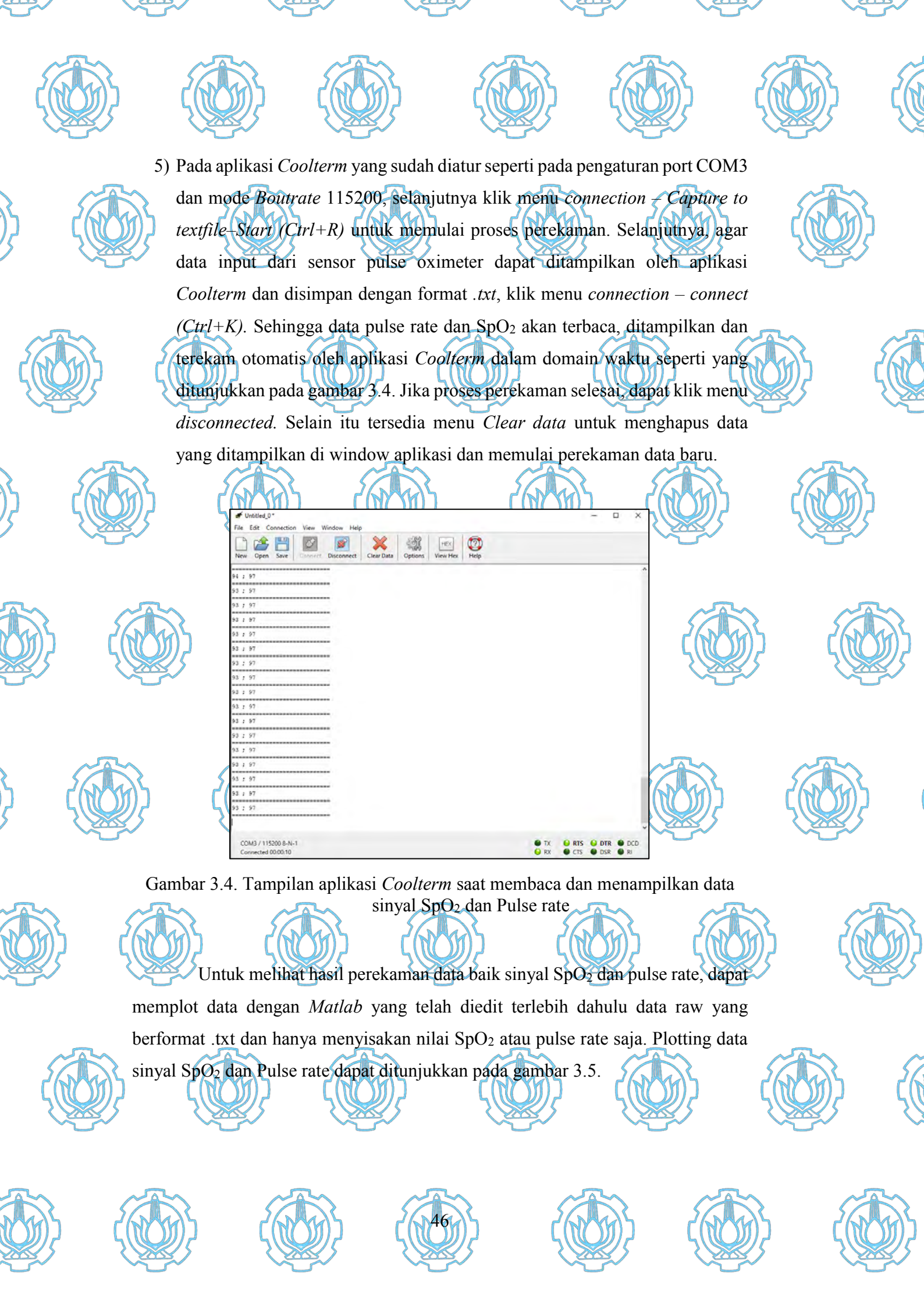


























jantung koroner, kelainan autimmun atau penyakit kronis lain. Lebih lanjut, Fatimah juga mengemukakan bahwa hubungan antara marah, perasaan depresi dan sistem imun pada 82 orang Manula yang hidup dengan pasangan penderita penyakit Al-Zheimer. Al-Zheimer merupakan penyakit kondisi kelainan yang ditandai dengan penurunan daya ingat, kemampuan berpikir dan berbicara, serta perubahan perilaku pada penderita akibat gangguan di dalam otak yang sifatnya perlahanlahan. Studi lain juga menyebutkan bahwa kondisi stress menunjukkan level IL-6 atau interleukin-6 (level tinggi) meningkatkan resiko penyakit jantung dan arthritis.





### 3.2 Pengumpulan Data

### 3.2.1 Pengambilan Data

Proses pengambilan data dibagi menjadi dua subproses yang dilakukan secara serentak, yakni proses stimulasi menggunakan media stimulan audio-video dan proses perekaman data fisiologi dari partisipan dengan menggunakan sensor Pulse oximeter dan perangkat pendukung lain yang telah dijelaskan pada bagian eksplorasi *hardware* di atas. Ruangan dipergunakan pada proses pengambilan data ini merupakan ruangan yang anti dari gangguan (*noise*) aktivitas sekitar dan nyaman, sehingga proses stimulasi berjalan maksimal sesuai dengan yang diharapkan dari tujuan penelitian ini. Proses pengambilan data ditunjukkan pada gambar 3.6 dan alur pengambilan data diilustrasikan pada gambar 3.7.













Gambar 3.6. Posisi partisipan pada saat pengambilan data





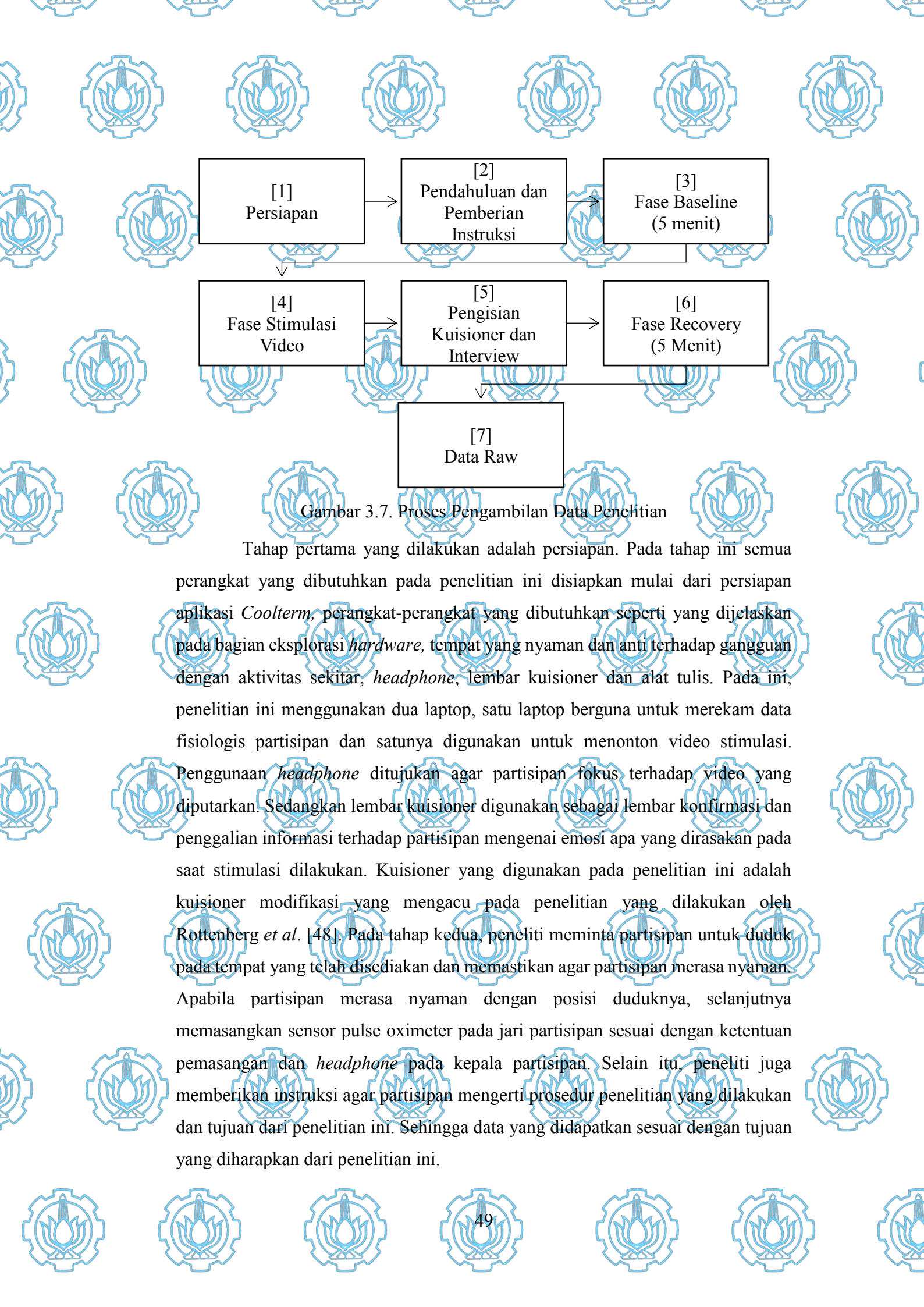
























Tahap ketiga merupakan fase *baseline*. Fase ini merupakan proses yang bertujuan untuk memberikan generalisasi awal dari level SpO₂ dan pulse rate partisipan sebelum distimulasi. Pada tahap ini, partisipan diminta untuk menutup mata selama 5 menit dan direkam dengan menggunakan sensor pulse oximeter. Setelah selesai, selanjutnya adalah fase stimulasi emosi partisipan menggunakan stimulan Audio-video. Audio-video yang digunakan merupakan materi audio-video yang telah divalidasi oleh peneliti sebelumnya oleh Rumpa *et al.* [29] yang berjumlah 6 jenis audio-video, diantaranya berkategori senang, takut, sedih, marah, kaget dan jijik. Namun pada penelitian ini hanya mengambil 3 kategori emosi yang sering dirasakan oleh semua orang dalam kehidupan sehari-hari tertutama saat menonton sinetron ataupun film, yakni kategori senang, sedih dan marah seperti yang ditunjukkan pada tabel 3.1.





Tabel 3.1. Daftar Stimulan Audio-video

_	<u>~</u> I			1.00					
	5/	Jud	ul Aud	io 🌠	Alias	Target	75	Capture Vide	0
<b>1</b> (1)	$\zeta(t)$		Video	$\zeta(t)$		Emosi	())		
<b>3</b>			>				Film & TV		
	Ĭ	New	Best	of I	CICI11	Senang	Film & TV		- a x
		Just t	or Laug	chs			THE R. P.		SANIVAC
		_	_						100-000
		Gags	$E_{I}$	pic		~~~			
56		Colle	ction		13				
4(0		PAR'	r 58		) لر(		-		
		y 11101							
									9465
<b>7</b> .		Iklan	Н	ari I	CICI14	Sedih	← Film & TV		- 0 X
73	\$	Raya	RT	$M \int$			Al Vancos		
(ומל			וו)			בותר			
<b>3</b> /5	3	2014	3	3					
		HD	Directo	ors				A 22 D	>
		Cut							
		Cui						Lined out and asked for forgiveness.	
	<b>&gt;</b>			5		<b>4</b>	00.05.47	Facility of the second for the secon	00.01.14
7/17/1	1		767	MY	76	YYYY	TINY Y	MII	
7	75		715	<u> </u>	7/0	<b>X</b>	719	<i>115</i> 7 %	**************************************
	<b>√</b>		~_		<u>~</u>	~		~	





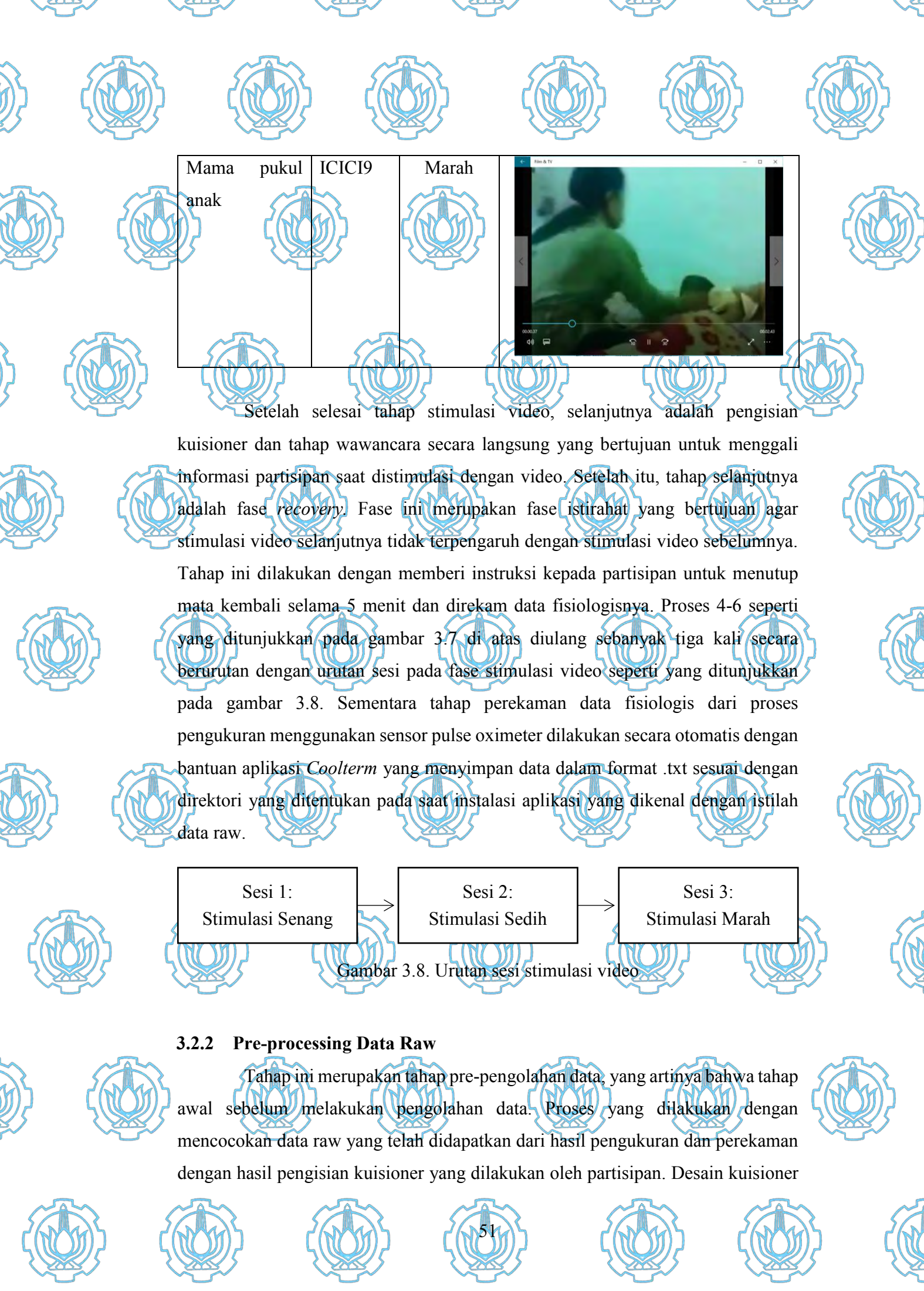
























yang digunakan merupakan jenis kuisioner modifikasi dari penelitian pengenalan emosi yang dilakukan oleh Rottenberg et al. [48]. Penelitian ini menggunakan enam butir pertanyaan yang bertujuan untuk mengkonfirmasi emosi yang dirasakan saat menonton video stimulan. Selain itu terdapat pertanyaan tambahan yakni apakah partisipan pernah menonton video stimulasi sebelumnya dan apakah menutup mata pada saat menonton video stimulan. Selanjutnya, Data raw yang digunakan pada tahap selanjutnya (ekstraksi fitur) adalah data dari partisipan yang mengkonfirmasi bahwa subjek merasakan emosi yang sesuai dengan kategori emosi pada saat sesi stimulasi video.





# 3.3 Pengolahan Data Penelitian

#### 3.3.1 Ekstraksi Fitur







Ekstraksi fitur adalah bagian yang terpenting dalam penelitian tentang pattern recognition atau pengenalan pola. Kinerja dari algoritma klasifikasi yang diusulkan sangat dipengaruhi oleh metode ekstraksi fitur yang dipilih. Pada penelitian ini, terdapat dua metode ekstraksi fitur yang dipilih, yakni metode segmentasi ukuran window dari sinyal fisiologis dan ekstraksi fitur statistik pada domain waktu. Metode segmentasi ini telah banyak dilakukan oleh peneliti dibidang affective computing, sebagai contoh adalah penelitian yang dilakukan oleh Henry Candra et al. [60] dimana mereka mensegmen sinyal fisiologi EEG dengan 10 jenis ukuran segmen, mulai dari segmen per 60 detik sampai dengan per 1 detik. Peneliti lainnya dilakukan oleh peneliti terdahulu yakni Wanhui et al. [25] yang mensegmen sinyal SpO₂, GSR dan HR per 15 detik. Pada penelitian ini, menggunakan segmentasi ukuran window dari sinyal SpO₂ dan Pulse rate per 15 detik. Dari metode segmentasi ini, maka pada kategori emosi yang sama didapatkan beberapa data per subjek dengan range domain waktu yang sama yakni per 15 detik













seperti yang diilustrasikan pada gambar 3.9 berikut.











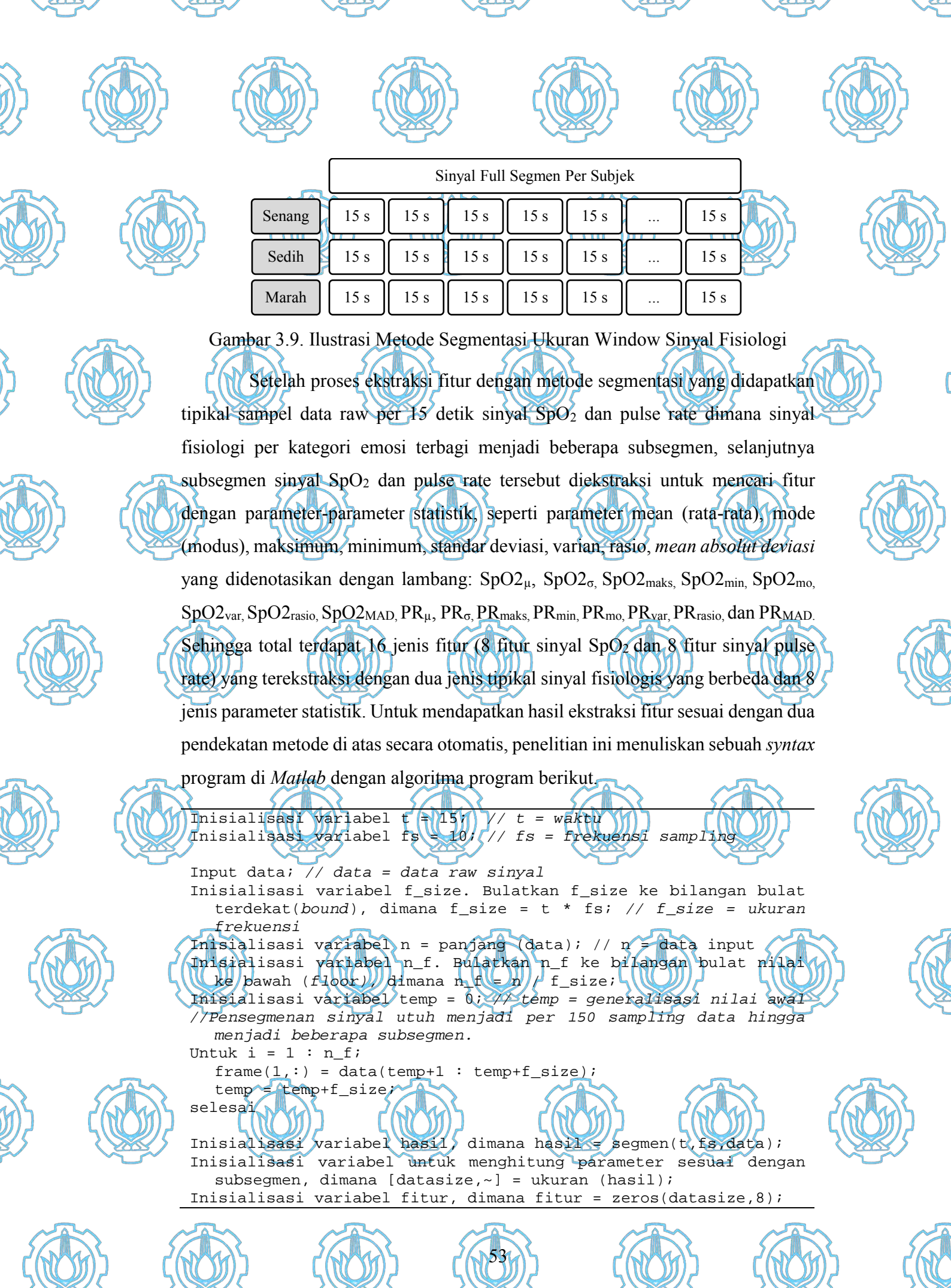
























//zeros = pembuatan matrik

```
//Melakukan perhitungan tiap subsegmen sinyal dengan parameter
statistik berikut
Untuk i = 1:datasize;
Hitung fitur(i,1) = Dapatkan nilai mean dari hasil(i,:);
Hitung fitur(i,2) = Dapatkan nilai max dari hasil(i,:);
Hitung fitur(i,3) = Dapatkan nilai min dari hasil(i,:);
Hitung fitur(i,4) = Dapatkan nilai std dari hasil(i,:);
Hitung fitur(i,5) = Dapatkan nilai mode dari hasil(i,:);
Hitung fitur(i,6) = Dapatkan nilai rasio dari fitur(i,2) dibagi dengan fitur(i,3);
Hitung fitur(i,7) = Dapatkan nilai varian dari hasil(i,:);
Hitung fitur(i,8) = Dapatkan nilai wad dari hasil(i,:);
//mad = Mean absolute deviasi
Selesai
```

Tampilkan hasil ekstraksi fitur dalam bentuk tabel matriks

Pada syntax algoritma di atas, syntax pada Matlab dibagi menjadi dua jenis file, yakni syntax sebagai function untuk mendefinisikan segmentasi sinyal dan selanjutnya file function tersebut dipanggil kembali pada syntax utama untuk perhitungan ekstraksi fitur parameter statistik. Untuk pseudo-code program ekstraksi fitur secara lengkap, terdapat pada lampiran 1.



Pelabelan dataset merupakan proses dimana penggabungan dan rekapitulasi hasil dari ekstraksi fitur dalam sebuah tabel matriks dimana kolom tabel sebagai jenis fitur dan label kelas, sedangkan baris tabel sebagai *instance* dari dataset. Dataset yang telah dilabeli ini disimpan dalam format *.csv agar aplikasi untuk klasifikasi dataset bisa membaca dan mengenali input dataset. Pada penelitian ini, proses pelabelan dataset menggunakan aplikasi *Microsoft Excel*.

# 3.3.3 Klasifikasi Menggunakan SVM dan kNN

Melalui proses ekstraksi fitur dan pelabelan dataset yang didapatkan data berupa tabel matriks dalam format *.esv, didapatkan dataset sebanyak 1326 instance, yang terbagi menjadi 3 label kelas yakni kelas senang, sedih dan marah. Klasifikasi dilakukan dengan menggunakan algoritma klasifikasi SVM dan kNN, dimana pada penelitian ini menggunakan aplikasi Weka 3.8 untuk proses klasifikasi dataset.















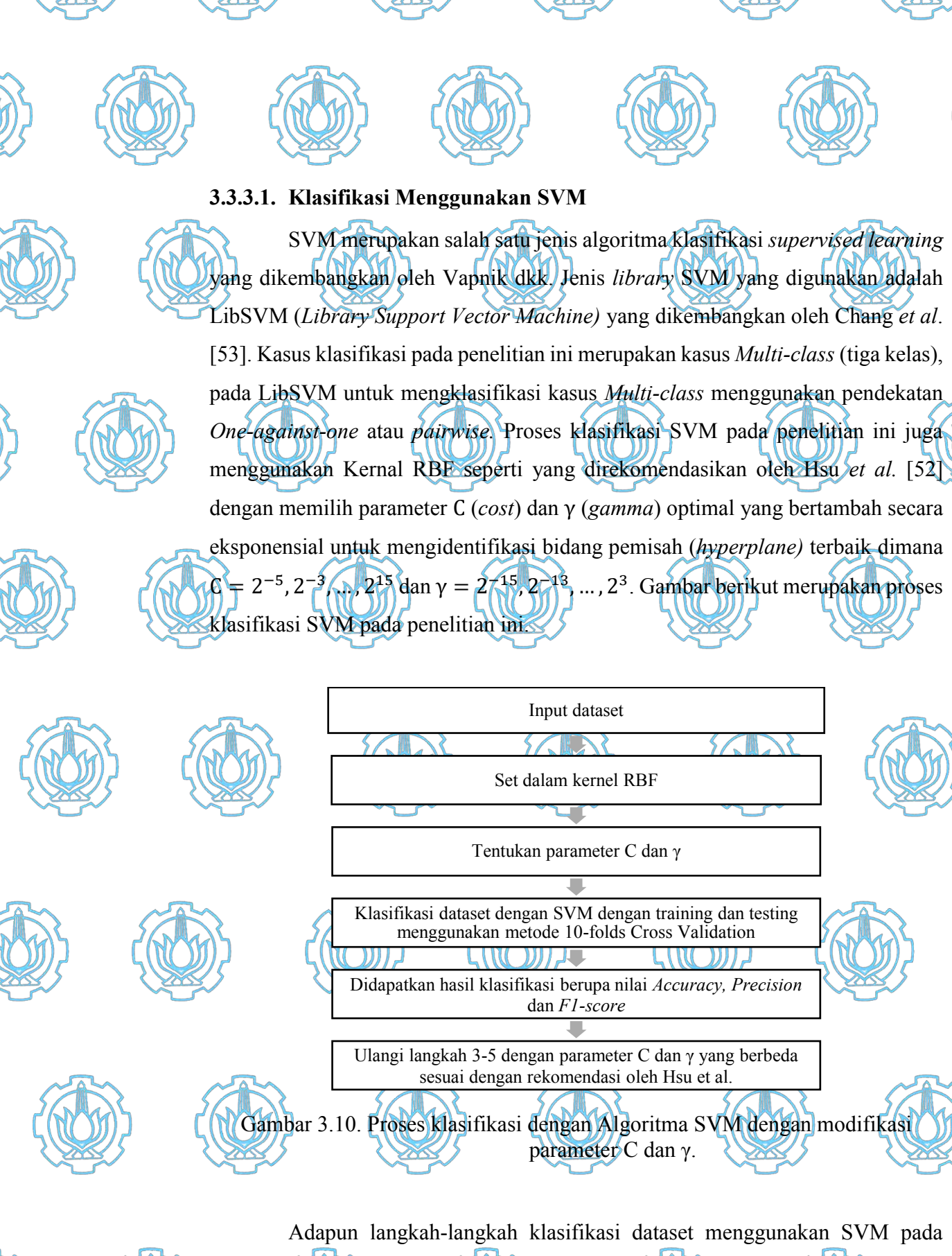












aplikasi Weka 3.8, diantaranya:

Buka aplikasi Weka 3.8. Pilih menu explor



















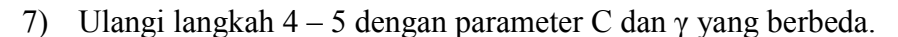


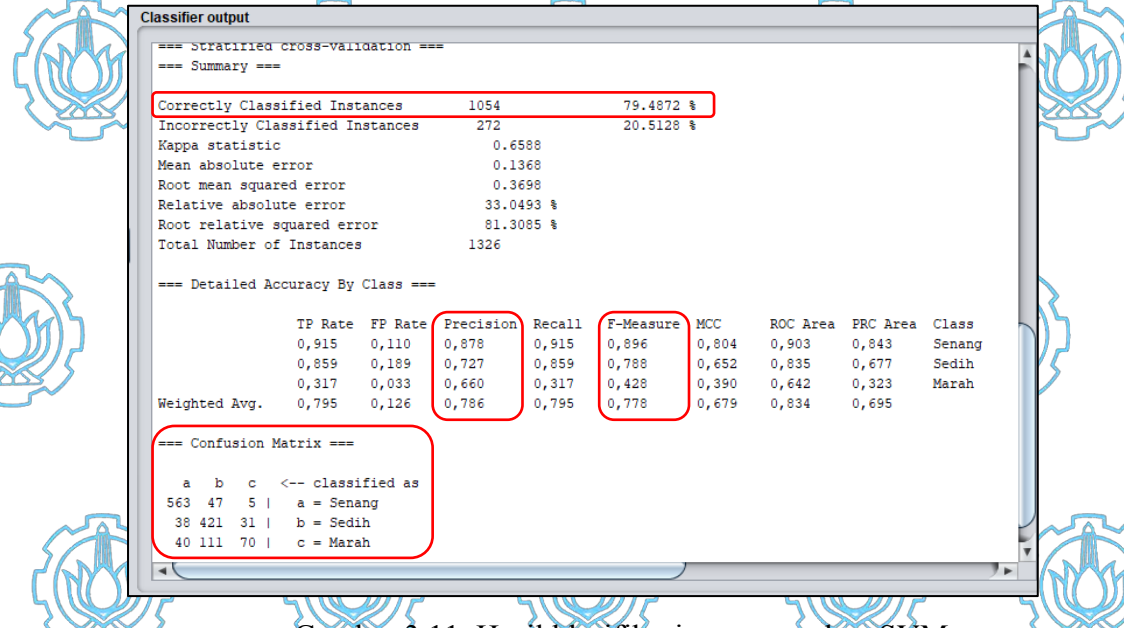






- 2) Pada menu *Preprocess*, pilih sub menu *Open file* untuk menginputkan dataset dengan format *.csv. Cari file dataset pada direktori tempat menyimpan dataset, klik *Open*.
- 3) Pilih menu *Classify*. Pada bagian *Classifier*, pilih menu *Choose* pilih jenis *Classifiers functions* dan pilih LibSVM.
- 4) Klik pada *properties* LibSVM untuk mengubah jenis kernel RBF dan mengubah parameter  $C = 2^{-5}, 2^{-3}, ..., 2^{15}$  dan  $\gamma = 2^{-15}, 2^{-13}, ..., 2^3$ . OK
- 5) Pilih *Cross-validation* pada bagian *test options* dengan folds = 10. Klik menu *Start* untuk memulai klasifikasi seperti yang ditunjukkan pada gambar
- 6) Sehingga didapatkan hasil klasifikasi seperti pada gambar 3.11. Pada penelitian ini menggunakan parameter *Accuracy, precision* dan AUC untuk menilai kinerja dari algoritma klasifikasi yang diusulkan serta tabel *confusion matrix*.







# 3.3.3.2. Klasifikasi Menggunakan kNN

Algoritma pembelajaran kNN (*k-Nearest Neighbors*) dilakukan dengan cara menghitung jarak terdekat data testing terhadap data training dari kriteria kelas yang telah dipelajari oleh algoritma kNN. Proses penentuan kelas dilakukan dengan







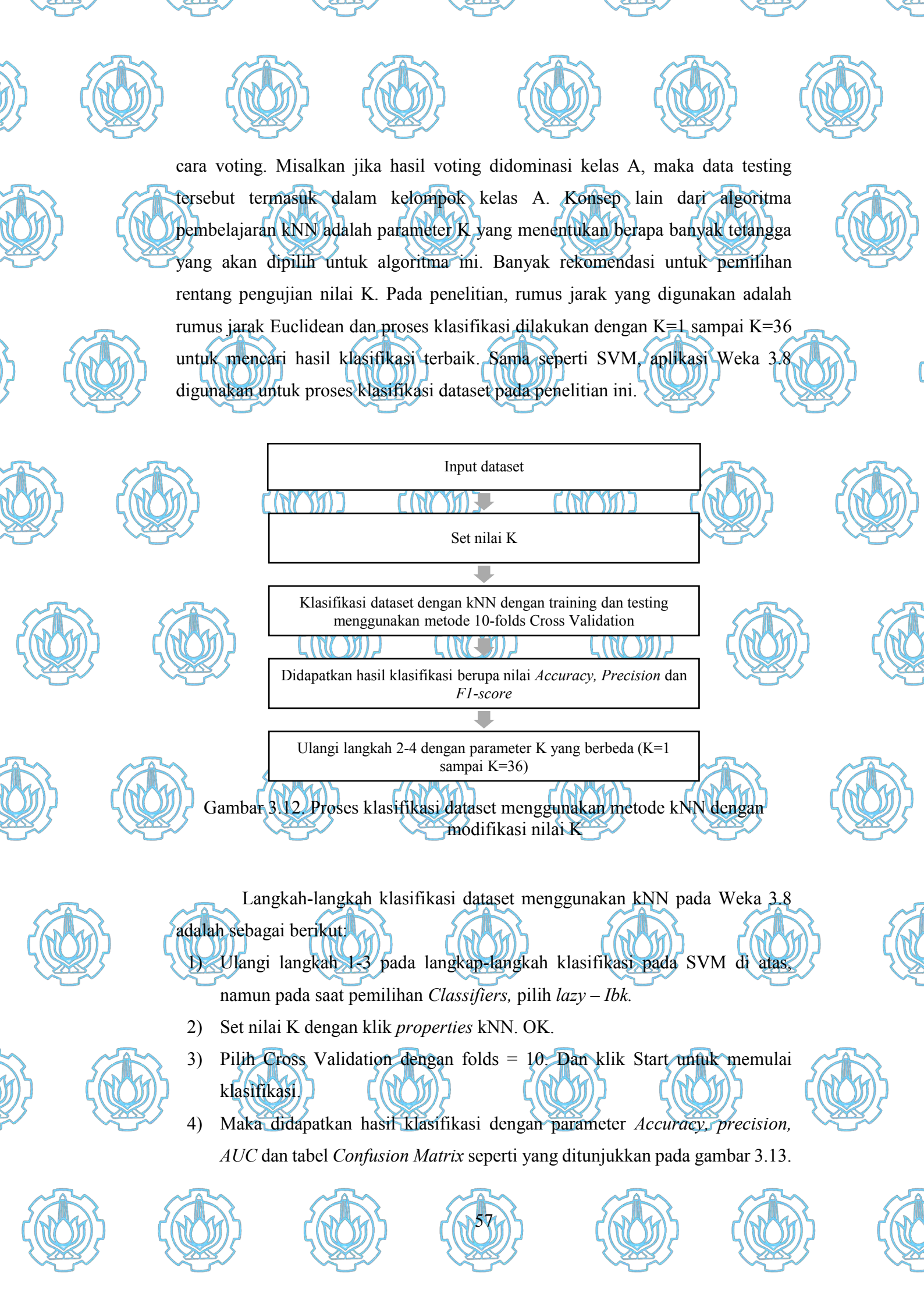
















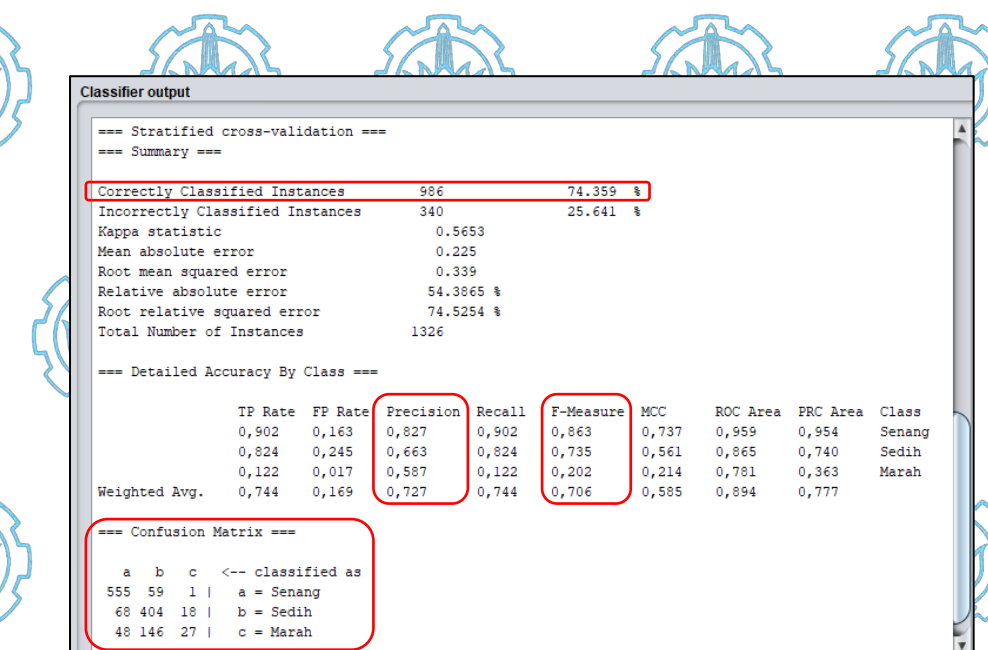








5) Ulangi langkah 2-4 dengan nilai K yang berbeda (K=1 sampai K=36)









Tahap ini merupakan tahapan evaluasi dan analisa hasil klasifikasi dengan menggunakan metode SVM dan kNN dengan modifikasi parameter C, γ dan K. Pada penelitian ini, klasifikasi dilakukan menjadi 3 skenario. Skenario pertama dilakukan adalah dengan penggabungan fitur dari sinyal SpO₂ dan pulse rate. Total ada 16 fitur (8 fitur SpO₂ dan 8 fitur PR) dengan dua metode klasifikasi di atas. Skenario kedua dan ketiga, dilakukan klasifikasi baik menggunakan SVM dan kNN dengan menggunakan fitur sinyal SpO₂ dan pulse rate secara terpisah (klasifikasi hanya menggunakan 8 fitur dari sinyal SpO₂ dan 8 fitur dari sinyal pulse rate) dan juga masing-masing dengan metode SVM dan kNN, namun dengan parameter terbaik dari C, γ dan K pada percobaan klasifikasi tahap pertama. Proses training dan testing yang dilakukan pada penelitian adalah dengan menggunakan metode 10-folds cross validation. Tujuan dari penggunaan metode ini adalah untuk menghindari kasus overfitting [59]. Parameter yang digunakan untuk mengukur kinerja dari algoritma yang diusulkan adalah parameter Accuracy, Precision, F1-















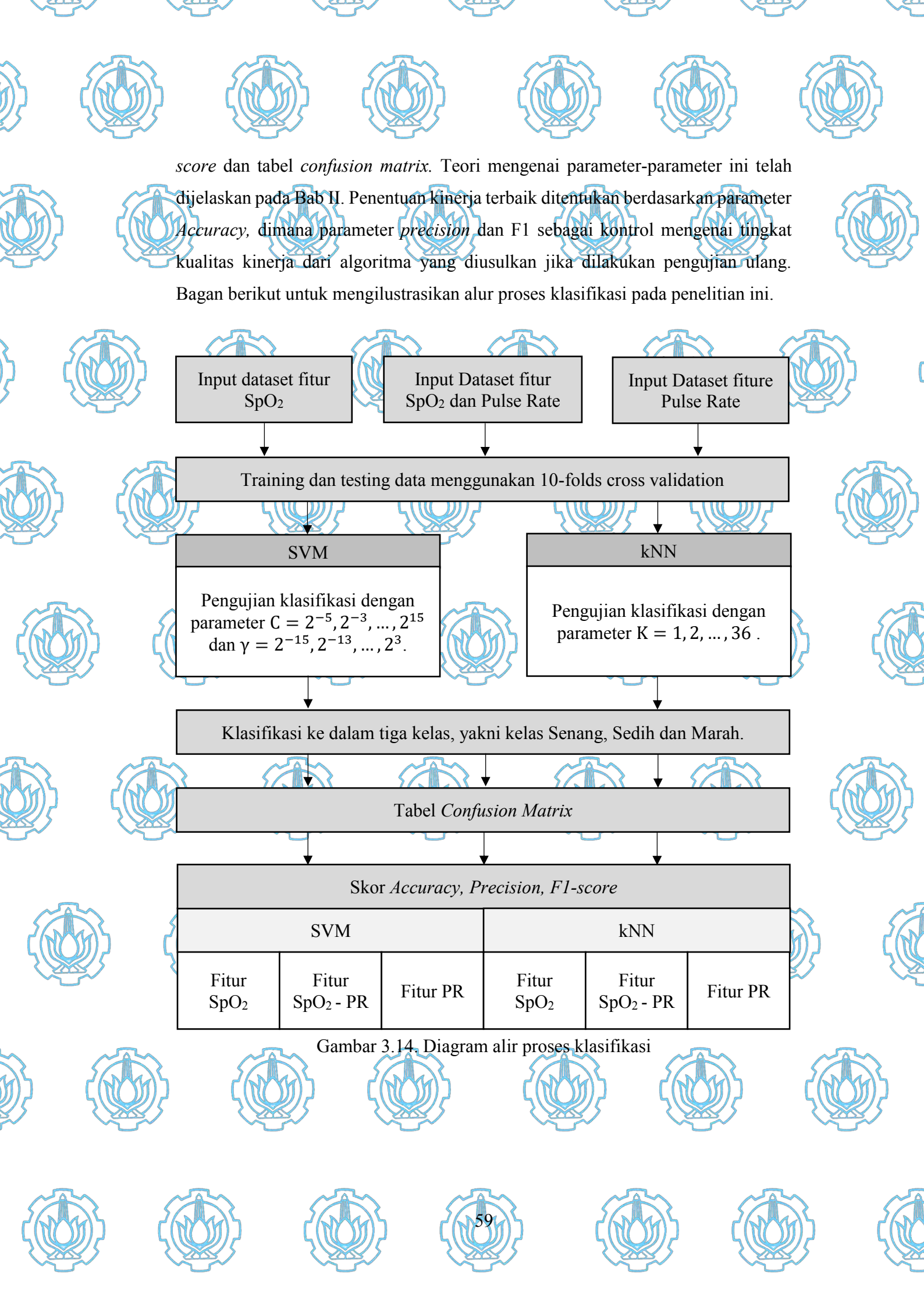


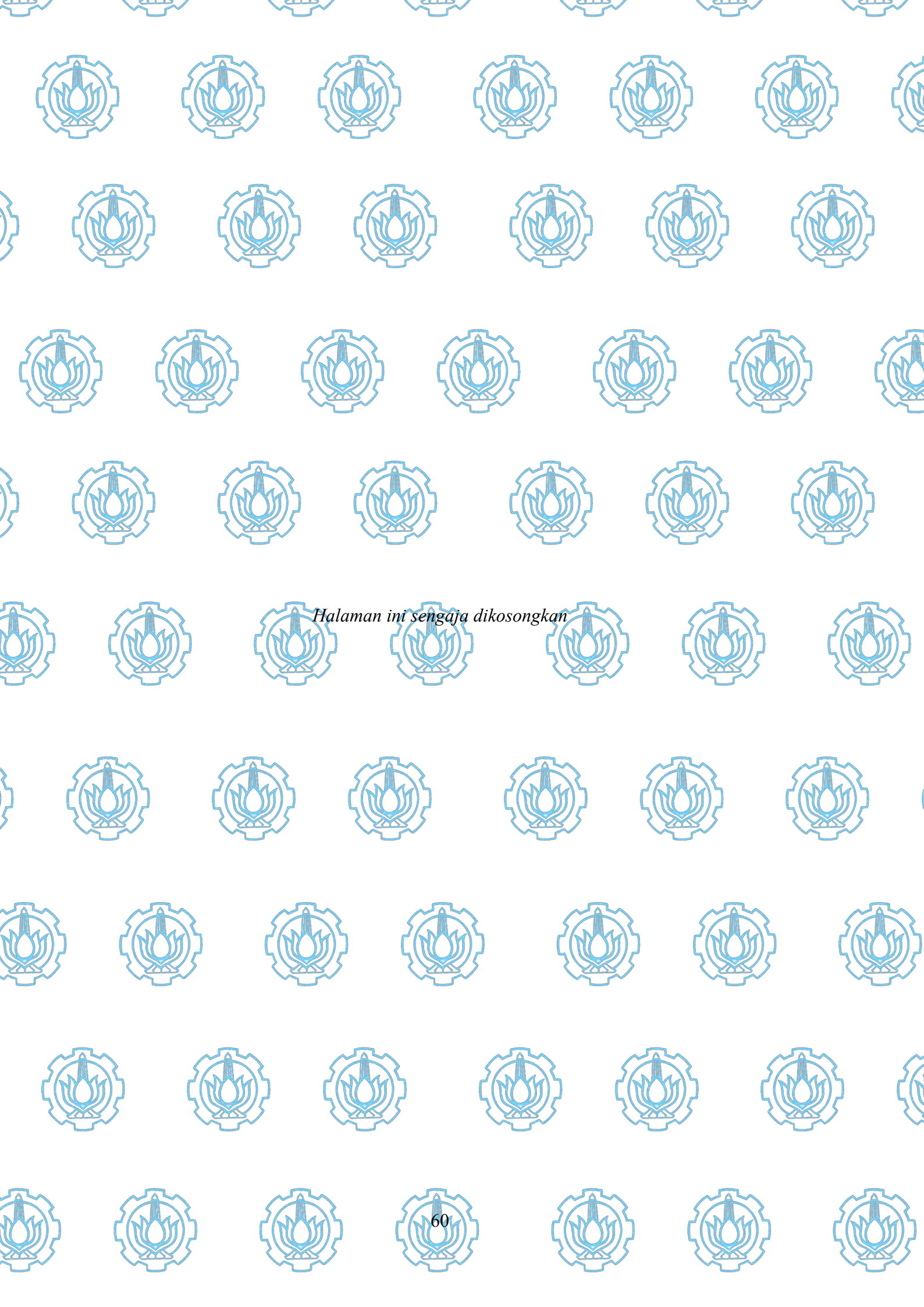


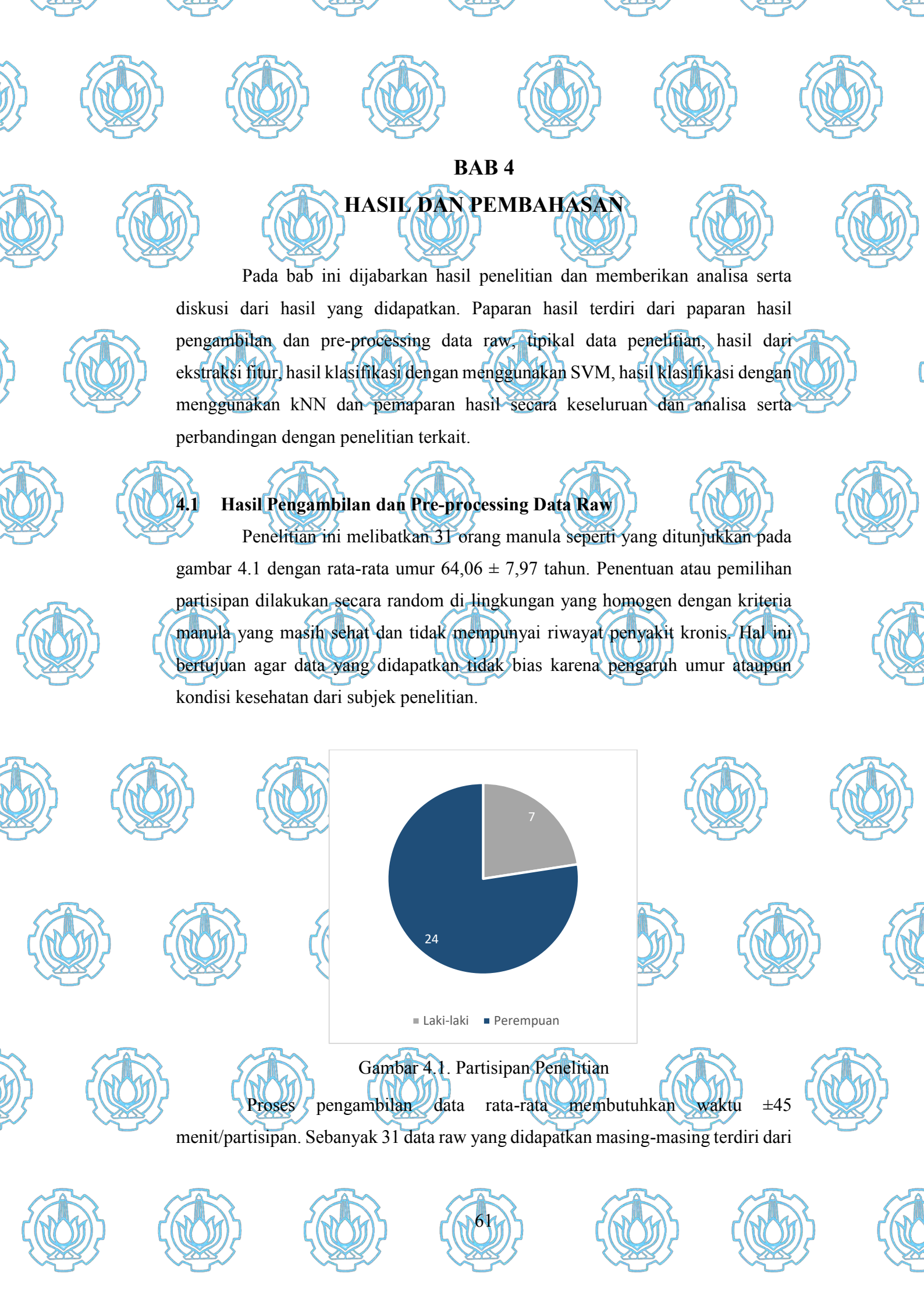






















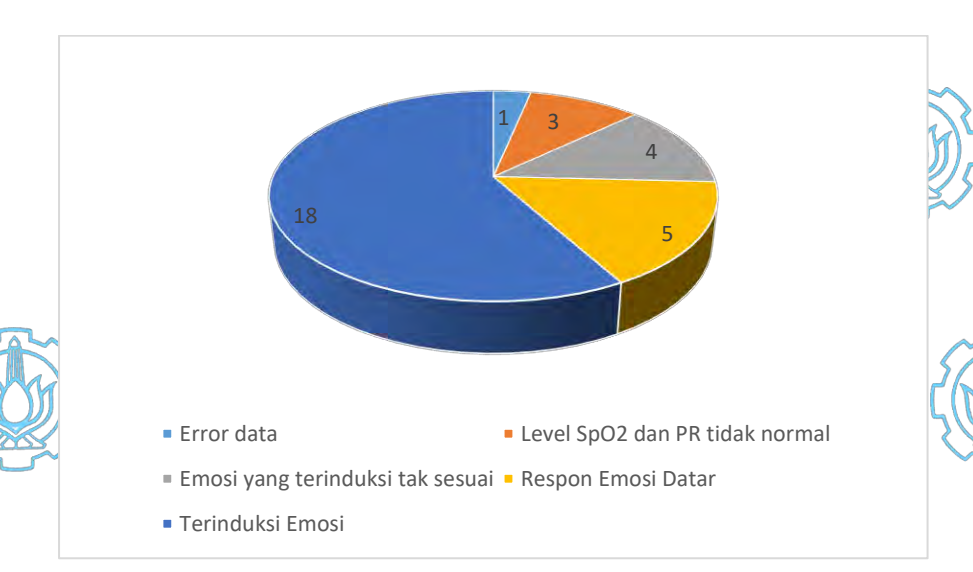


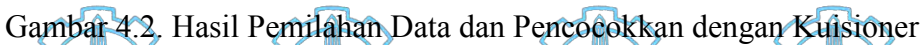
7 jenis data, diantaranya data baseline, data emosi senang, data emosi sedih, data emosi marah, data recovery pasca emosi senang, data recovery pasca emosi sedih dan data recovery pasca emosi marah. Dari 7 jenis data raw tersebut, penelitian ini memproses tiga jenis data raw, yakni data emosi senang, emosi sedih dan emosi marah yang nantinya ketiga jenis ini menjadi label kelas, sehingga algoritma yang diusulkan mengklasifikasi dataset kedalam tiga 3 kelas, yakni kelas emosi senang, kelas emosi sedih dan kelas emosi marah. Selain itu, sebanyak 31 data raw yang didapatkan tersebut, dipilah dan dicocokan dengan hasil pengisian kuisioner. Hasil pemilahan didapatkan bahwa 1 data raw partisipan error saat perekaman sehingga data tidak tersimpan oleh sensor pulse oximeter dan 3 partisipan lainnya menunjukkan bahwa level SpO₂ atau pulse ratenya tidak berada pada kondisi normal pada saat fase baseline. Sehingga tidak memungkinkan untuk memproses pada tahapan selanjutnya. Selain itu, hasil pencocokan dengan pengisian kuisioner didapatkan sebanyak 4 partisipan yang mengkonfirmasi bahwa emosi yang dirasakan pada saat video stimulasi tidak sesuai dengan kategori video yang distimulasikan kepada partisipan dan 5 orang lainnya mengaku bahwa tidak terstimulan (respon emosi datar).











Sebanyak 18 data raw partisipan (3 laki-laki dan 15 perempuan) yang lolos seleksi tahap pemilahan dan pencocokan ini dari masing-masing jenis emosi yang jika ditotal terdapat 54 data raw (18x3 jenis emosi) yang digunakan pada tahap





























analisa selanjutnya. Tabel 4.1 berikut merupakan daftar data partisipan yang

diproses pada tahap pengolahan data berikutnya.





	No.	Nama Partisipan	Kode	Umur (Tahun)	<u> </u>
	1.	Jaimah	P03	70	
W.	2	Usnati Hamiyah	P04 P05	69	
	<b>3</b> 4.	Anis Saati	P06	56	
	5.	Nur Baiti	P10	62	
	6.	Anna Aryani	P11	59	
	75	Sumiati	P14	58	Man S
	8.0	Sulaiman 5	P15	69	المرازي
	9.	Suwarna	P16	55	
	10.	Abdul Adhim	P19	73	
	11.	Saniti	P20	56	
35	12.	Suyati	P21	55	
الر((	13.	Lilis Hariana (	<b>∭</b> ₽22	L((C)55)	
	14.	Talhak	P26	71	(5923)
	15.	Hikmah	P27	59	
	16.	Lamira	P28	64	
	17.	Sanipah	P30	64	
	18,	Sulikah	P31	61	A CONTRACTOR OF THE PARTY OF TH
	50	Rata-rata ± Standar o	deviasi 5	$61,78 \pm 6,24$	
	1		<b>\</b>		



Sensor Pulse oximeter merekam aktifitas fisiologis dari partisipan dengan frekuensi sampling 10 Hz. Sehingga dalam satu detik, sensor Pulse oximeter dapat merekam 10 data point dari data SpO₂ dan Pulse rate. Berikut ini disajikan gambaran tipikal data yang didapatkan dari hasil pengukuran dengan memilih salah satu sampel data seorang partisipan yang bernama Suwarna. Selama pengambilan data, Bu Suwarna yang paling responsif diantara subjek penelitian yang lainnya pada saat pengambilan data dan proses pengukuran Data yang disajikan berupa tipikal data fase video stimulasi yang terdiri dari induksi emosi senang, sedih dan





marah.

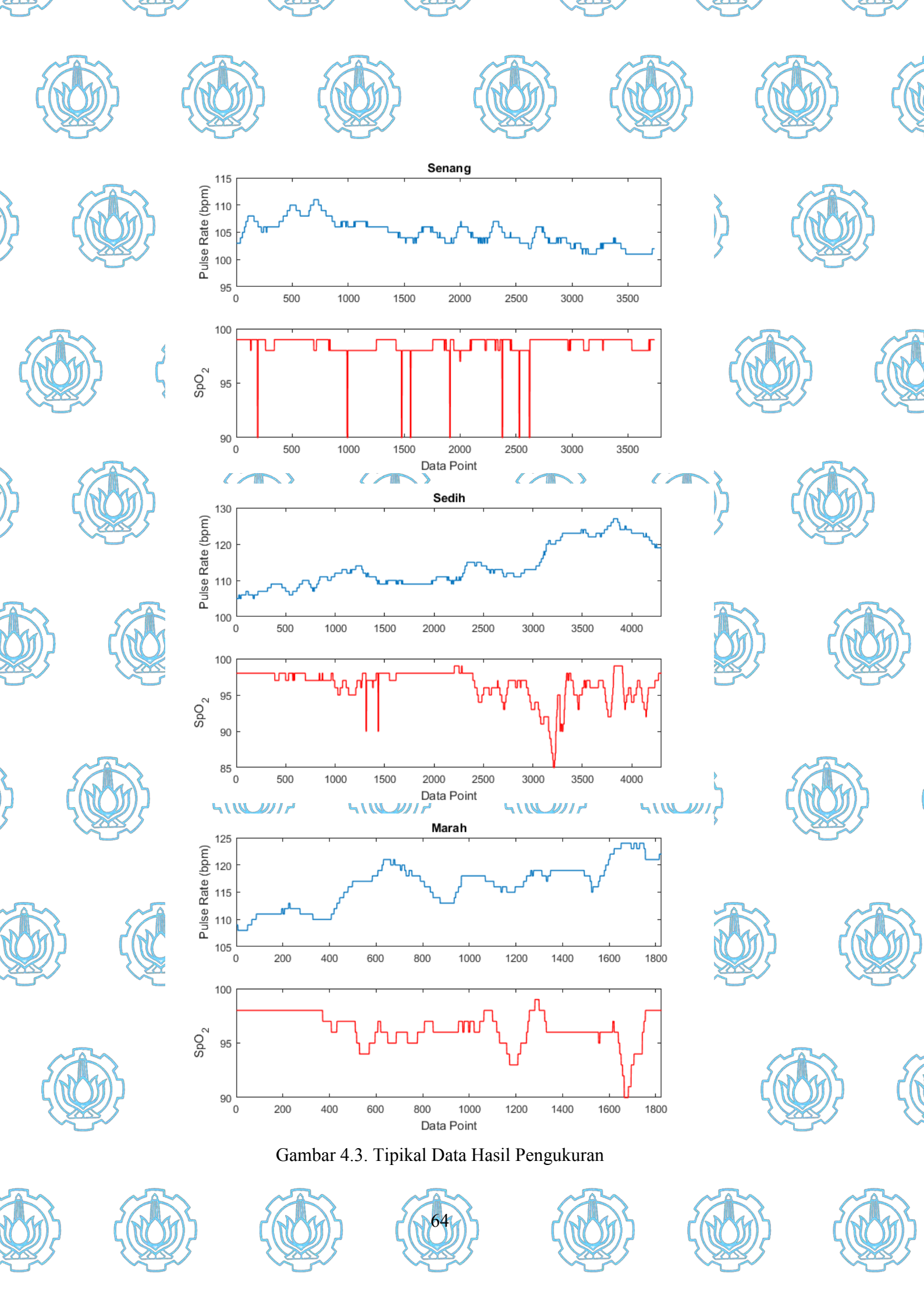


























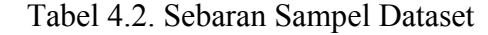
Berdasarkan gambar 4.3 di atas, ditunjukkan bahwa panjang data dari tiap fase berbeda-beda. Perbedaan ini disebabkan karena panjang durasi video yang berbeda sehingga proses perekaman menyesuaikan panjang durasi video stimulan yang digunakan. Jika dilihat, tipikal data diantara kedua jenis sinyal merupakan sinyal *non-stasioner* sehingga tidak seperti ECG yang memiliki pola yang beraturan (memiliki jenis gelombang tertentu yakni gelombang PQRS), pola fluktuasi dari kedua tipikal sinyal berubah-ubah seperti sinyal EEG. Selain itu, tipikal data dari sinyal SpO2 cenderung memiliki perbedaan fluktuasi yang kurang dominan. Berbeda dengan tipikal data dari sinyal pulse rate yang memiliki variasi fluktuasi yang sangat terlihat. Data pada saat induksi emosi senang nilai Pulse rate cenderung menurun, sedangkan pada saat sedih dan marah cenderung nilai Pulse ratenya naik. Lain hal pada sinyal SpO₂, perbedaan terlihat pada fluktuasi nilai dari detik ke detik. Pada saat induksi emosi senang terlihat tidak memiliki fluktuasi yang signifikan, namun pada emosi sedih dan marah fluktuasinya bervariasi. Terkhusus untuk emosi

marah, bahkan pada saat tertentu nilainya hingga mencapai kondisi *hypoxia* (SpO₂

= 85%) seperti pada data Bu Suwarna pada saat 3000-3500 data point.



Sebanyak 54 data raw yang lolos tahap pemilihan dan pencocokan dengan kuisioner, selanjutnya diekstraksi dengan dua pendekatan metode ekstraksi fitur yakni metode segmentasi ukuran window sinyal dan ekstraksi fitur statistik pada domain waktu. Metode segmentasi ini membagi sinyal utuh baik SpO₂ dan Pulse rate dari masing-masing partisipan ke dalam beberapa potongan per 15 detik, dimana per potongan ini terdapat 150 data poin (15 detik x 10 = 150 data point, dimana 10 adalah frekuensi sampling dari Sensor Pulse Oximeter dalam merekam



































Tabel 4.2 diatas merupakan statistika deskriptif sebaran sampel dari dataset perkelas yang dihasilkan dari proses metode segmentasi *window size*. Panjang video dari tiap stimulan yang berbeda mengakibatkan jumlah sampel dataset yang tidak seimbang. Total 1326 sampel dataset dengan panjang data 150 data point yang terdisi dari dataset dengan label senang, sedih dan marah yang masing-masing terdiri dari jenis sinyal SpO₂ dan Pulse rate. Selanjutnya sampel dataset tersebut diproses pada tahap ekstraksi fitur selanjutnya dengan menggunakan metode ekstraksi fitur statistik pada domain waktu dengan 8 jenis parameter (didenotasikan dengan simbol: SpO2_μ, SpO2_σ, SpO2_{maks}, SpO2_{min}, SpO2_{mo}, SpO2_{var}, SpO2_{rasio}, SpO2_{MAD}, PR_μ, PR_σ, PR_{maks}, PR_{min}, PR_{mo}, PR_{yar}, PR_{rasio}, dan PR_{MAD}). Tabel berikut merupakan sampel dari data yang sudah diekstraksi fitur.

Tabel 4.3. Sampel Hasil Ekstraksi Fitur Sinyal SpO₂

	NT-				Sinyal	SpO ₂				Label
	No -	μ	σ	Maks	Min	Mode	Var	Rasio	MAD	Emosi
	A	96,86	1,447	98	90	97	2,094	1,089	0,549	Senang
ch	(2)	95,77	0,420	96	95	96	0,177	1,011	0	Senang
5	<b>3</b> 3/5	97,65	0,477	97	96	97	0,228	1,010	5 0	Senang
	4	98,66	0,475	99	98	99	0,226	1,010	0	Senang
	5	98	0	98	98	98	0	1	0	Senang
$\widetilde{\mathbb{N}}$	615	98	9	98	98	98	0	1	0	Senang
	616	95,76	1,180	9 <b>6</b> N	90)	96	1,392	1,067	Q(y)	Sedih
	617	96,76	1,180	97	91	97	1,392	1,066	0	Sedih
	618	98	0	98	98	98	0	1	0	Sedih
	619	89,96	3,102	95	85	90	9,622	1,118	2	Sedih
	620	96,47	1,527	98	90	96	2,331	1,089	1	Sedih
7		<b>\</b>	767	MS.	5/4	And		7	<u> </u>	ZANWA)
7	1105	96	0	96	96	96	0	\\\\\\\\\\\\\\\\\\\\\\\\\\\\\\\\\\\\\\	0	Sedih
	1106	96,72	1,376	97	90	<b>9</b> 7	1,894	1,078	0	Marah
	1107	99	0	99	99	99	0	1	0	Marah
	1108	96,04	0,197	97	96	96	0,039	1,010	0	Marah
1	1109	97,67	0,471	98	97	98 🔬	0,221	1,010	50	Marah
الح	1110	98,16	0,368	L 99	J) 98	98	0,221	1,010	4(0)	Marah
		C X	<i></i>	C XXX	<b>3</b> /		XXX)	•••	(XXXX	<b>/</b>
	1326	98,64	1,770	99	90	99	3,131	1,1	0	Marah



























Tabel 4.4. Sampel Hasil Ekstraksi Fitur Sinyal Pulse Rate

		No	56		Sing	yal Puls	e Rate (	PR)	25	56	Label
			щ	٦٥٥	Maks	Min),	Mode	Var	Rasio	MAD	Emosi
	(SWA	1	75,84	1,124	78	75	75	1,263	1,04	0	Senang
		2	73,65	0,480	74	73	74	0,230	1,014	0	Senang
		3	80,61	0,489	81	80	81	0,239	1,012	0	Senang
A	S	4	82,99	0,115	83	82	83	0,013	1,012	P	Senang
	<b>(11)</b>	5 N	76,01	0,163	77	75	76	0,027	1,027	9	Senang
à de	<u> </u>	1/6		7				<u> </u>			💯
		615	80,27	0,827	81	79	81	0,683	1,025	0	Senang
		616	92,19	0,396	93	92	92	0,157	1,011	0	Sedih
		617	97,32	0,468	98	97	97	0,219	1,010	0	Sedih
		618	101,61	0,793	102	100	102	0,628	1,02	6 (4)	Sedih
		619	120,75	0,741	123	120	121	0,550	1,025	1	Sedih
		620	112,57	2,765	115	108	115	7,643	1,065	2	Sedih
				•••							
	~	1105	100,49	0,502	101	100	100	0,252	1,01	0	Sedih
	ζ(4)	1106	96,33	6,151	100	84	100	37,834	1,191	0	Marah
,	5/0	1107	96,93	0,791	<b>9</b> 8	96	97	0,6264		5 1	Marah
		1108	98,113	0,512	99	97	98	0,2622	1,021	0	Marah
		1109	95,253	0,499	96	95	95	0,2495	1,010	0	Marah
		1110	95,813	0,689	97	95	96	0,475	1,021	1	Marah
		<b></b>	-57		<		•••		<b>7</b> 7	(	
		1326	99,513	0,872	101	98	100	0,7616	1,031	1	Marah
		>							<b>\$</b> \		

#### 4.4 Klasifikasi Dataset dengan SVM

Setelah ekstraksi fitur, selanjutnya dilakukan klasifikasi pada dataset. Klasifikasi yang pertama dilakukan adalah dengan menggunakan metode SVM. Untuk mendapatkan hasil klasifikasi yang optimal, dilakukan modifikasi parameter C (cost) dan γ (gamma) pada persamaan algooritma SVM. Parameter optimal ditentukan berdasarkan nilai rata-rata akurasi (%) tertinggi yang diperoleh dari 10-fold cross-validation dengan kombinasi nilai parameter yang digunakan yaitu C pada range 2⁻⁵, 2⁻³, ..., 2¹⁵ dan γ pada range 2⁻¹⁵, 2⁻¹³, ..., 2³. Pemilihan range parameter C dan λ tersebut berdasarkan rekomendasi dari Hsu et al. [52]. Skenario klasifikasi yang pertama adalah dengan menggunakan kombinasi fitur dari sinyal

























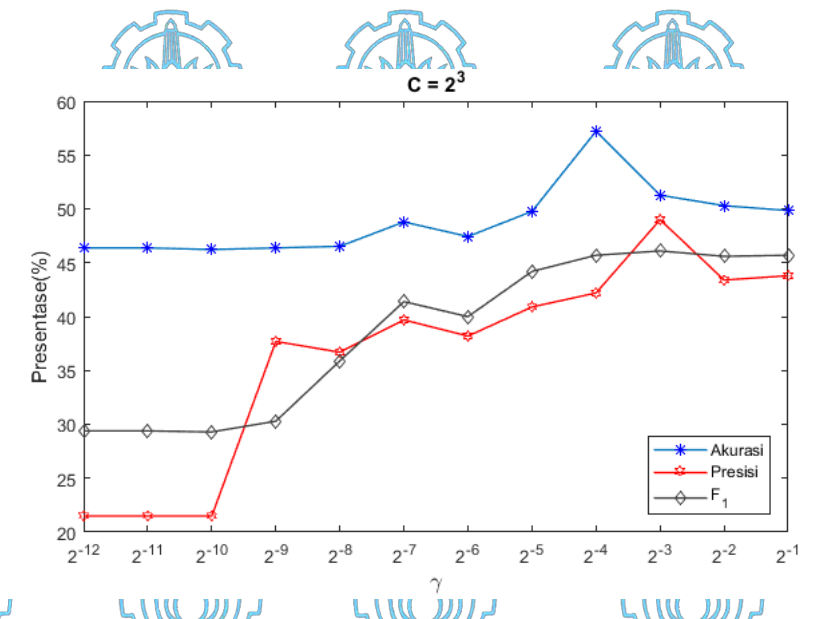


SpO₂ dan Pulse rate yang berjumlah 16 fitur. Sebagai perbandingan, juga dilakukan klasifikasi dengan fitur sinyal SpO₂ dan Pulse rate secara terpisah (8 fitur sinyal SpO₂ dan 8 fitur sinyal PR) juga dengan range parameter C dan γ yang sama.

## 4.4.1 Klasifikasi hanya dengan Fitur Sinyal SpO₂

Pengujian yang pertama dari algoritma SVM dilakukan pada 8 fitur sinyal SpO₂ (SpO₂ $_{\mu}$ , SpO₂ $_{\sigma}$ , SpO₂ $_{maks}$ , SpO₂ $_{min}$ , SpO₂ $_{mo}$ , SpO₂ $_{var}$ , SpO₂ $_{rasio}$ , SpO₂ $_{MAD}$ ). Pengujian klasifikasi ini bertujuan untuk mengetahui pola emosi berdasarkan hasil ekstraksi fitur yang didapatkan pada single sinyal SpO₂. Gambar 4.4 merupakan sampel hasil klasifikasi optimum dari 8 fitur SpO₂ menggunakan SVM dimana skor klasifikasi maksimum pada saat parameter C = 2³ dan  $\gamma$  = 2⁻⁴ yakni sebesar 57,21% (akurasi) dengan presisi 42,2% dan skor F1 45,7%. Namun, skor maksimum pada presisi dan F1 tidak pada saat parameter tersebut. Skor maksimum dari presisi adalah 59,6% pada saat parameter C = 2¹ dengan  $\gamma$  = 2⁻² dan C = 2² dengan  $\gamma$  = 2⁻³. Sedangkan F1 pada saat parameter C = 2⁰ dengan  $\gamma$  = 2⁻² yakni sebesar 47,2%.







Berdasarkan dari hasil pengolahan klasifikasi 8 fitur single sinyal  $SpO_2$  menggunakan SVM menunjukkan fluktuasi skor akurasi, presisi dan skor  $F_1$  seiring dengan perubahan parameter C dan  $\gamma$ . Jika kita lihat, hasil klasifikasi dengan fitur ini dikatakan kurang maksimal baik dari parameter akurasi, presisi dan skor  $F_1$ . Bahkan pada parameter C dan  $\gamma$  tertentu skor klasifikasi turun hingga kurang dari



























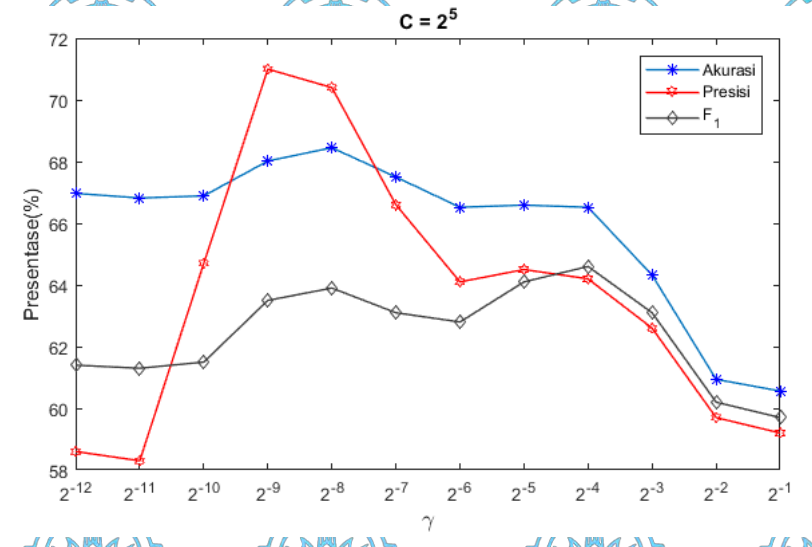


50%, terutama pada presisi yang turun hingga 21,5% pada saat  $C = 2^{-2} - 2^5$  dan  $\gamma = 2^{-7} - 2^{-12}$ . Hasil klasifikasi dari 8 fitur ini menunjukkan peningkatan pada saat parameter C antara  $2^{-2}$  sampai dengan  $2^4$ , sedangkan parameter  $\gamma$  antara  $2^{-1}$  sampai dengan  $2^{-5}$  (Hasil lengkap pada lampiran 4).



## 4.4.2 Klasifikasi dengan Fitur Sinyal Pulse Rate

Skenario klasifikasi kedua adalah pengujian klasifikasi dengan 8 fitur dari sinyal Pulse Rate (PR_μ, PR_σ, PR_{maks}, PR_{min}, PR_{mo}, PR_{var}, PR_{rasio}, dan PR_{MAD}). Sama seperti percobaan klasifkasi pada skenario pertama, eksperimen ini juga dengan modifikasi parameter C dan γ untuk mendapatkan hasil klasifikasi optimal yang dinyatakan dengan parameter akurasi, presisi dan F1 score.



Gambar 4.5 Hasil Klasifikasi 8 fitur dari sinyal pulse rate dengan SVM

Gambar 4.5 merupakan hasil klasifikasi optimum 8 fitur sinyal Pulse rate dimana terjadi pada saat parameter  $C=2^5$  dan  $\gamma=2^{-8}$  dengan skor akurasi 68,48%, presisi 70,4% dan F1 63,9%. Seperti juga halnya pada klasifikasi dengan 8 fitur dari sinyal SpO₂ pada eksperimen sebelumnya, klasifikasi pada eksperimen ini juga menunjukkan bahwa skor tertinggi dari parameter presisi dan F1 tidak pada parameter optimum pada akurasi. Hasil optimum pada presisi adalah sebesar 74,6% pada saat parameter  $C=2^{-2}$  dan  $\gamma=2^{-2}$ , sedangkan F1 pada saat parameter  $C=2^{1}$  dan  $\gamma=2^{-3}$  (65,3%). Selain itu, gambar diatas menunjukkan bahwa semakin besar nilai  $\gamma$  menunjukkan hasil yang semakin turun, namun hal sebaliknya terjadi pada paramater C.





















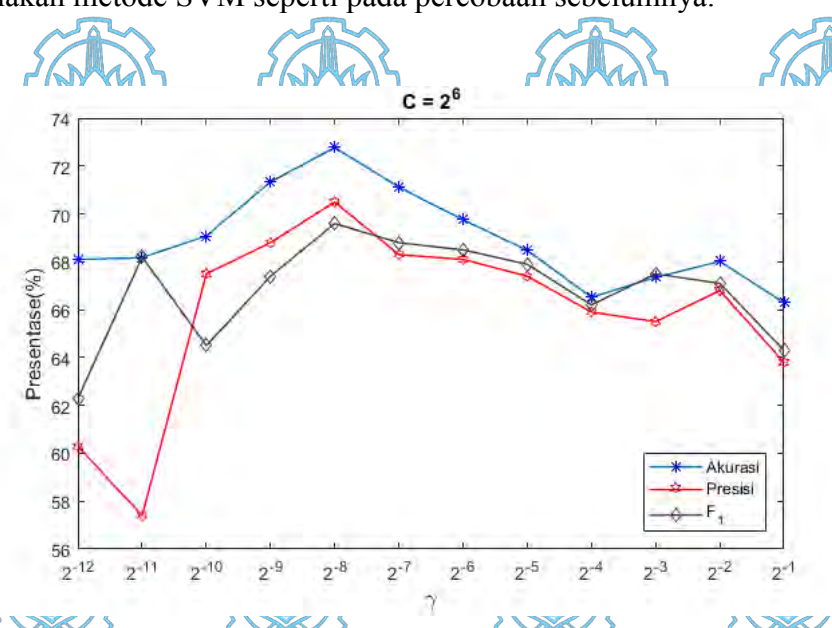




Hasil klasifikasi dengan 8 fitur dari sinyal Pulse rate didapatkan bahwa skor akurasi, presisi dan F1 lebih tinggi daripada hasil klasifikasi dengan 8 fitur dari sinyal SpO₂ (hasil lengkap dipaparkan pada lampiran 5). Hal ini menunjukkan bahwa metode ekstraksi fitur yang digunakan lebih cocok digunakan pada sinyal Pulse rate. Trend fluktuasi dari sinyal yang terlihat dibandingkan dengan sinyal SpO₂ merupakan salah satu alasan metode yang digunakan lebih cocok dan hasil klasifikasi dari Pulse rate yang lebih tinggi dibandingkan dengan fitur-fitur sinyal SpO₂. Selain itu, berdasarkan pada ketiga parameter yang dijadikan patokan (akurasi, presisi dan skor F1), menunjukkan skor hasil klasifikasi lebih dari 50%. Skor akurasi dan F1 terlihat fluktuasinya lebih stabil daripada presisi yang mengalami fluktuasi yang berbeda-beda seiring dengan perubahan parameter C dan



Skenario klasifikasi ketiga adalah klasifikasi sinyal multimodal (kombinasi fitur dari sinyal SpO₂ dan Pulse rate). Sebanyak 16 fitur (SpO_{2 $\mu$}, SpO_{2 $\sigma$}, SpO_{2maks}, SpO_{2min}, SpO_{2mo}, SpO_{2var}, SpO_{2rasio}, SpO_{2maks}, SpO_{2maks}, PR_{$\sigma$}, PR_{$\sigma}$ 



Gambar 4.6. Hasil Klasifikasi 16 Fitur dari Kombinasi Sinyal SpO₂ dan Pulse Rate dengan Metode SVM

















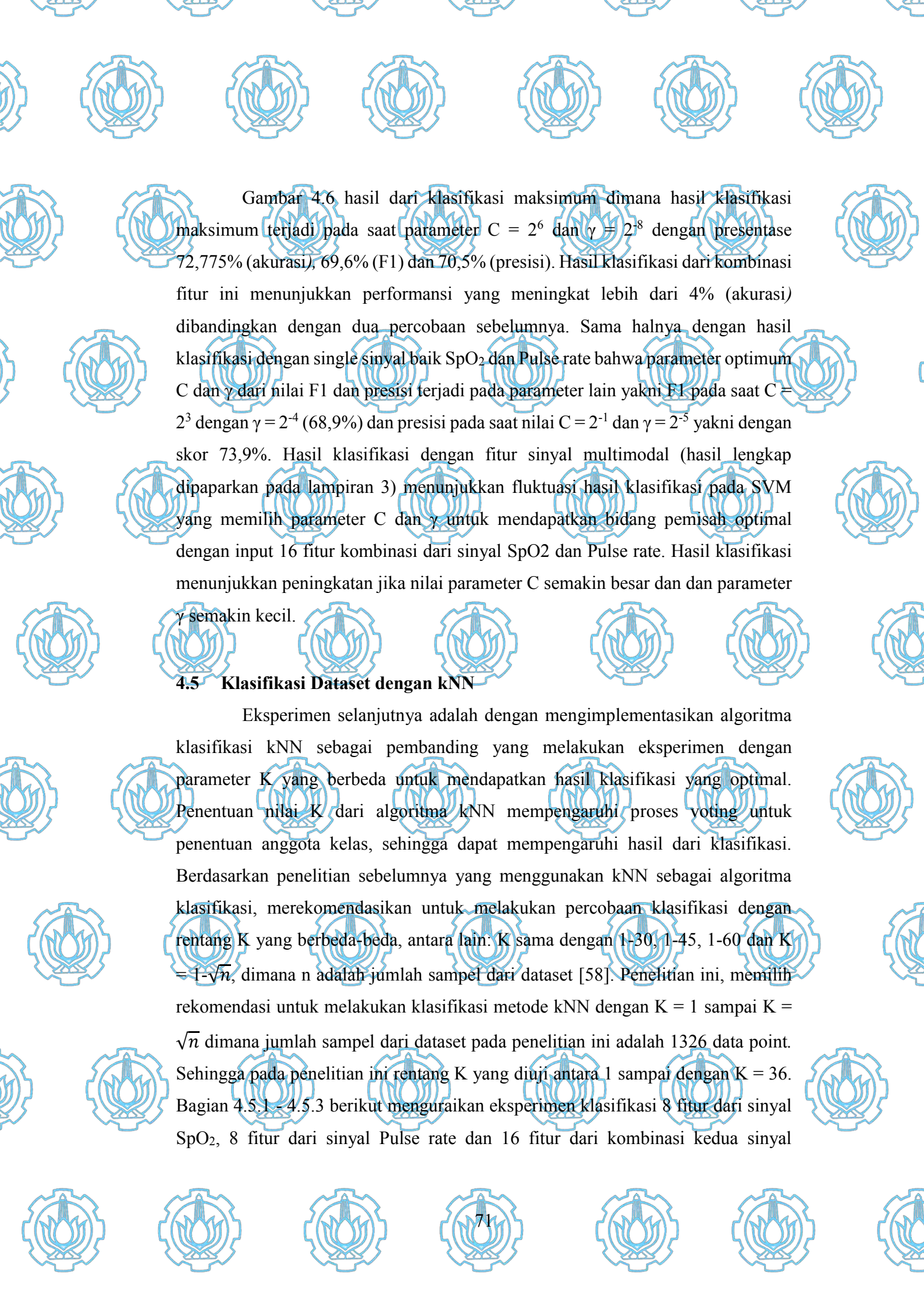




















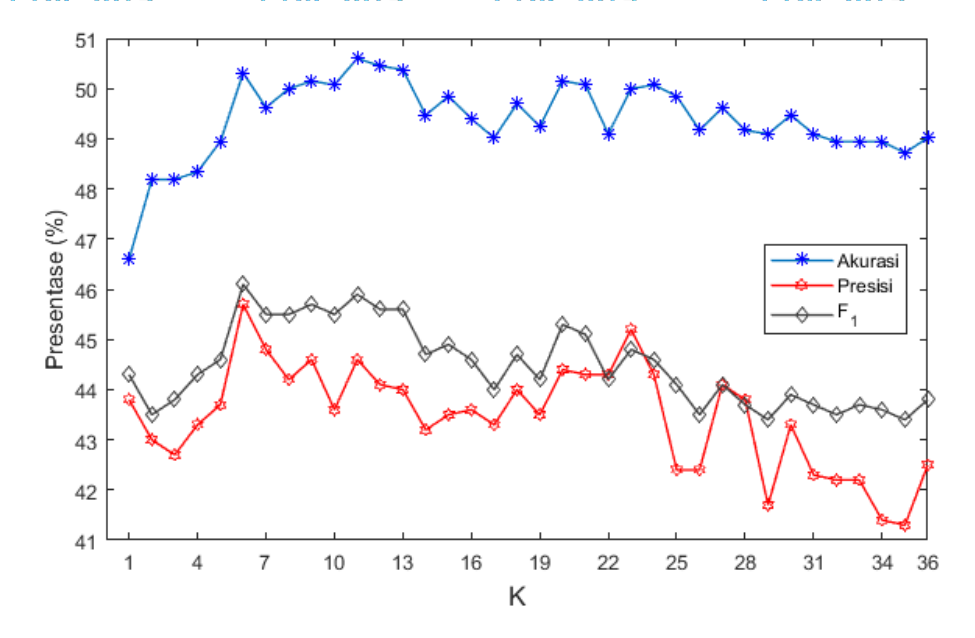




fisiologis tersebut untuk mengenali emosi dasar (senang, sedih dan marah) pada manula dengan menggunakan algoritma kNN yang diusulkan.

## 4.5.1 Klasifikasi dengan Fitur Sinyal SpO₂

Klasifikasi pertama dengan algortima kNN dilakukan pada 8 fitur dari sinyal SpO₂ (SpO_{2μ}, SpO_{2σ}, SpO_{2maks}, SpO_{2min}, SpO_{2mo}, SpO_{2var}, SpO_{2rasio}, SpO_{2MAD}). Performansi metode yang diusulkan direpresentasikan berdasarkan parameter akurasi, presisi dan F1 score ditunjukkan pada gambar berikut.



Gambar 4.7. Hasil klasifikasi 8 fitur dari sinyal SpO₂ dengan kNN

Seperti halnya klasifikasi fitur  $SpO_2$  dengan menggunakan SVM di atas, klasifikasi dengan menggunakan kNN juga masih dalam kategori hasil yang rendah, yakni 50,603% (akurasi), 44,6% (presisi) dan 46,1% (F1) seperti yang ditunjukkan pada gambar 4.7 di atas. Hasil ini lebih kecil dibandingkan dengan hasil klasifikasi menggunakan metode SVM. Selain itu, performansi optimum dari akurasi, presisi dan F1 juga dengan K yang berbeda. Performansi optimum pada parameter akurasi pada saat K = 11 (50,603%), presisi pada saat K = 6 (45,7%) dan skor F1 pada saat K = 6 (46,1%). Dari gambar 4.7 menunjukkan bahwa perubahan presentase hasil dari hasil klasifikasi dengan K = 1 sampai dengan K = 36 menunjukkan perubahan yang tidak terlalu signifikan. Namun untuk parameter akurasi, hasil klasifikasi menunjukkan peningkatan dari K = 1 ke K = 10. Setelah parameter K tersebut, hasil klasifikasi menjadi lebih stabil (naik turun yang tidak terlalu signifikan).























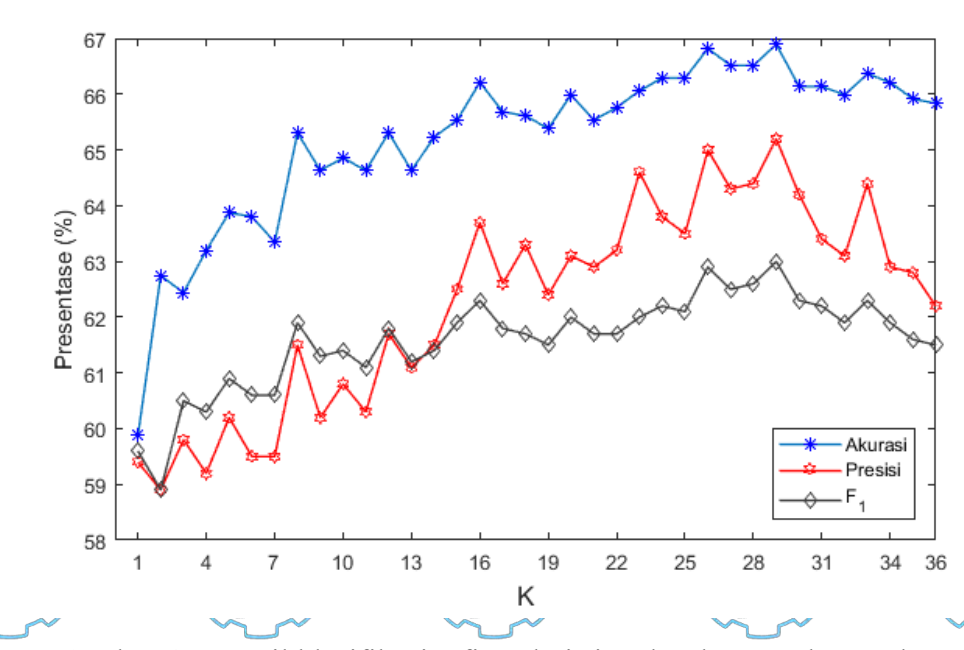




### 4.5.2 Klasifikasi dengan Fitur Sinyal Pulse Rate

Skenario kedua dari eksperimen dengan menggunakan kNN adalah dengan input 8 fitur dari sinyal Pulse rate (PR_μ, PR_σ, PR_{maks}, PR_{min}, PR_{mo}, PR_{var}, PR_{rasio}, dan PR_{MAD}). Gambar 4.8 berikut menunjukkan performansi dari metode usulan yang direpresentasikan berdasarkan parameter akurasi, presisi dan skor F1.





Gambar 4.8. Hasil klasifikasi 8 fitur dari sinyal Pulse rate dengan kNN

Klasifikasi dengan input 8 fitur dari sinyal pulse rate menggunakan kNN juga mengalami kenaikan dibandingkan dengan menggunakan input 8 fitur sinyal SpO₂ (sama halnya klasifikasi dengan menggunakan metode SVM). Gambar 4.8 merupakan visualisasi performansi dari metode pembanding dimana klasifikasi optimum terjadi pada saat K = 29 baik akurasi, presisi dan F1, yakni 66,893% (akurasi), 65,2% (presisi) dan 63% (F1). Hasil ini meningkat lebih dari 16% dibandingkan dengan input 8 sinyal SpO₂ pada eksperimen pertama menggunakan kNN mi, Selain itu, percobaan dari K = 1 sampai 16 (akurasi dan presisi) mengalami peningkatan lebih dari 5%. Namun setelah itu, hasil klasifikasi dikatakan stabil (naik turun yang tidak terlalu signifikan). Sedangkan skor F1 mengalami fluktuasi yang signifikan dari K=1 hingga K=36.



Selanjutnya adalah skenario klasifikasi kombinasi 16 fitur sinyal SpO₂ dan Pulse rate (SpO₂_μ, SpO₂_σ, SpO₂_{maks}, SpO₂_{min}, SpO₂_{mo}, SpO₂_{var}, SpO₂_{rasio}, SpO₂_{MAD},



















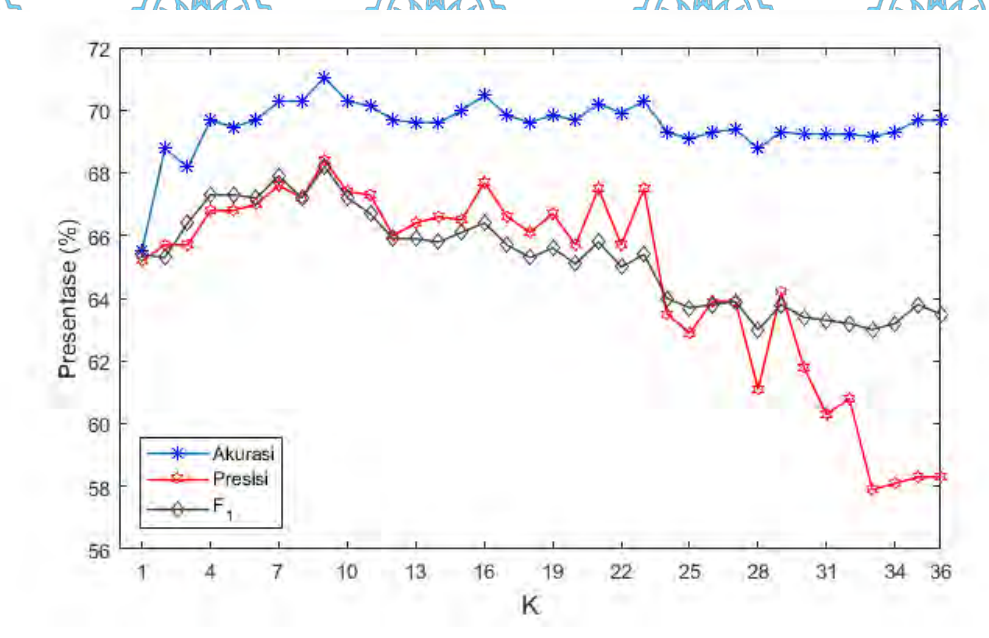








PR_μ, PR_σ, PR_{maks}, PR_{min}, PR_{mo}, PR_{var}, PR_{rasio}, dan PR_{MAD}). Berikut adalah grafik hasil dari klasifikasi 16 fitur-fitur tersebut dengan menggunakan metode k-NN:





Gambar 4.9 menunjukkan klasifikasi optimum terjadi pada saat K = 9, yakni dengan akurasi 71,041%, presisi 68,4% dan skor F1 68,2%. Hasil optimum dari ketiga parameter ini terjadi pada saat nilai K yang sama. Seperti pada klasifikasi menggunakan metode SVM, hasil klasifikasi dengan fitur kombinasi sinyal SpO₂ dan pulse rate lebih besar (meningkat lebih dari 4%) dibandingkan dengan menggunakan fitur single sinyal fisiologi (Sinyal SpO₂ ataupun pulse rate). Selain itu, hasil dari parameter akurasi, presisi dan skor F1 meningkat dari K=1 ke K=7. Setelah itu, hasil klasifikasi lebih stabil (adapun terdapat kenaikan dan penurunan tidak menunjukkan perbedaan yang signifikan). Namun, kondisi anomali terjadi pada K > 23, dimana hasil dari parameter presisi dan skor F1 mengalami penurunan yang cukup signifikan.



#### 4.6 Analisa Hasil Keseluruhan dan Diskusi

Metode usulan seperti yang dijelaskan pada Bab III diuji untuk mengenali atau mendeteksi tiga emosi dasar pada Manula, yakni senang, sedih dan marah. Berdasarkan pada eksperimen yang telah dilakukan, dimana dilakukan eksperimen













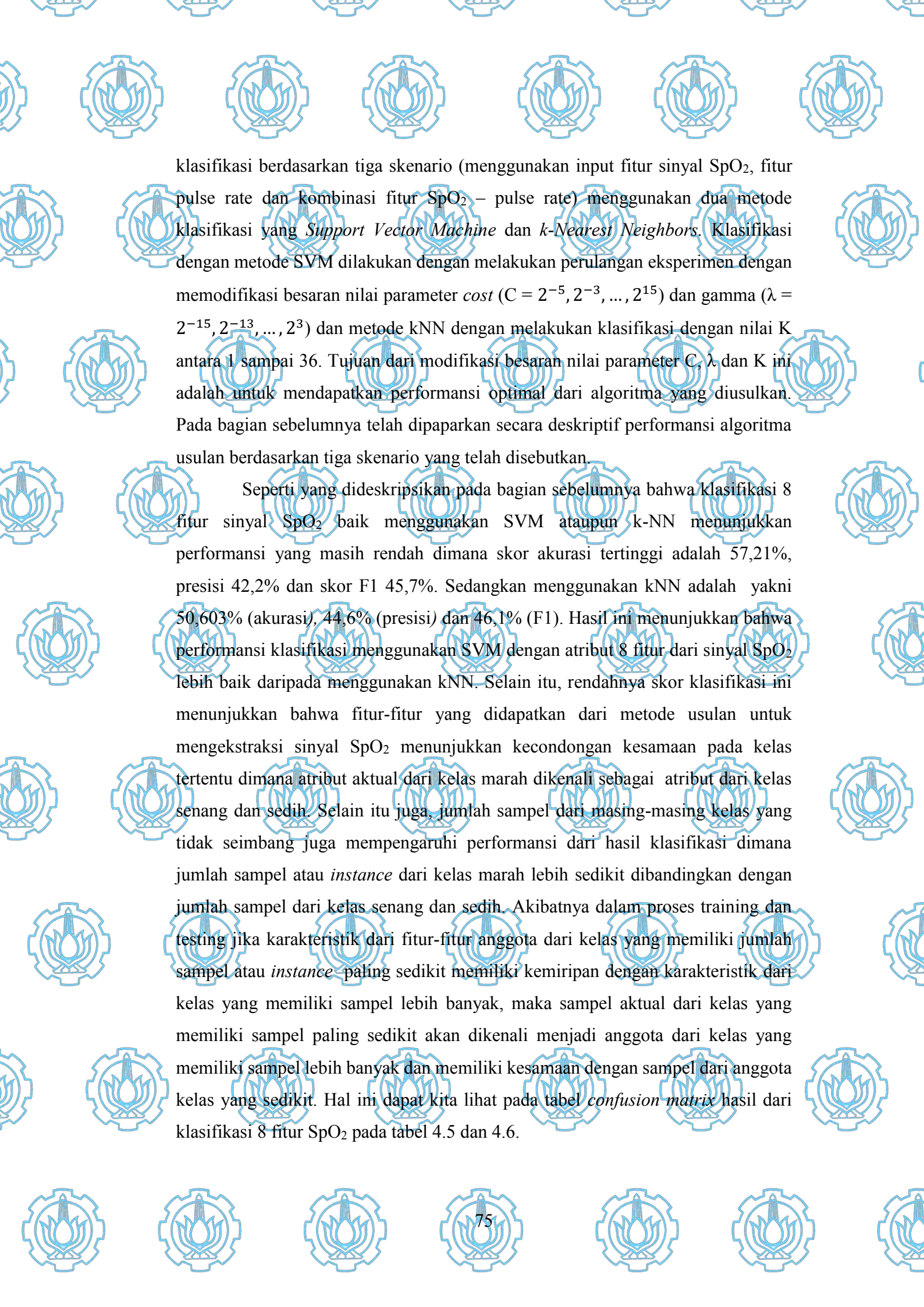
























Tabel 4.5. Tabel Confusion Matrix Klasifikasi Menggunakan Metode SVM

L						
					Kelas Predik	si
				Senang	Sedih	Marah
			Senang	470	145	
		$\mathrm{SpO}_2$	Sedih	280	209	1
			Marah	139	82	0
						ā
	Kelas		Senang	477	135	3
	Aktual	PR	Sedih	[(\(\)701)]	418	
	AKtuai		Marah	63	145	13
					~~_	<u> </u>
			Senang	529	72	14
L		SpO ₂ -PR	Sedih	71	403	16
			Marah	529	72	14
	<b>5)</b> ]			ם כות	בועצען	



					Kelas Predik	si
				Senang	Sedih	Marah
		SpO ₂	Senang Sedih Marah	465 275 140	202 77	18
	Kelas		Senang	472	138	5
	Aktual	PR	Sedih	78	398	14
7	Aktuai		Marah	67	137	17
TH				7(4	<u> </u>	2(4)
			Senang	519	<b>2017</b>	5/19/5
<b>*</b>		SpO ₂ -PR	Sedih	81	388	21
			Marah	69	117	35

Sejalan dengan performansi pada klasifikasi dengan 8 fitur sinyal SpO₂, performansi SVM juga lebih baik dibandingkan kNN pada skenario eksperimen kedua yakni klasifikasi 8 fitur sinyal Pulse rate dimana akurasi optimum dari SVM adalah 68,48%, presisi 70,4% dan F1 63,9% sedangkan skor klasifikasi optimum pada kNN adalah akurasi 66,893%, dengan presisi 65,2% dan skor F1 63%. Performansi SVM lebih baik daripada kNN disebabkan nilai TP dari kelas senang dan sedih lebih besar daripada klasifikasi dengan kNN seperti yang ditunjukkan pada tabel 4.5 dan 4.6, sebaliknya pada kelas marah menunjukkan nilai yang lebih



















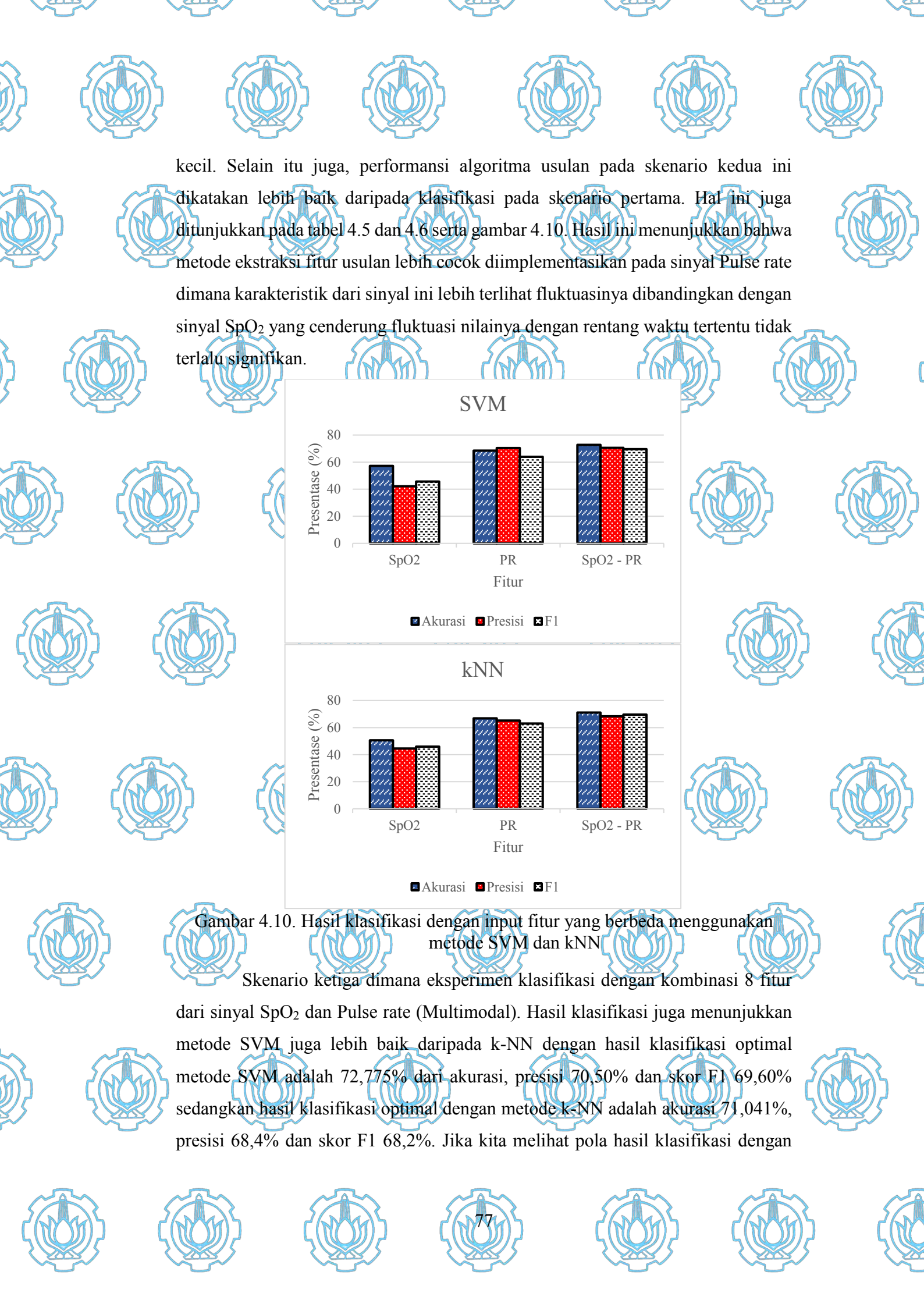
























metode usulan seperti yang ditunjukkan pada gambar 4.10 menunjukkan bahwa klasifikasi dengan fitur kombinasi (SpO₂–PR) dapat meningkatkan performansi dari algoritma klasifikasi dibandingkan dengan klasifikasi dengan single sinyal fisiologis baik dengan menggunakan SVM ataupun kNN. Hal ini memberikan kesimpulan bahwa fitur-fitur yang lebih banyak dan detail dapat meningkatkan performansi dari algoritma klasifikasi. Selain itu, implementasi SVM dengan memodifikasi dan memilih parameter C dan \( \lambda \) optimal memberikan dampak signifikan terhadap performansi klasifikasi dari SVM. Modifikasi ini adalah rekomendasi dari penelitian yang dilakukan oleh Hsu et al. [52] dimana modifikasi parameter C dan  $\lambda$  ini bertujuan untuk mencari bidang pemisah (hyperplane) terbaik dengan memperbesar nilai margin dan mengoptimalkan konstrain dimana memperbesar margin artinya memperbesar paramter C (cost) sedangkan mengoptimalkan konstrain berarti memperkecil nilai dari parameter  $\lambda$  (gamma). Rekomendasi dari Hsu et al. [52] terbukti dapat meningkatkan performansi klasifikasi dari metode SVM. Sedangkan pada k-NN, percobaan klasifikasi dengan mencari parameter K optimal dari 1 hingga 36 juga dapat mempengaruhi performansi dari metode kNN.





# 4.7 Analisa Pola Klasifikasi Per Subjek

Metode segmentasi ukuran window sinyal atau *window size* pada penelitian ini mengakibatkan satu dataset dari masing-masing data partisipan di tiap emosi mempunyai beberapa sampel atau *instance*. Tiap emosi (senang, sedih dan marah) per partisipan terdiri beberapa sampel sub-segmen sinyal dan diekstraksi dengan 8 parameter statistik. Oleh karena itu, dilakukan klasifikasi per subjek untuk mengetahui pola klasifikasi dari tiga skenario seperti pada eksperimen sebelumnya. Hal ini juga untuk membuktikan apakah fitur kombinasi (SpO₂-PR) juga dapat meningkatkan performansi dari metode usulan atau tidak. Oleh karena itu, dari eksperimen yang dilakukan dengan menggunakan metode SVM dan kNN menunjukkan bahwa 15 dari 18 partisipan menunjukkan hasil klasifikasi menunjukkan performansi yang lebih baik jika menggunakan fitur sinyal kombinasi (SpO₂-PR) atau lebih dikenal multimodal. Bahkan hasil klasifikasi fitur kombinasi











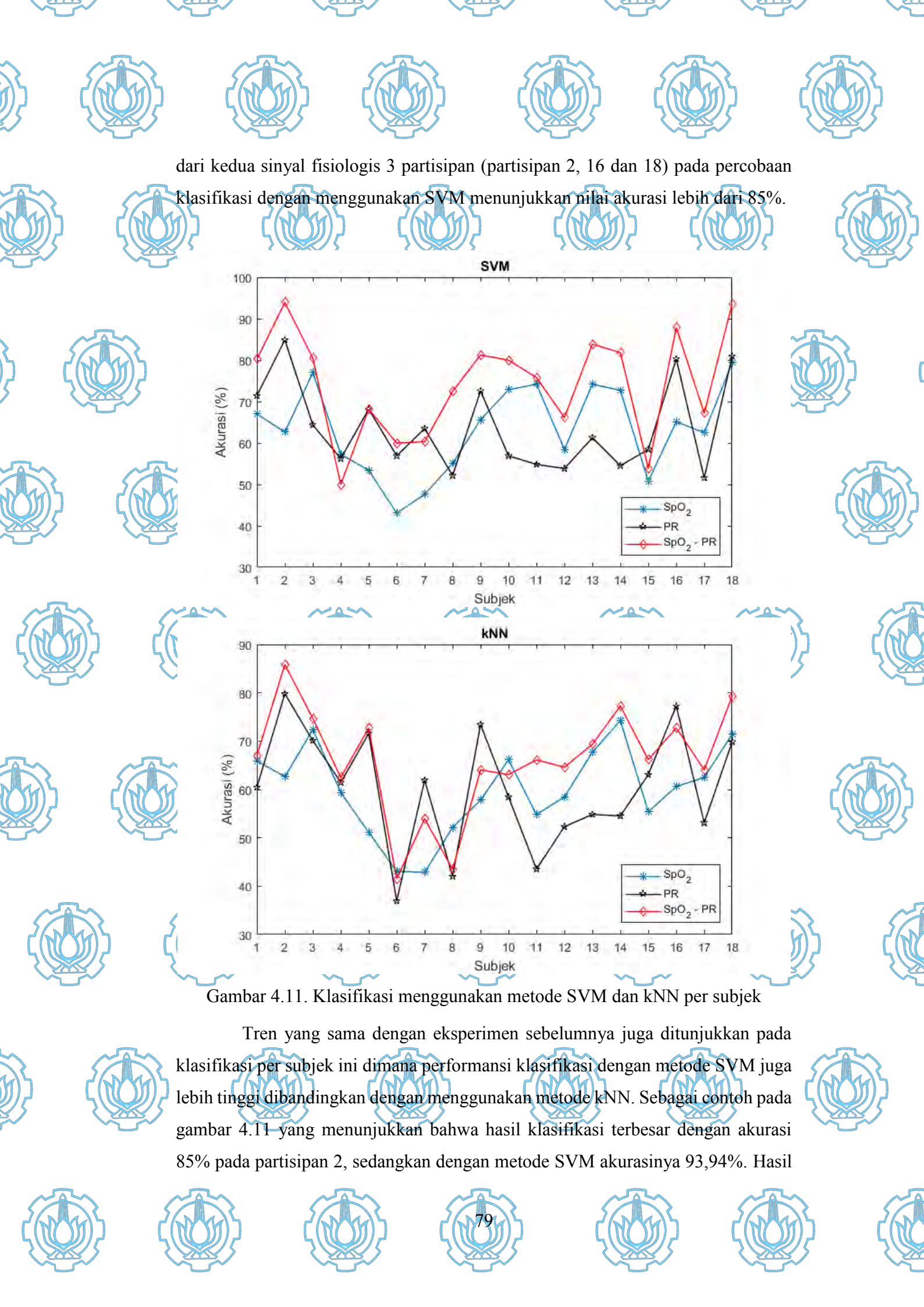
























akurasi yang tinggi dari percobaan klasifikasi per subjek ini mengindikasikan bahwa pola berbeda yang ditunjukkan pada masing-masing emosi dengan metode pengenalan atau deteksi emosi yang diusulkan. Selain itu juga mengindikasikan bahwa video stimulan dapat menginduksi partisipan tersebut dengan baik. Berdasarkan pantauan saat pengambilan data, para partisipan yang menunjukkan nilai akurasi yang bagus, responsif pada saat distimulasi dengan video stimulan. Hal ini dibuktikan bahwa mereka tertawa pada saat stimulasi video senang, beberapa partisipan menangis pada saat stimulasi video sedih dan merasa jengkel dan marah pada saat stimulasi video marah. Hasil pengamatan ini juga didukung dengan hasil dari pengisian kuisioner dimana mereka memberikan skor 8 dari masing-masing emosi (range penilaian konfirmasi emosi yang dirasakan antara 0-





### 4.8 Analisa Perbandingan dengan Penelitian Terkait

Penelitian mengenai pengenalan atau deteksi emosi menjadi topik bahasan baru yang banyak dikaji oleh para peneliti, akademisi dan praktisi, baik menggunakan single-modal ataupun multimodal. Namun masih sangat minim yang memanfaatkan sinyal SpO₂ dan Pulse rate untuk mendeteksi atau mengenali pola emosi. Pemanfaatan sinyal SpO₂ dalam bidang penelitian pengenalan atau deteksi namun dengan dimanfaatkan oleh emosi beberapa peneliti mengkombinasikannya dengan jenis sinyal fisiologis yang lainnya atau biasa yang disebut multimodal, seperti yang dilakukan oleh Wen et al. [25], Huang et al. [26] dan Begum et al. [27]. Performansi metode yang mereka lakukan menunjukkan hasil yang lebih baik dibandingkan dengan penelitian ini. Sedangkan pemanfaatan sinyal Pulse rate hanya dilakukan oleh Marzuki et al. [28] dimana pada penelitian tersebut hanya menggunakan single sinyal Pulse rate saja Performansi metode usulan dari penelitian ini lebih baik daripada penelitian yang dilakukan oleh Marzuki et al. [28]. Namun hal ini tak bisa dijadikan bahan pembanding, karena dataset yang digunakan berbeda dengan penelitian ini. Selain itu, jenis sinyal fisiologis yang digunakan dan umur dari partisipan juga berbeda. Untuk deskripsi secara detail ditunjukkan pada tabel 4.7 berikut.











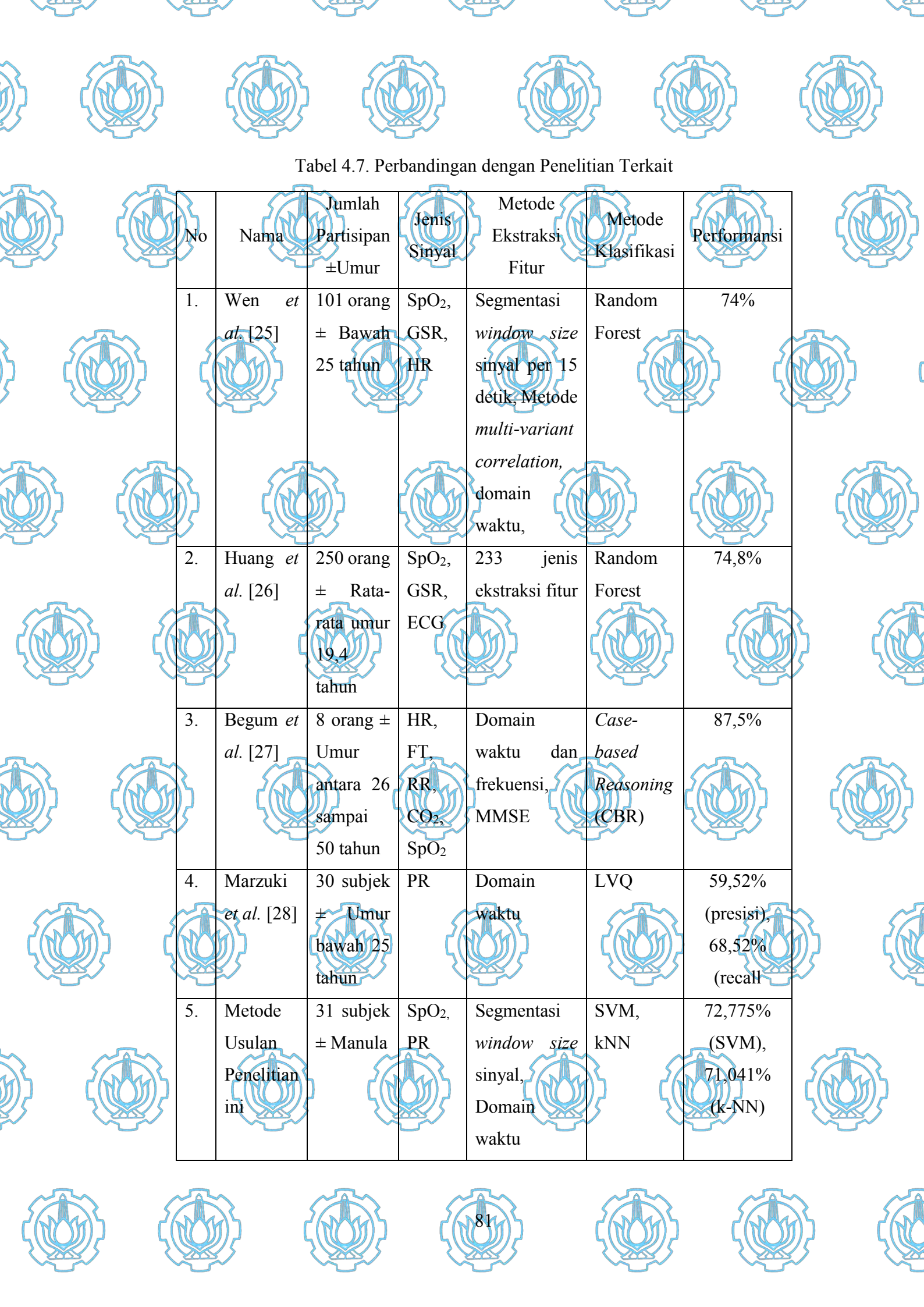


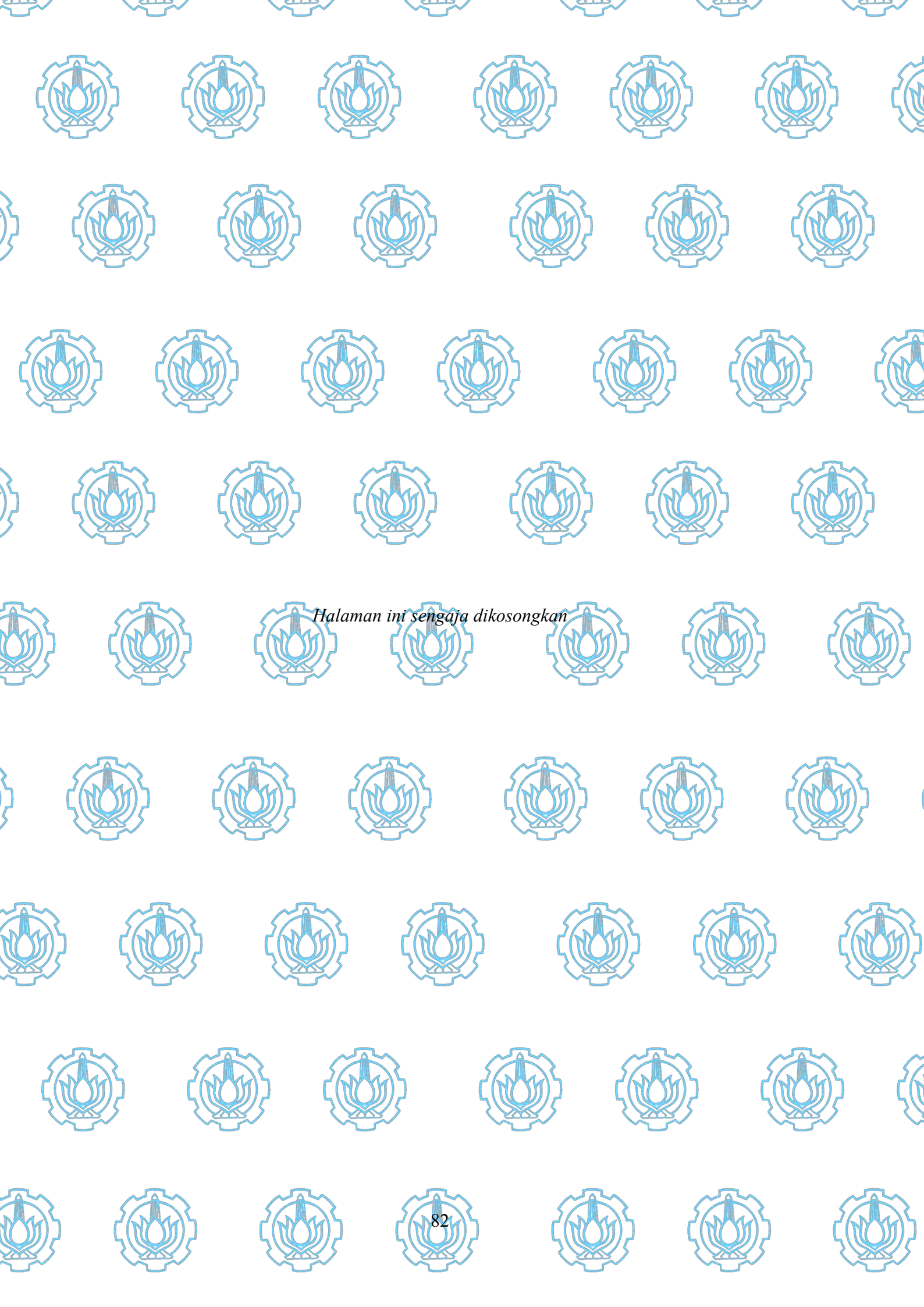


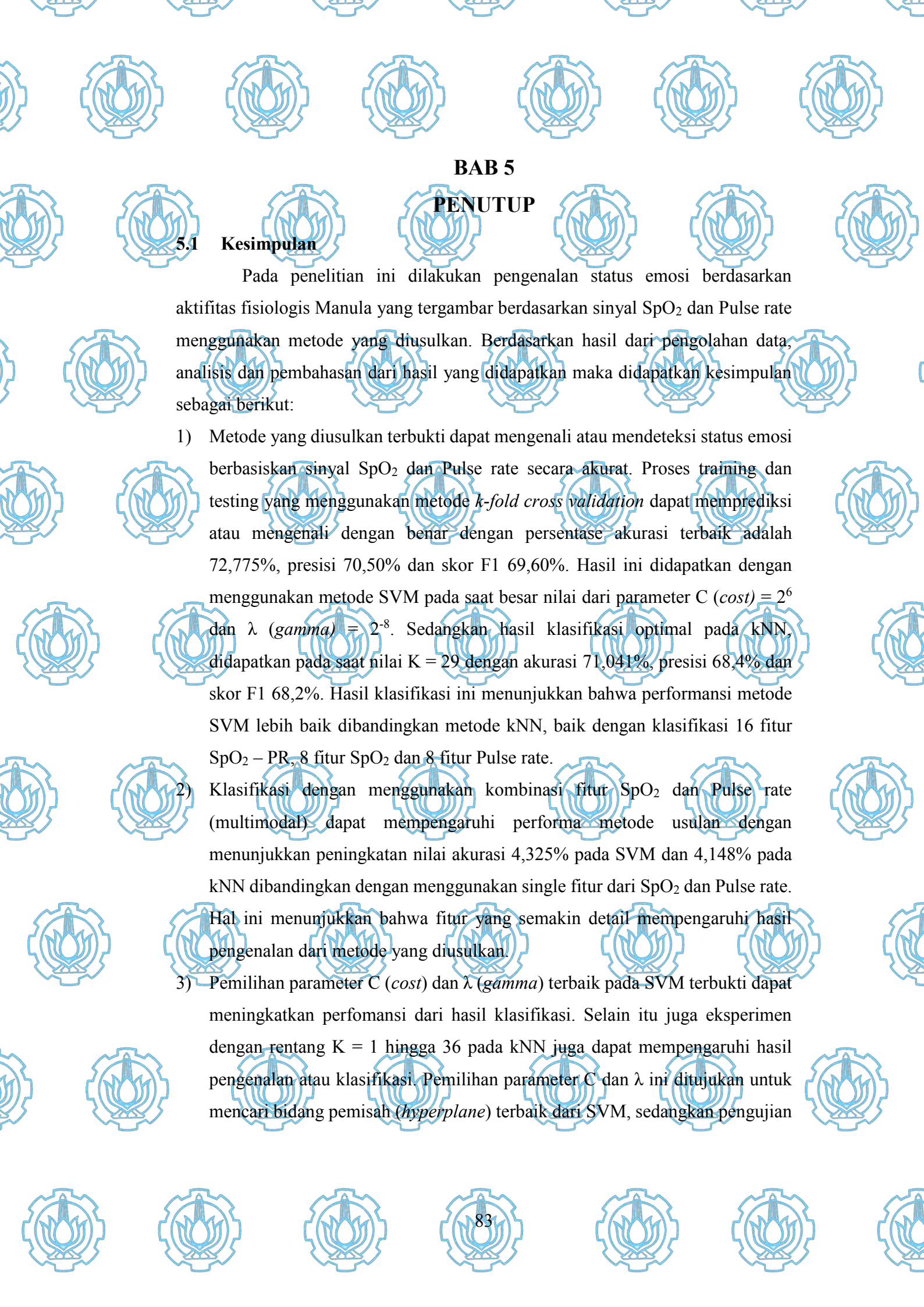
















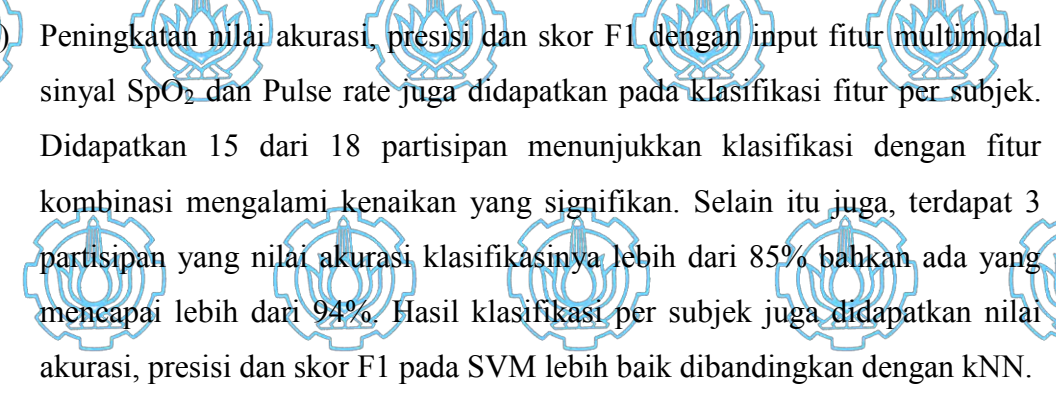








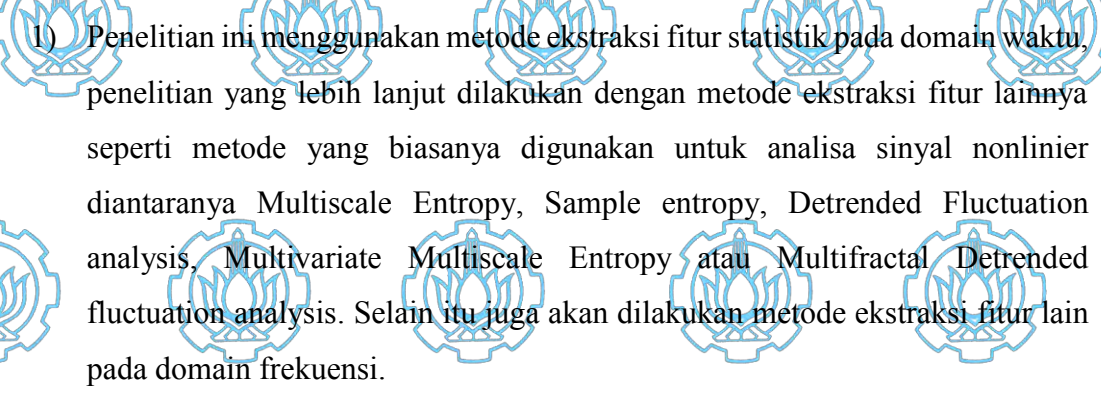
K yang berbeda bertujuan untuk mencari hasil voting terbaik pada kNN dalam penentuan tetangga terdekatnya.

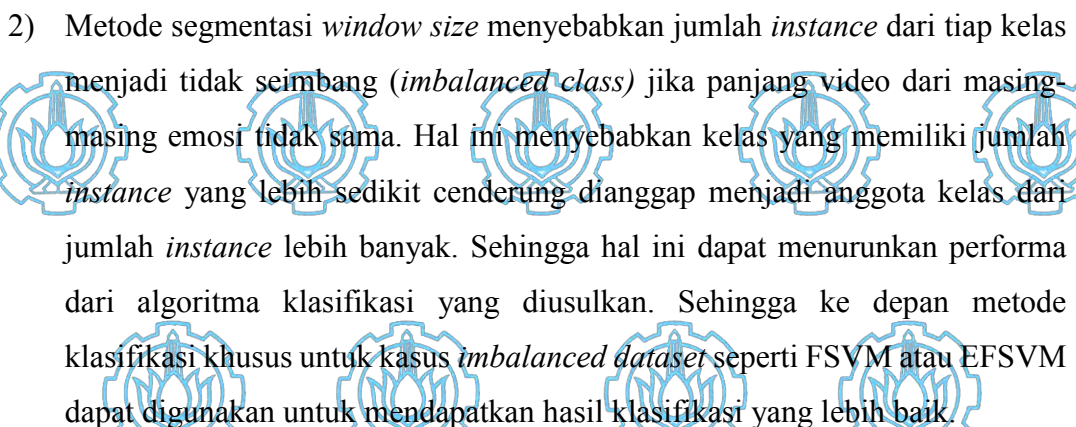






Berdasarkan hasil analisa dari eksperimen, pengolahan data dan analisa hasil dari penelitian yang telah dilakukan serta kesimpulan yang didapatkan, diperoleh beberapa hal yang dijadikan pertimbangan untuk eksplorasi pada penelitian selanjutnya, diantaranya:



































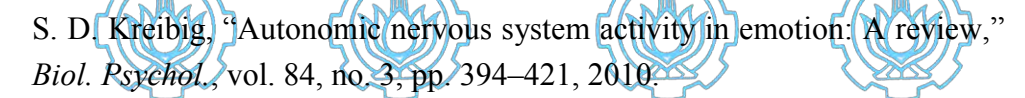






## DAFTAR PUSTAKA







[2] L. Sherwood, *Human Physiology: From Cells to System*, Seventh., vol. 28, no. 3. Canada: Yolanda Cassio, 2010.



[3] A. K. Uskul and A. B. Horn, "Emotions and Health," *International encyclopaedia of social and behavioral sciences*. pp. 1–24, 2015.



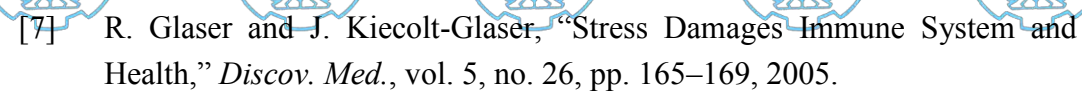
[4] L. S. Berk, D. L. Felten, S. A. Tan, B. B. Bittman, and J. Westengard, "Modulation of Neuroimmune Parameters during the Eustress of Humorassociated Mirthful Laughter," *Altern. Ther. Health Med.*, vol. 7, no. 2, pp. 62–76, 2001.



[5] J. F. Brosschot and J. F. Thayer, "Heart Rate Response is Longer after Negative Emotions than after Positive Emotions," *Int. J. Psychophysiol.*, vol. 50, no. 3, pp. 181–187, 2003.

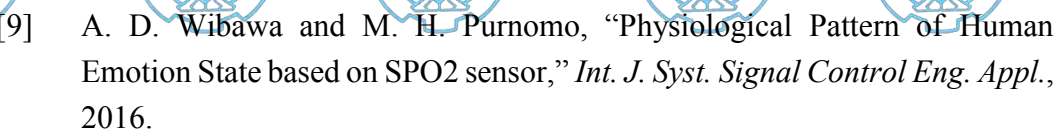


[6] S. Cohen and S. D. Pressman, "Positive Affect and Health," Curv. Dir. Psychol. Sci., vol. 15, no. 3, pp. 122–125, 2006.





[8] A. D. Wibawa, M. H. Purnomo, A. Marzuki, and L. D. Rumpa, "Physiological Pattern of Human State Emotion based on ECG and Pulse Sensor," J. Theor. Appl. Inf. Technol., vol. 93, pp. 81–87, 2016.





- [10] S. D. Pressman and S. Cohen, "Does positive affect influence health?," *Psychol. Bull.*, vol. 131, no. 6, pp. 925–971, 2005.
- [11] B. E. Kok *et al.*, "How Positive Emotions Build Physical Health: Perceived Positive Social Connections Account for the Upward Spiral Between Positive Emotions and Vagal Tone," *Psychol. Sci.*, vol. 24, no. 7, pp. 1123–1132, 2013.





























- [13] A. Mert and A. Akan, "Emotion recognition from EEG signals by using multivariate empirical mode decomposition," *Pattern Anal. Appl.*, vol. 21, no. 1, pp. 81–89, 2018.
- [14] Y. Zhang, X. Ji, and S. Zhang, "An approach to EEG-based emotion recognition using combined feature extraction method," *Neurosci. Lett.*, vol. 633, pp. 152–157, 2016.



- [16] P. Gong, H. T. Ma, and Y. Wang, "Emotion recognition based on the multiple physiological signals," 2016 IEEE Int. Conf. Real-time Comput. Robot, pp. 140–143, 2016.
- [17] F. Canento, A. Fred, H. Silva, H. Gamboa, and A. Lourenço, "Multimodal Biosignal Sensor Data Handling for Emotion Recognition," pp. 1–4, 2011.
- [18] K. Gouizi, F. B. Reguig, and C. Maaoui, "Emotion recognition from physiological signals," *J. Med. Eng. Technol.*, vol. 35, no. 6–7, pp. 300–307, 2011.
- [19] A. Jubran, "Pulse oximetry," Crit. Care, vol. 19, no. 1, pp. 1–7, 2015.
- [20] M. Nitzan, A. Romem, and R. Koppel, "Pulse oximetry: Fundamentals and Technology Update," *Med. Devices Evid. Res.*, vol. 7, no. 1, pp. 231–239, 2014
- [21] B. Koley and D. Dey, "On line Detection of Apnea / Hypopnea Events Using SpO 2 Signal: A Rule - based Approach Employing Binary Classifier Models," no. c, pp. 1–8, 2013.
- [22] B. Xie and H. Minn, "Real-time sleep apnea detection by classifier combination," *IEEE Trans. Inf. Technol. Biomed.*, vol. 16, no. 3, pp. 469–477, 2012.
- [23] P. Lévy, J. L. Pépin, C. Deschaux-Blanc, B. Paramelle, and C. Brambilla, "Accuracy of oximetry for detection of respiratory disturbances in sleep apnea syndrome," *Chest*, vol. 109, no. 2, pp. 395–399, 1996.
- [24] Q.-V. Nguyen, R. Le Page, J.-M. Goujon, P. Guyader, and M. Billon, "Pulse Rate Analysis in Case of Central Sleep Apnea: A New Algorithm for Cardiac Rate Estimation," *Proc. 31st Annu. Int. Conf. IEEE Eng. Med. Biol. Soc.*, vol. 2009, pp. 5490–5493, 2009.

















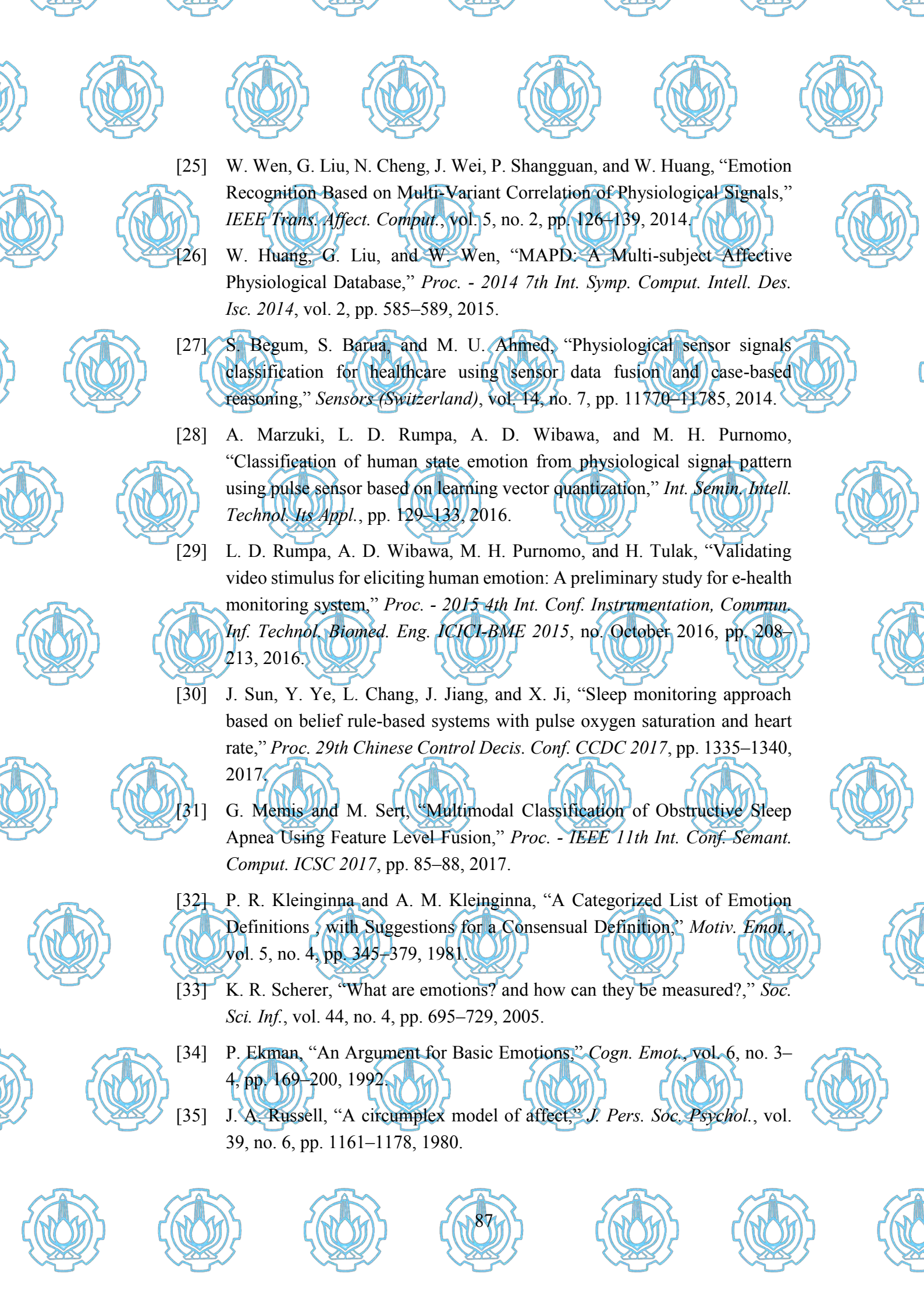
























- [36] R. Bott, Guyton and Hall Textbook of Medical Physiology 13ed, no. 1. 2014.
- [37] T. Tamura and W. Chen, Seamless healthcare monitoring: Advancements in wearable, attachable, and invisible devices. Cham: Springer International Publishing AG, 2018.



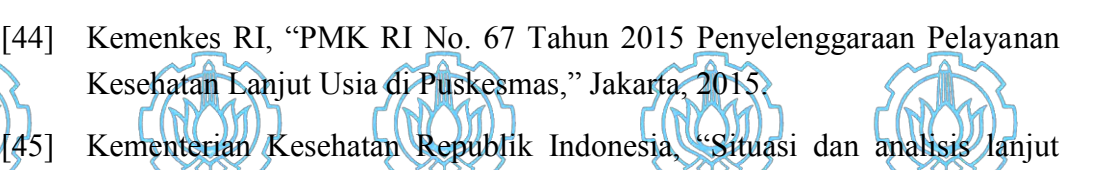
- [38] S. Walsh and E. King, *Pulse Diagnosis : A Clinical Guide*. Sidney: Churchill Livingstone Elsevier, 2007.
- [39] L.-E. Copstead and J. Banasik, *Pathophysiology*, Fifth, Beijing: Elsevier Inc., 2014.
- [40] J. A. Myers, K. W. Milikan, and T. J. Saclarides, *Common Surgical Diseases*, Second. Chicago: Springer, 2008.
- [41] Cooking hacks, "e-Health Sensor Platform V2.0 for Arduino and Raspberry Pi [Biometric / Medical Applications]," (2016) [Online]. Available: https://www.cooking-hacks.com/documentation/tutorials/ehealth-biometric-sensor-platform-arduino-raspberry-pi-medical/.



[42] K. M. Sensing, "How to Read SpO2." Konica Minolta, 2006.

Makara, Kesehat., vol. 10, no. 1, pp. 47–53, 2006.

[43] World Health Organization, "Proposed working definition of an older person in Africa for the MDS Project," *Health statistics and information systems*, 2002. [Online]. Available: http://www.who.int/healthinfo/survey/ageingdefnolder/en/.



- usia," *Jakarta Selatan*. pp. 1–7, 2014.

  [46] Fatmah, "Respons imunitas yang rendah pada tubuh manusia usia lanjut,"
- [47] K. S. Quigley, K. a Lindquist, and L. F. Barrett, "Inducing and Measuring Emotion and Affect: Tips, Tricks, and Secrets," in *Handbook of Research Methods in Social and Personality Psychology: Second Edition*, New York: Cambride University Press, 2013, pp. 220–250.
- [48] J. Rottenberg, R. D. Ray, and J. J. Gross, *Emotion Elicitation Using Films*. New York: Oxford University Press, 2007.
- [49] V. Vapnik and C. Cortes, "Support Vector Networks," *Mach. Learn.*, vol. 20, no. 3, pp. 273–297, 1995.





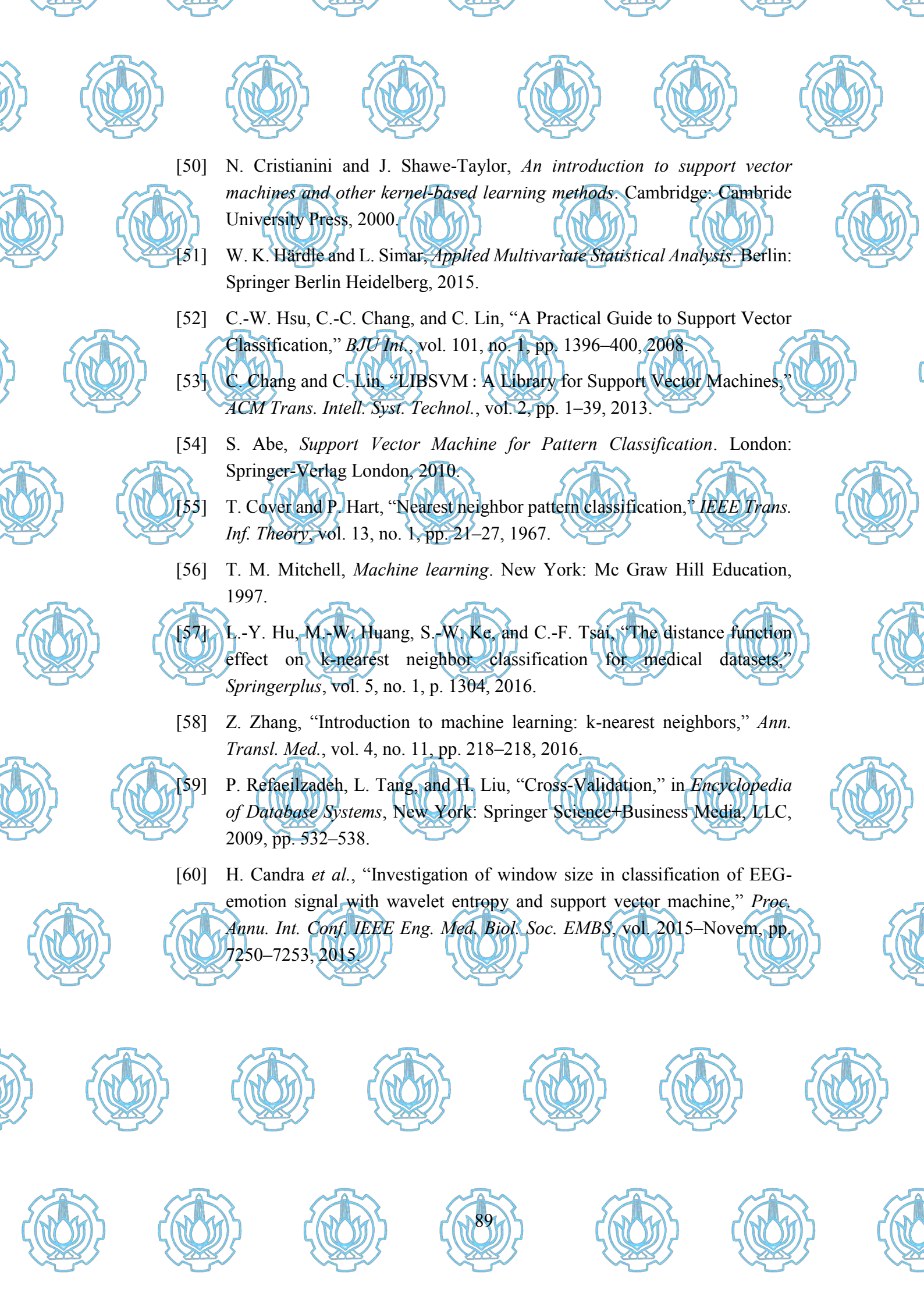


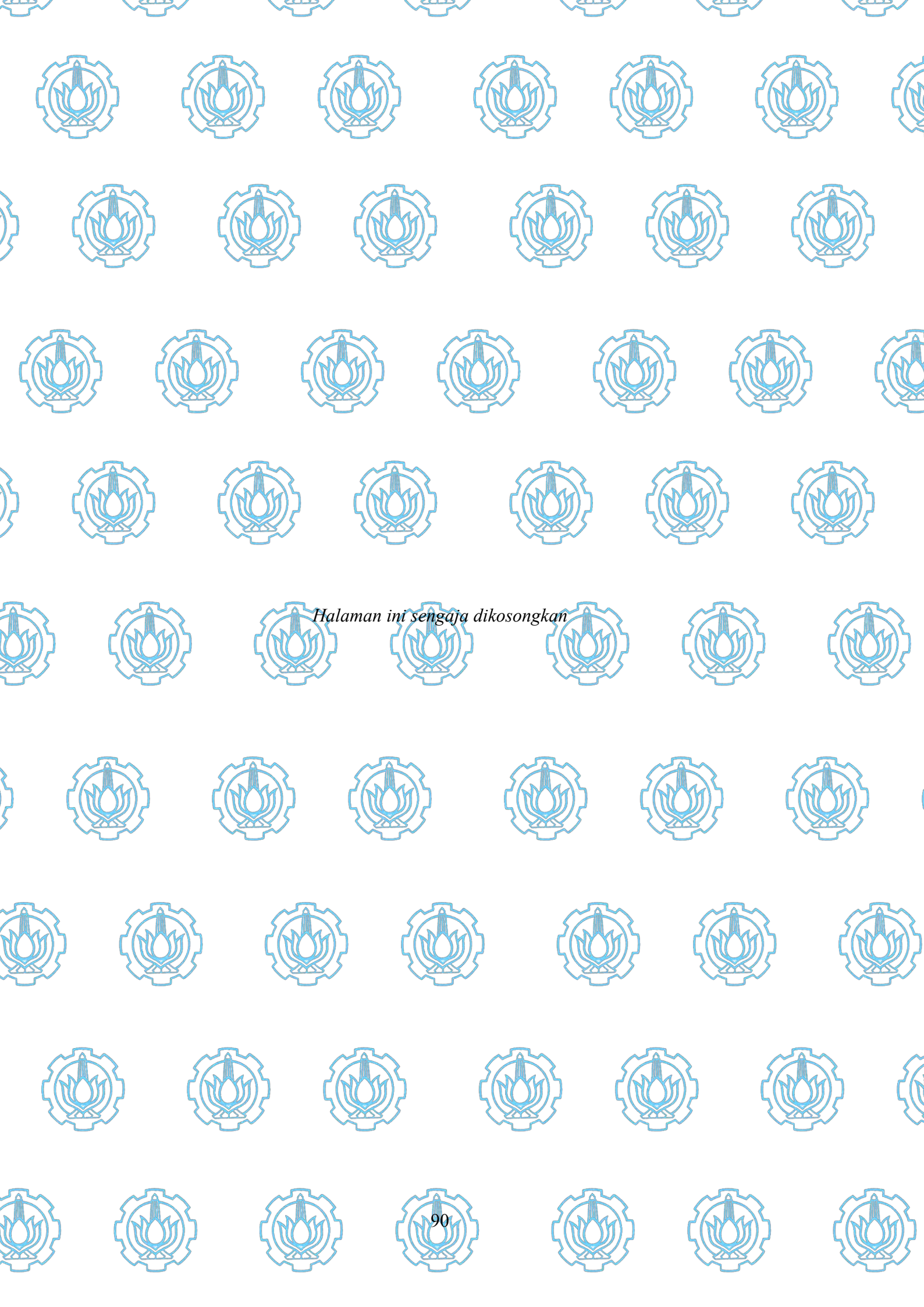


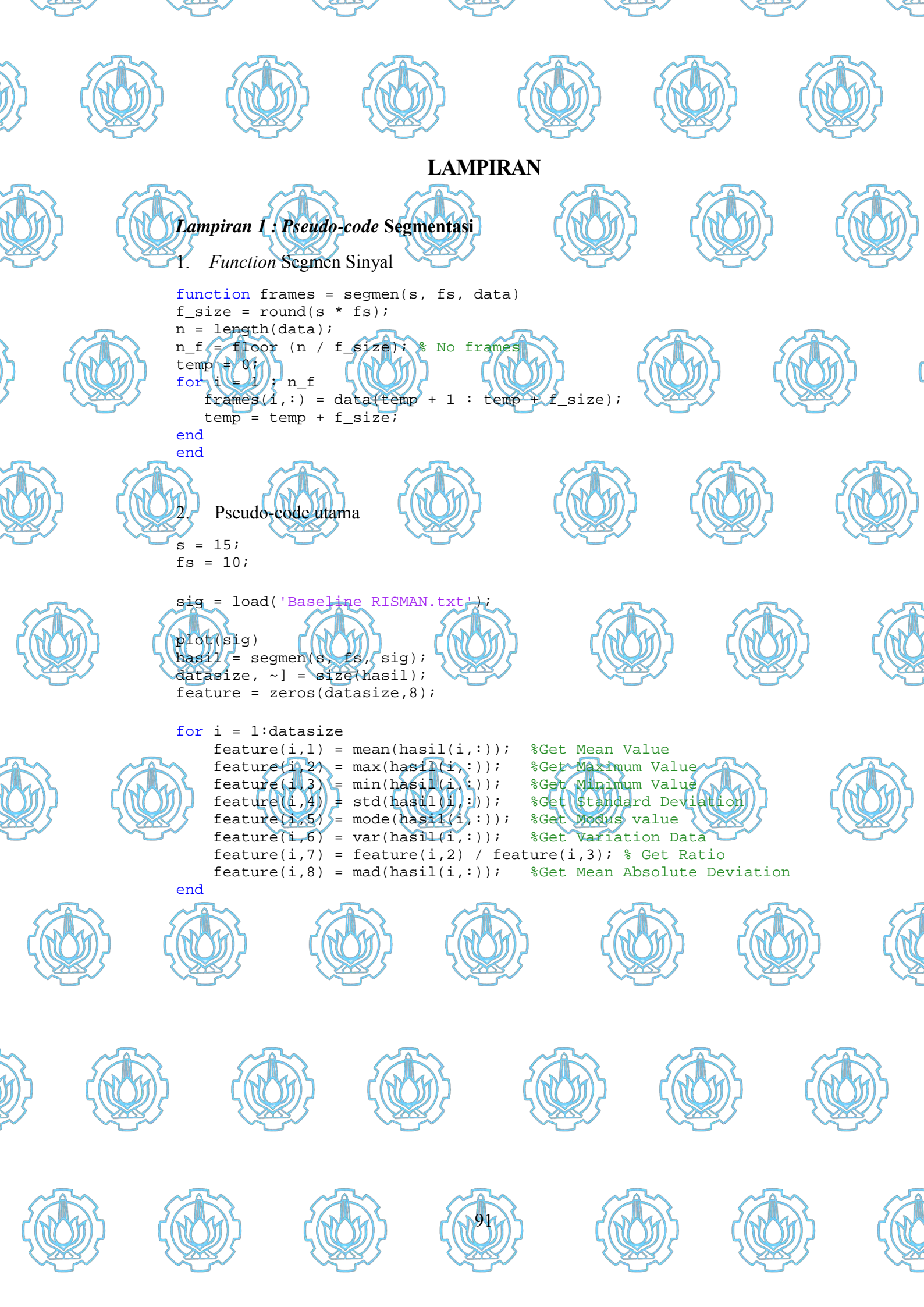


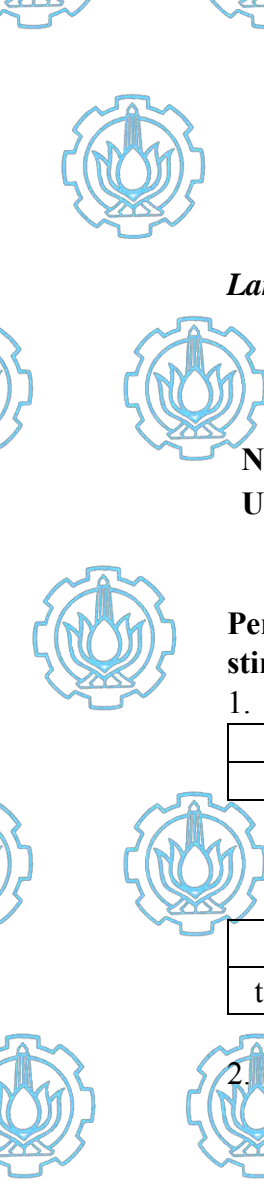






















Lampiran 2 : Kuisi	oner			
KUISION Nama : Umur :	ER PASCA MEN  Jenis		nang Marah	
stimuli: 1. Selama anda men	nonton video stimuli, o	emosi apa yang palin	3	
	nakan skala nilai benji pilihan nomor)  2 3 4	5 6	r emosi yang anda 7 8 Sangat	
2. Apakah anda me	rasakan emosi lain sel Tidak	ama menonton video	\ \ \ \ \ \ \ \ \ \ \ \ \ \ \ \ \ \ \	
Senang Sedih	mosi lain yang dirasa  2 3 4  seda	Lainnya kan? (Lingkari piliha	an nomor jika jawab  7 8  Sangat	
Iya 6. Apakah anda n	Tidak Tenutup mata atau n		ngan selama video	
berlangsung?  Iya  Catatan Peneliti	Tidak			





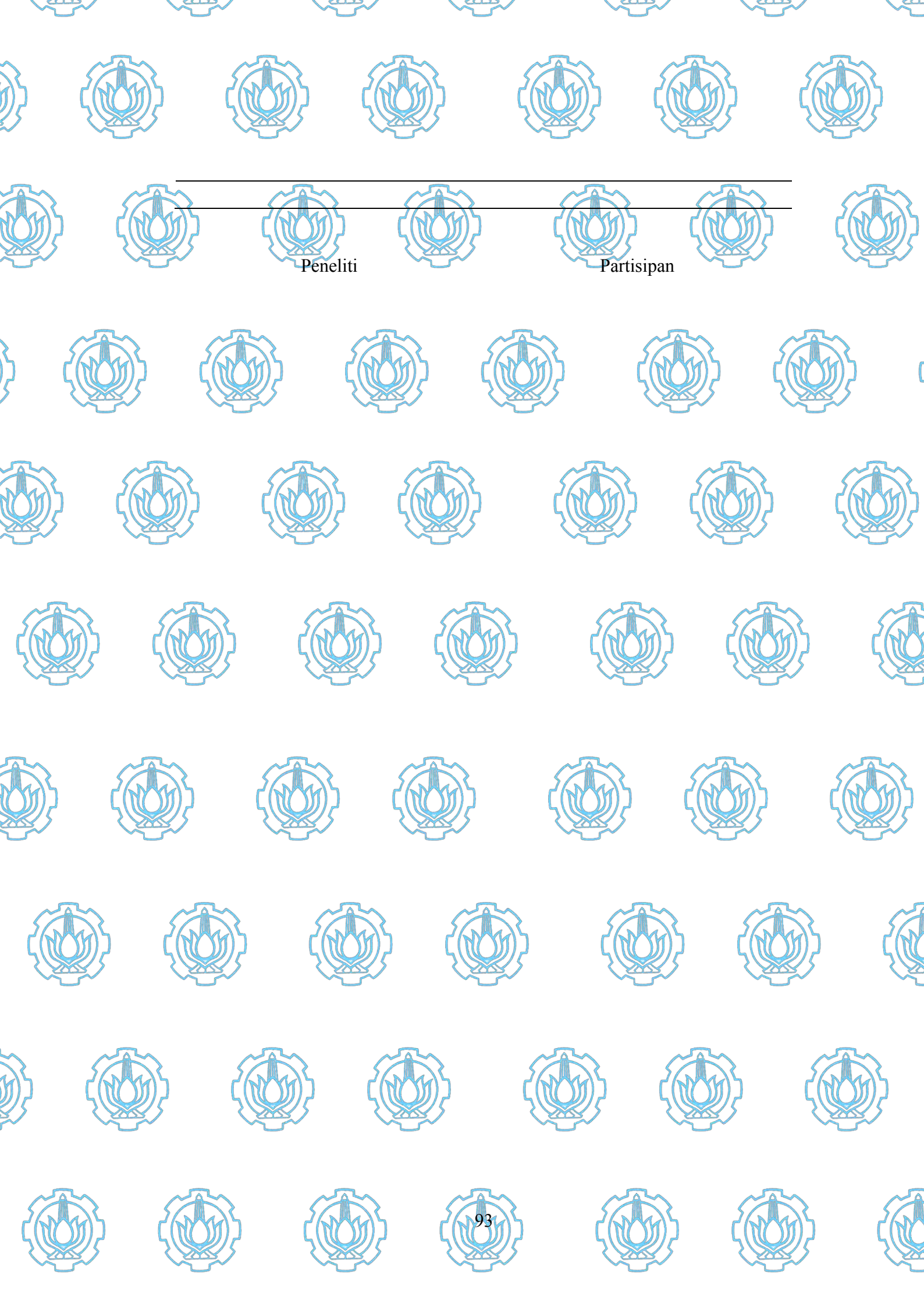


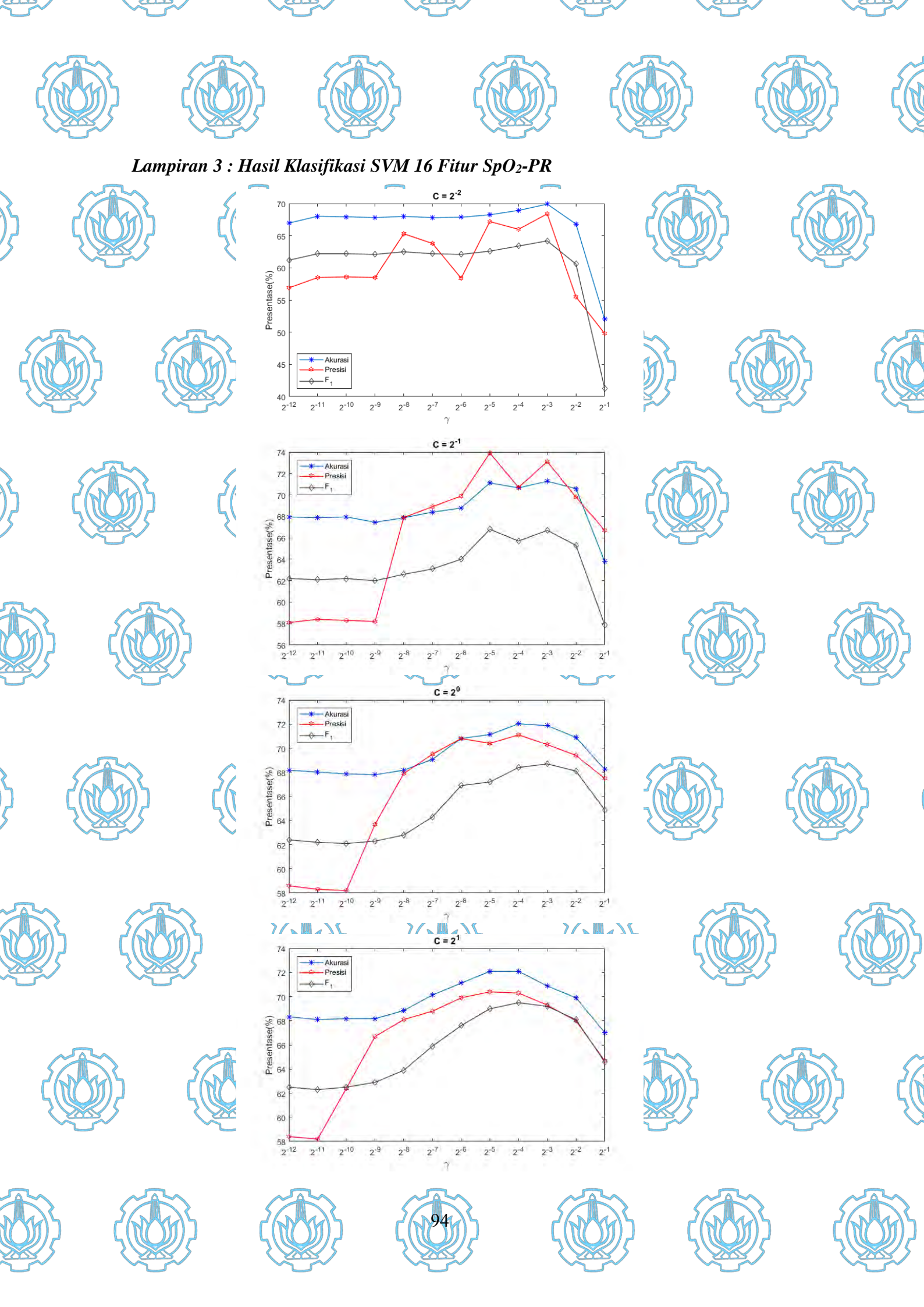


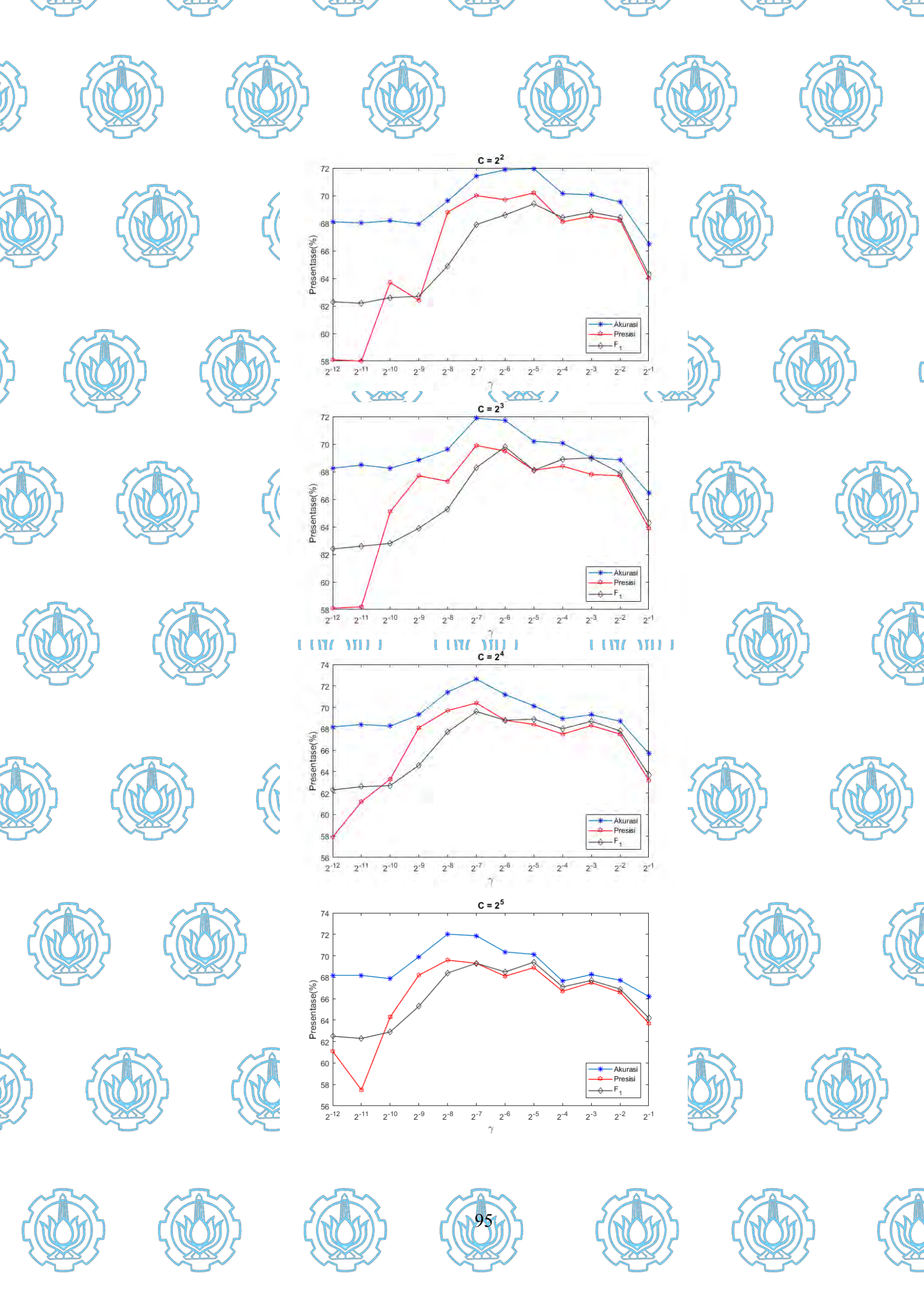


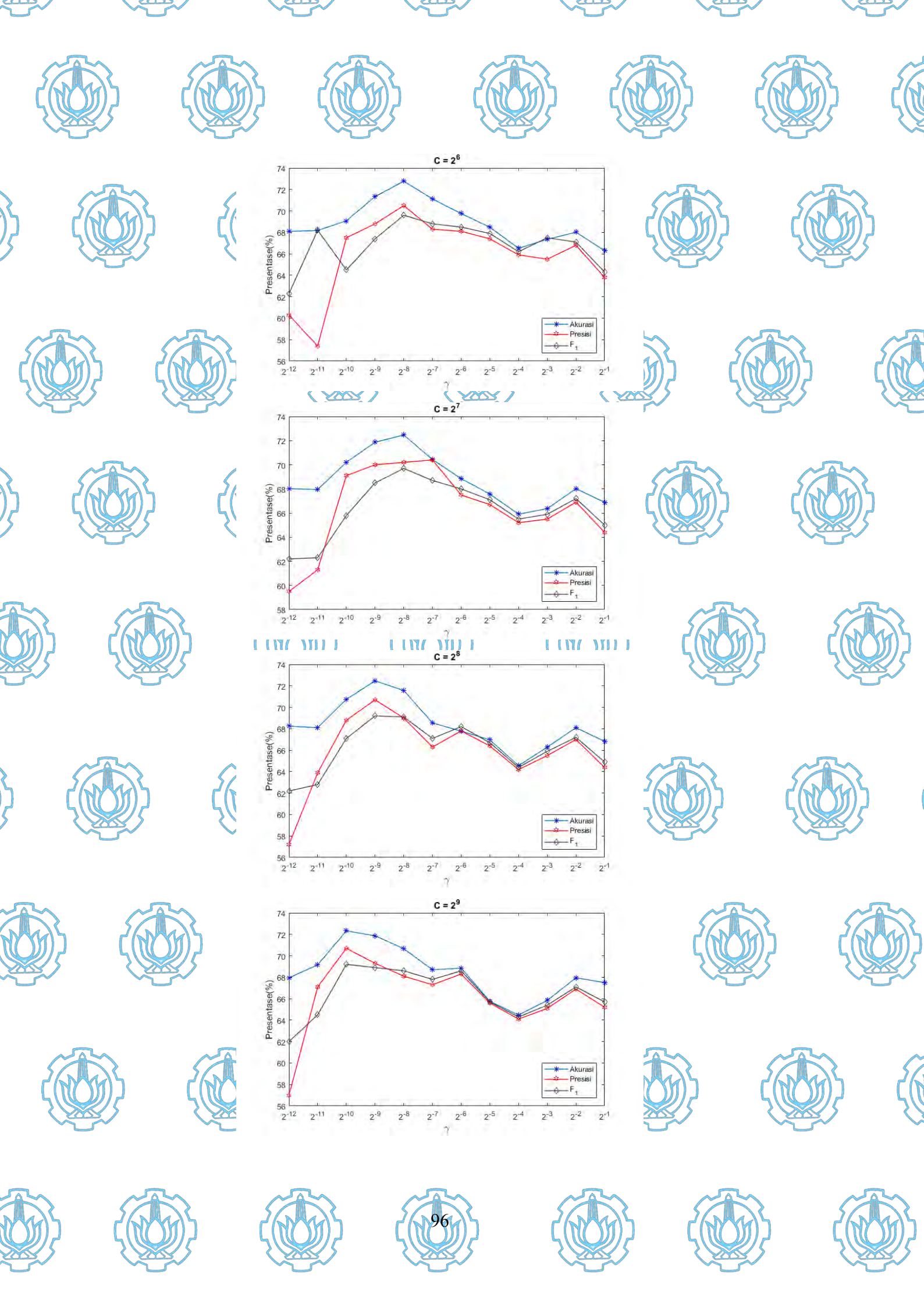


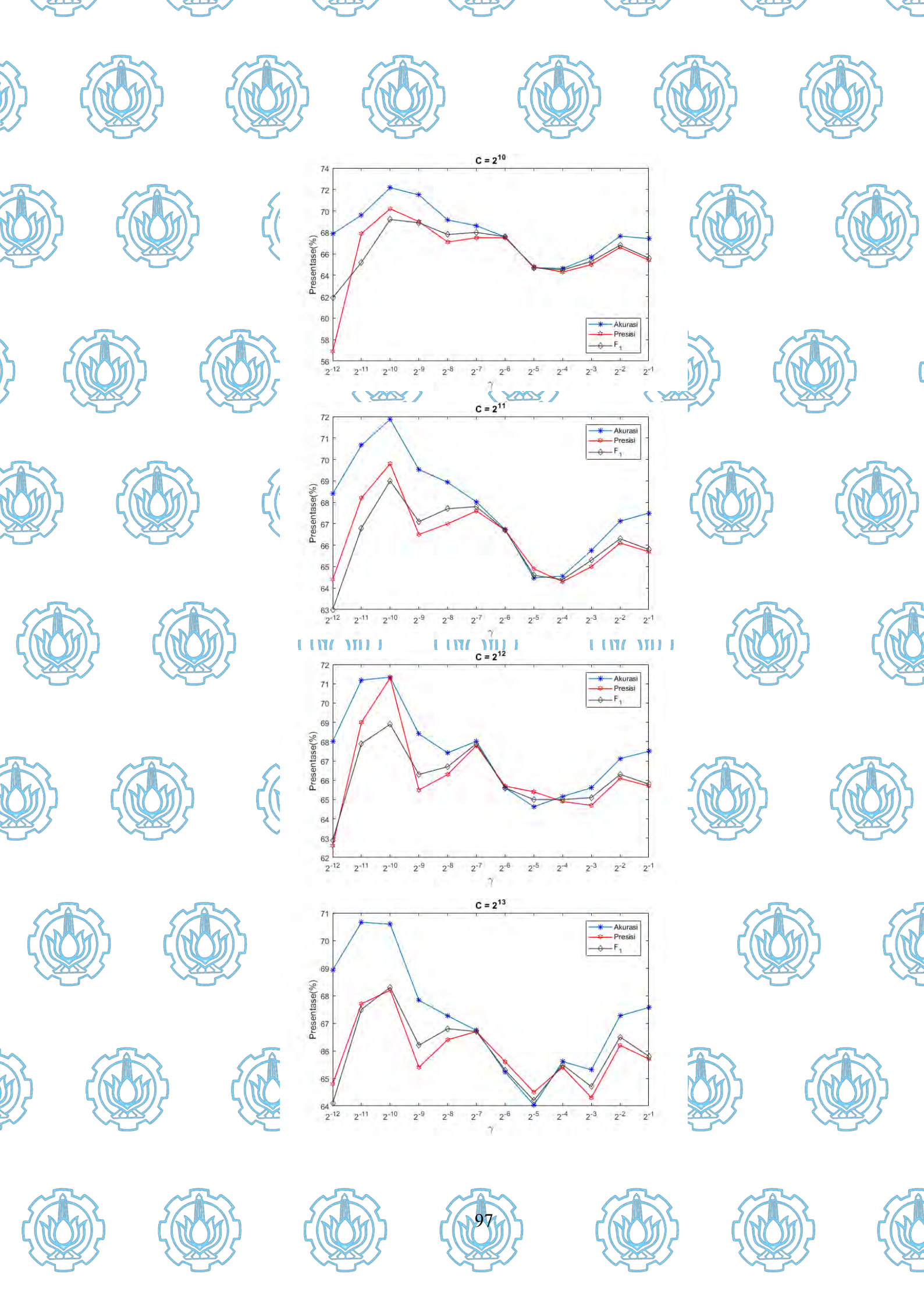


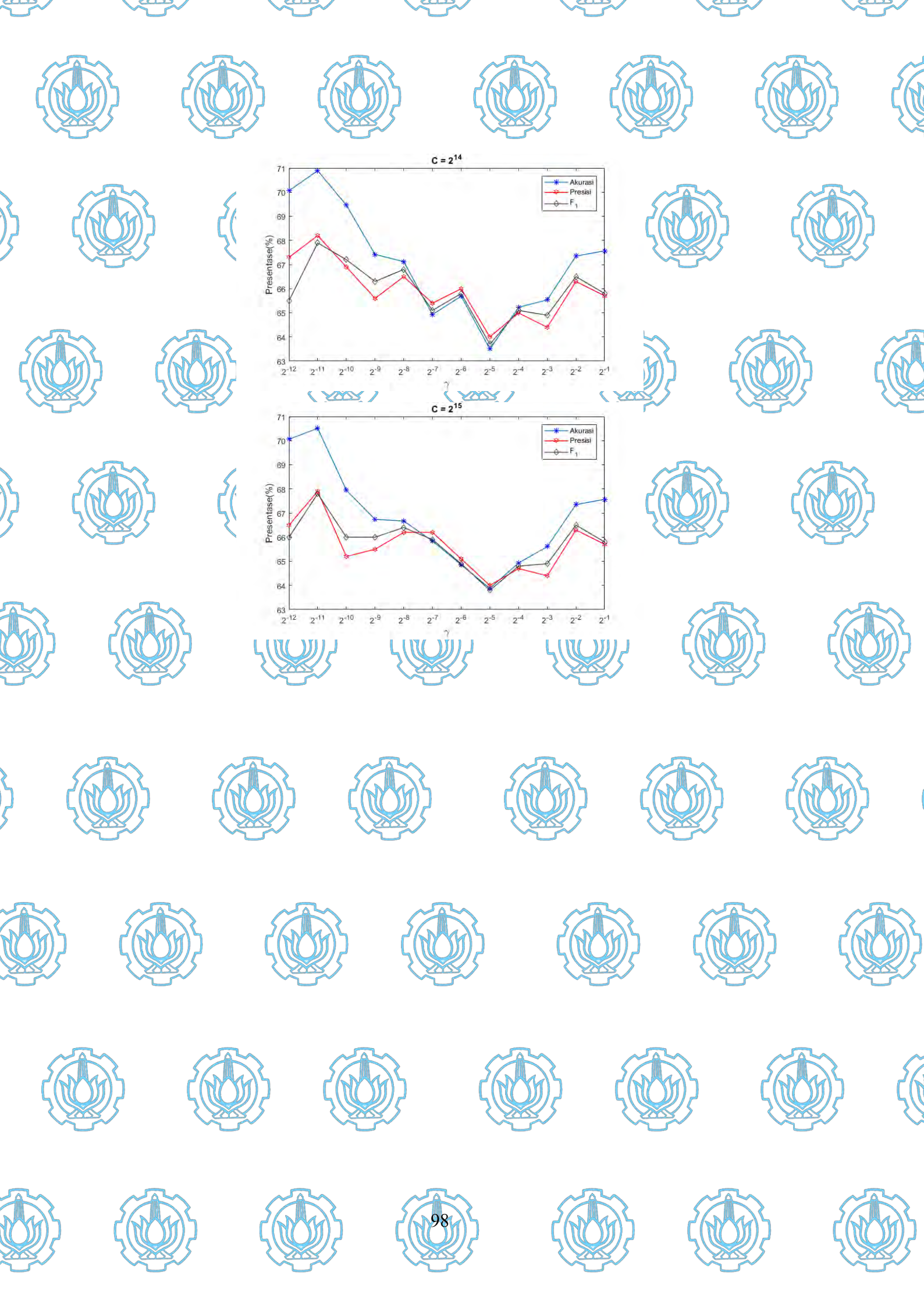


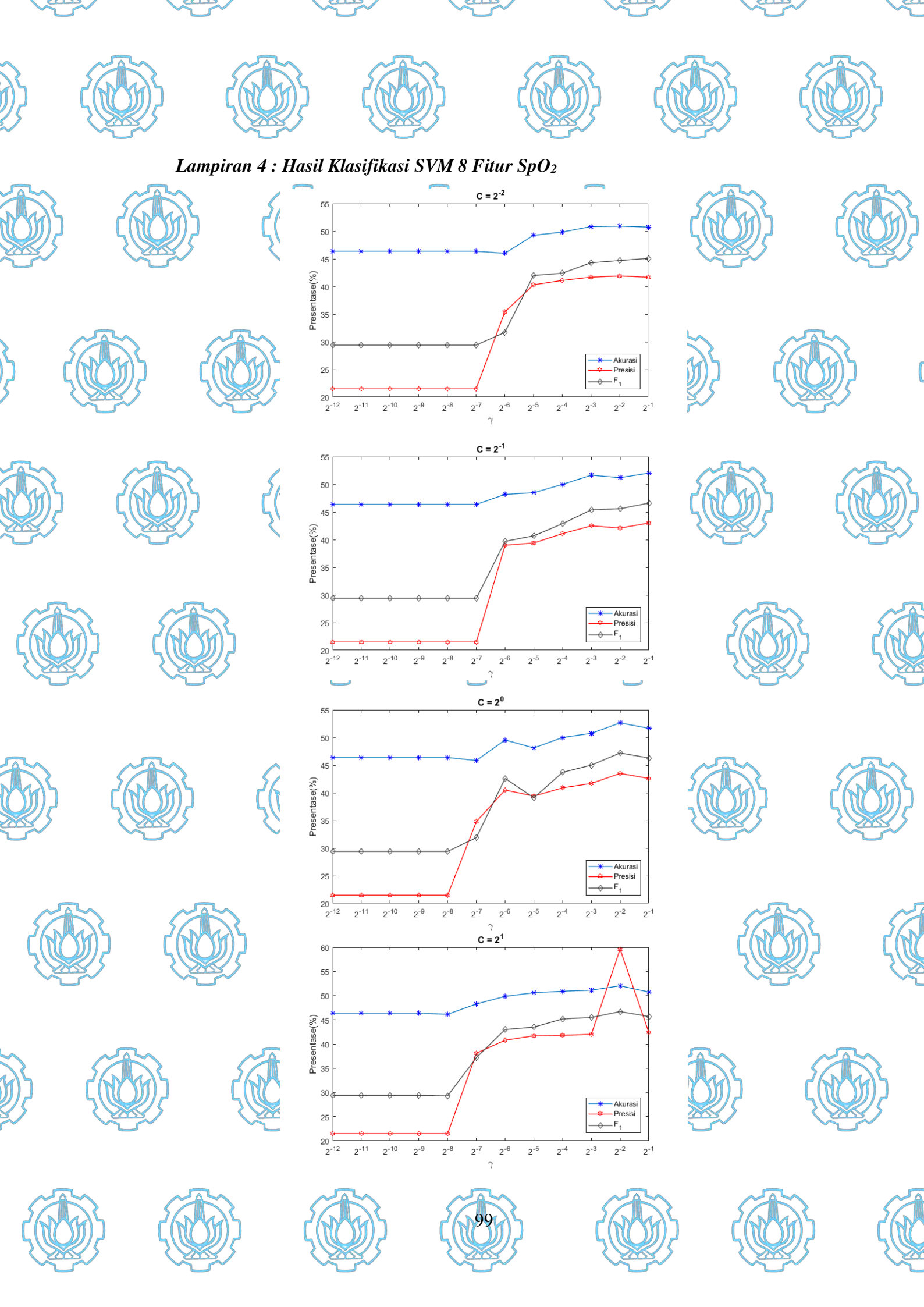


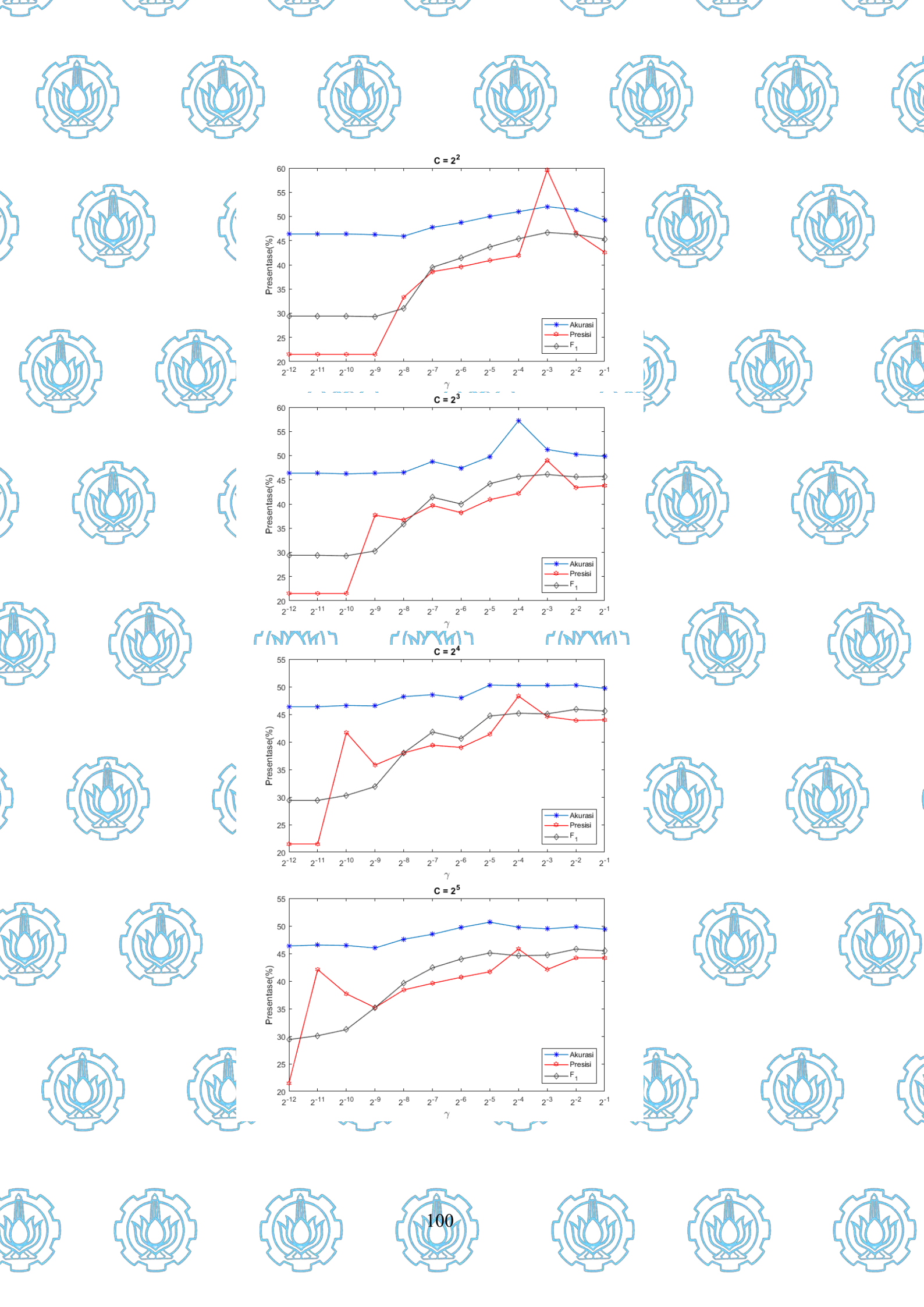


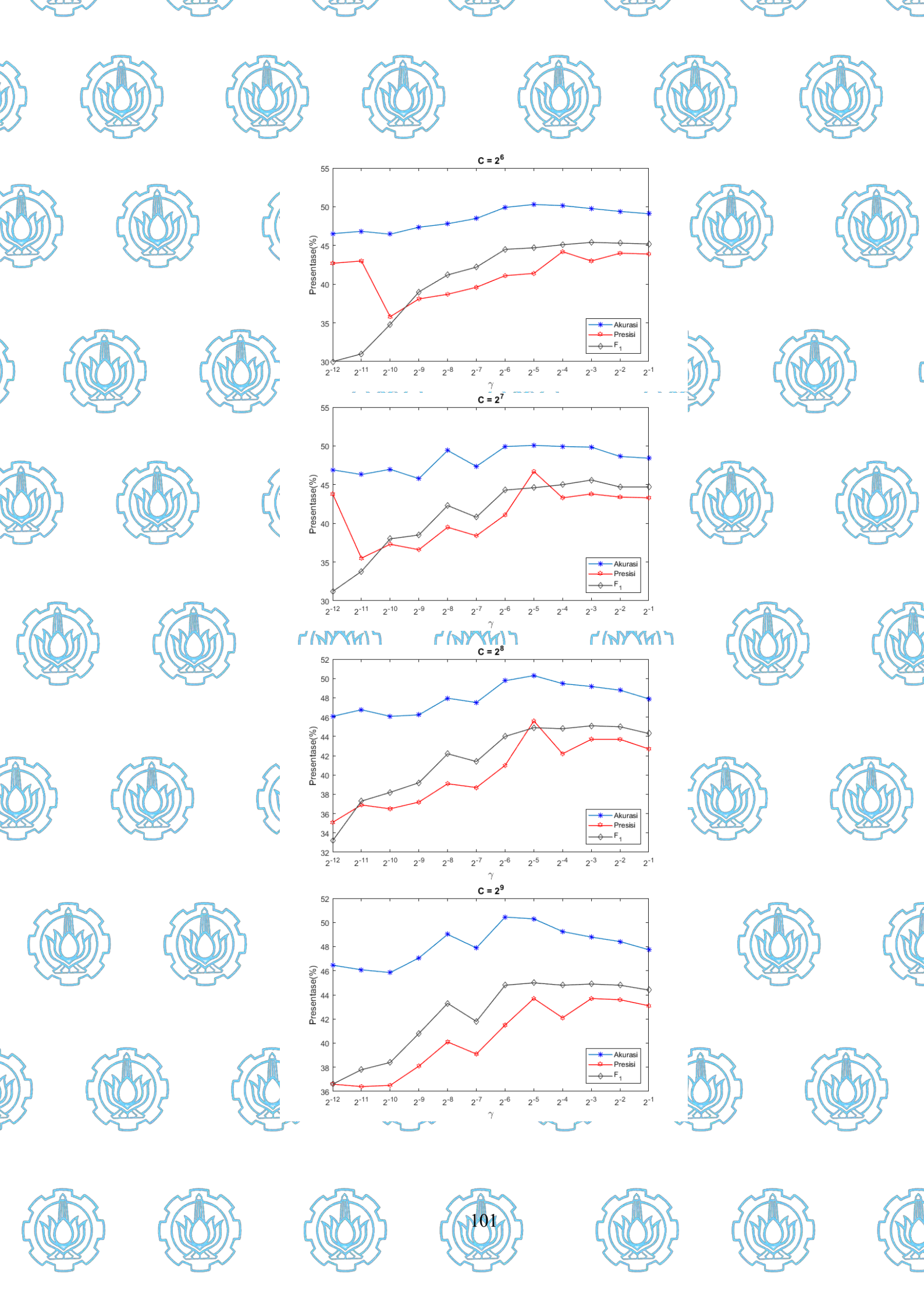


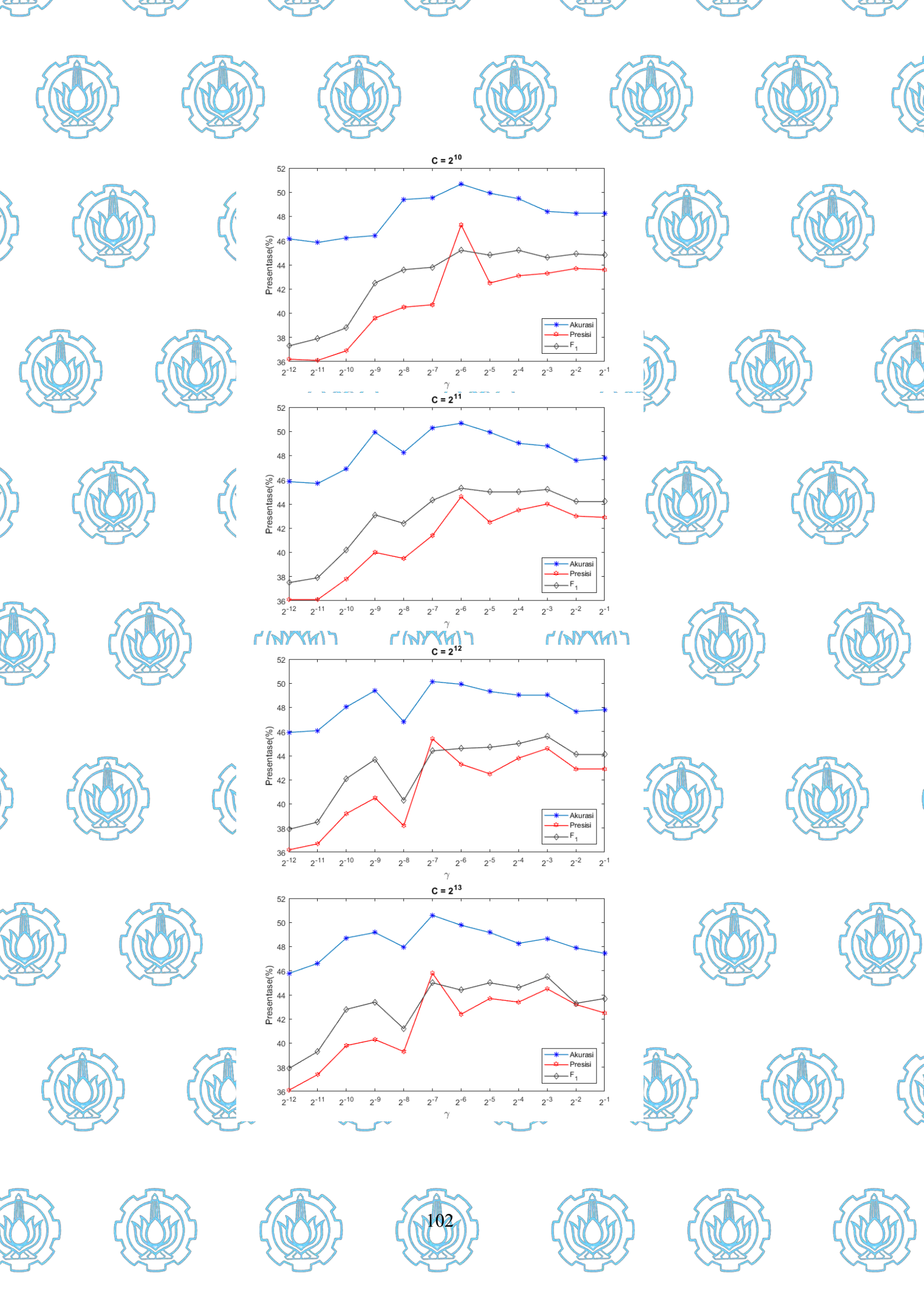


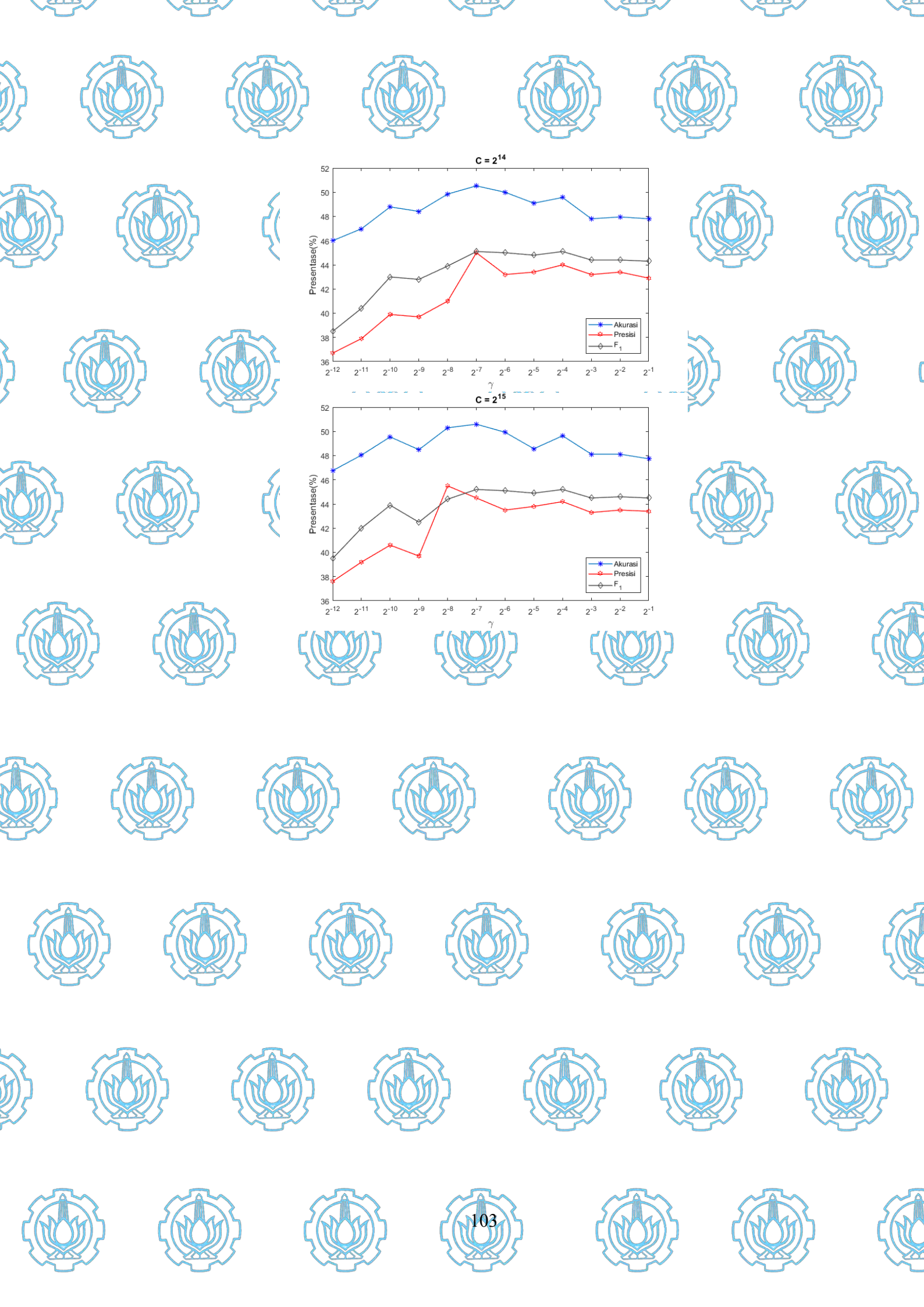


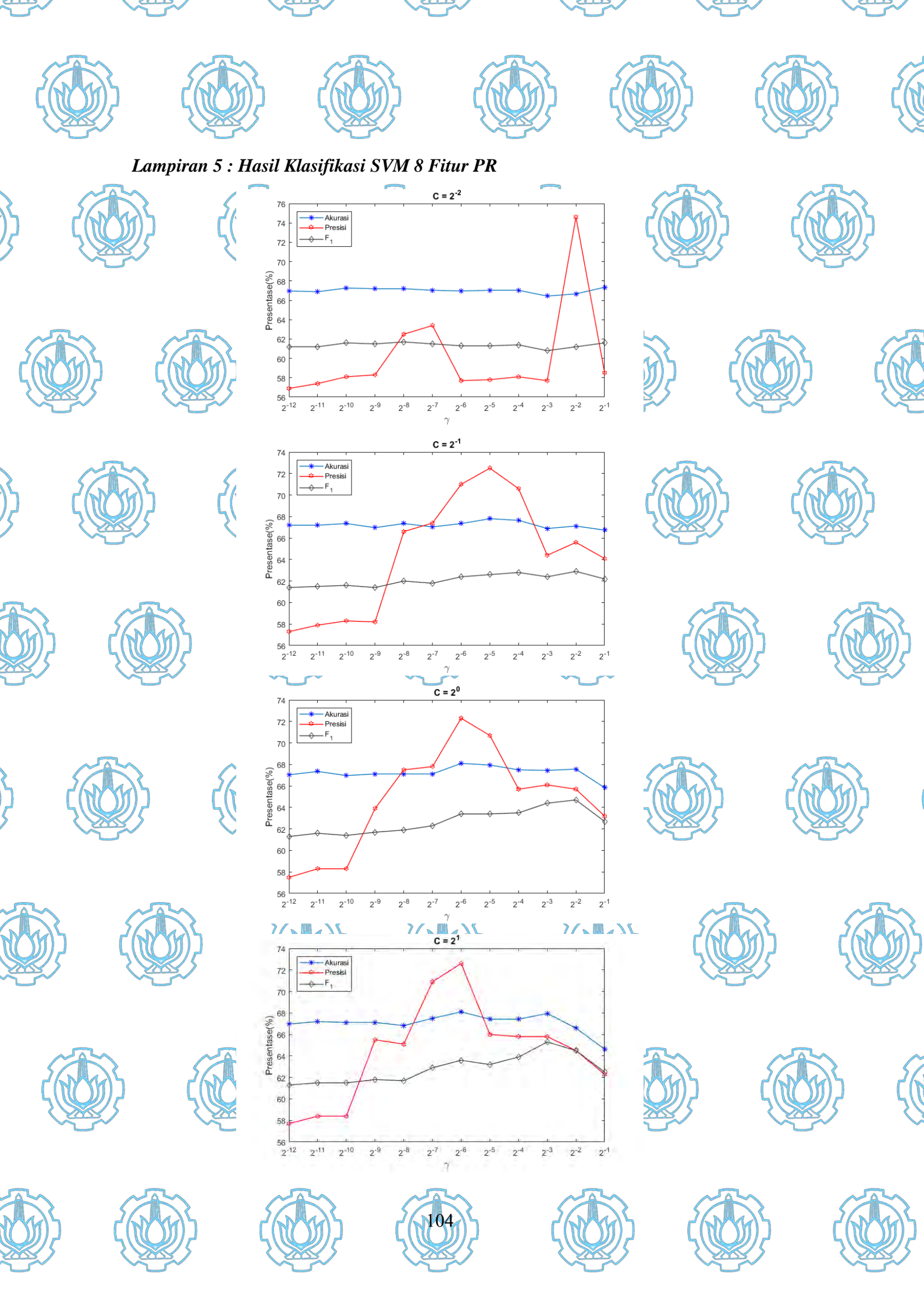


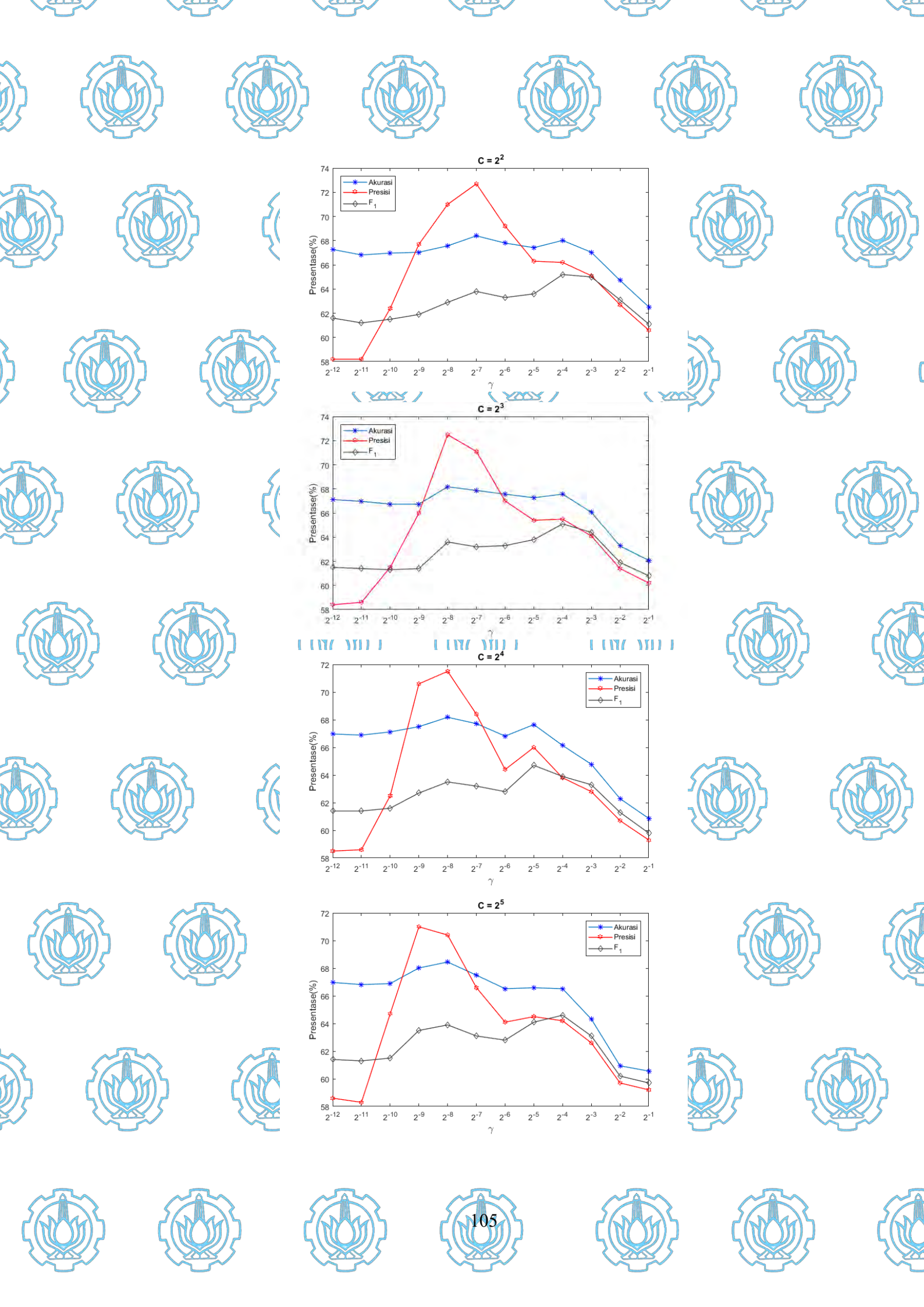




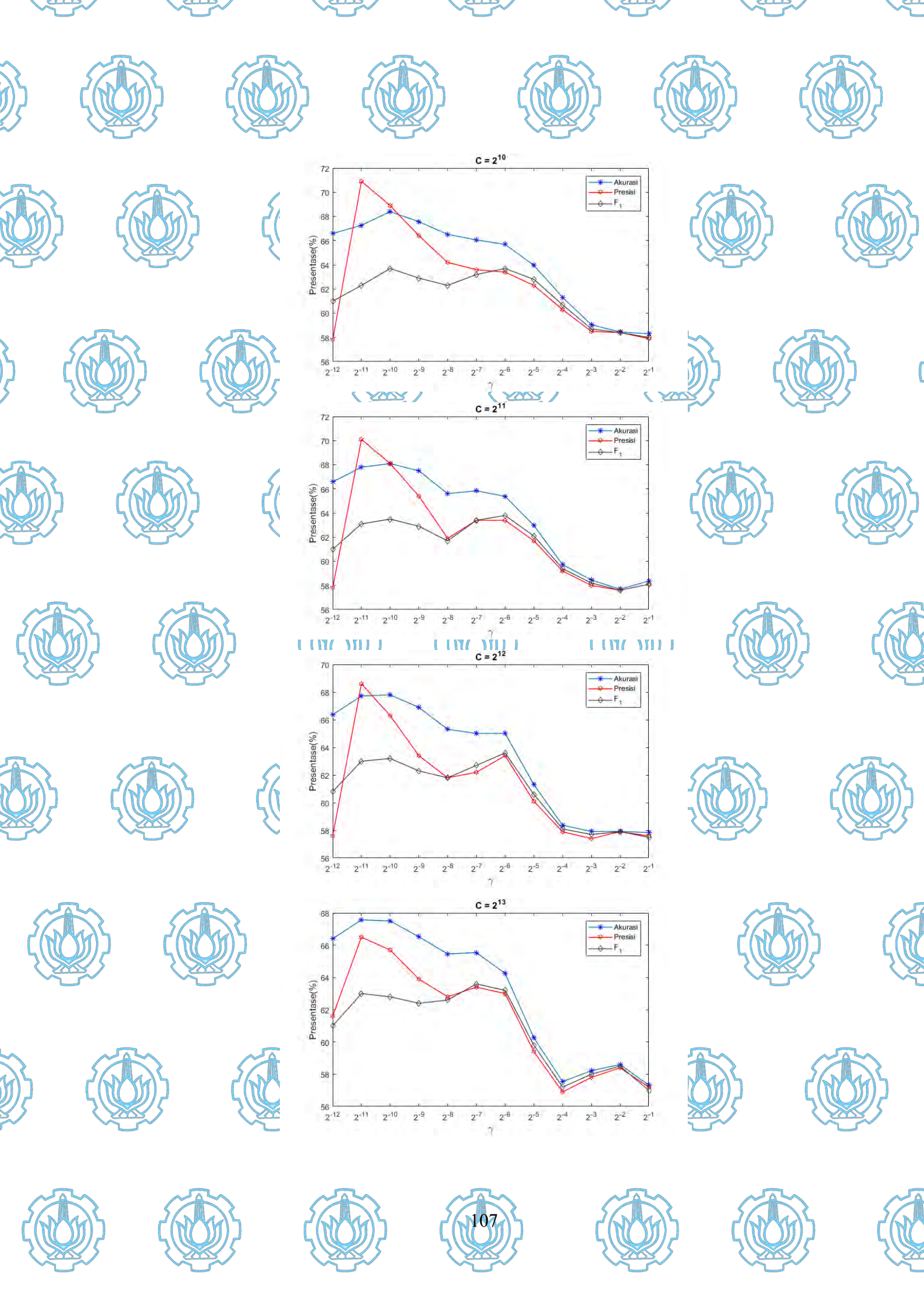


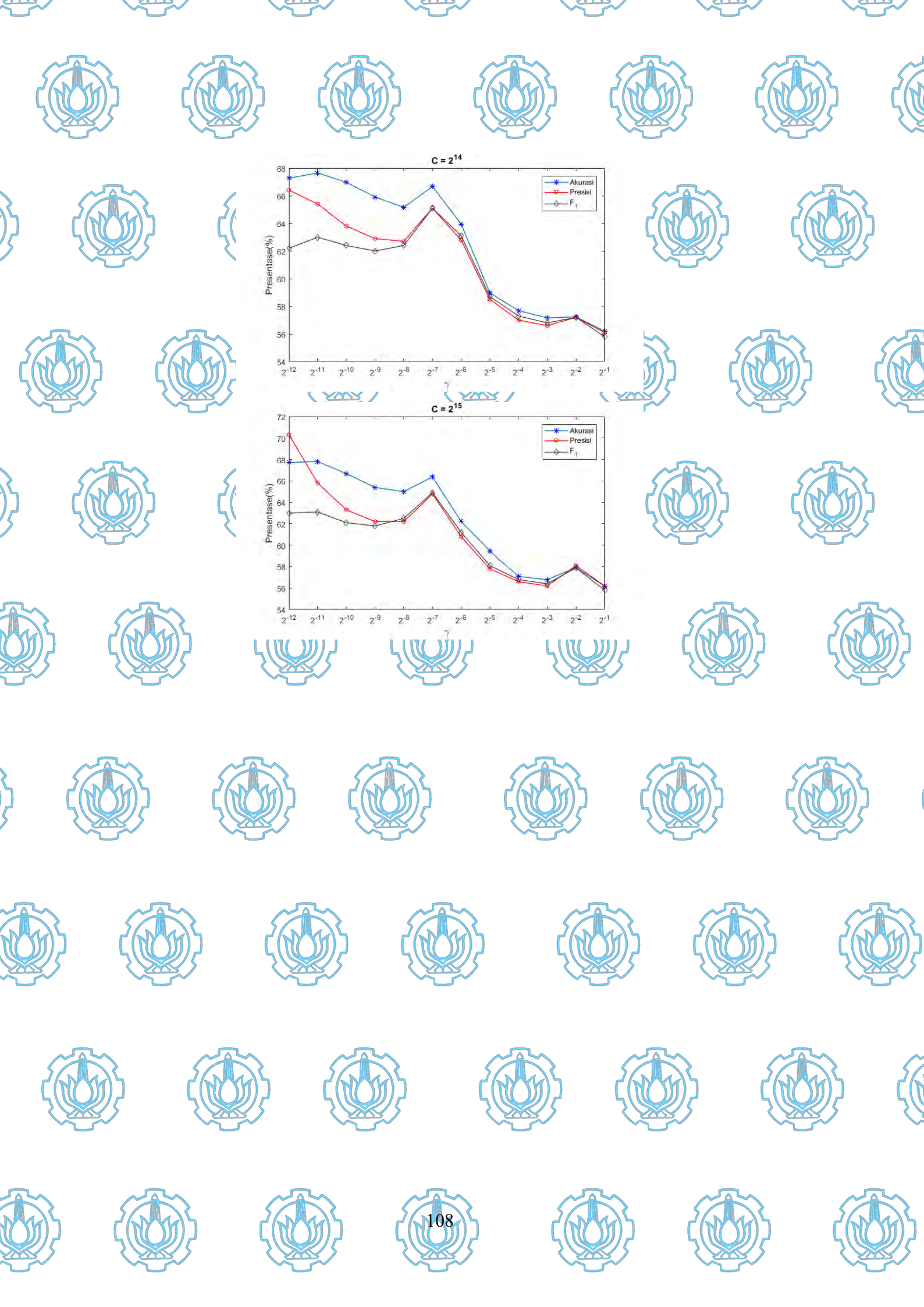
























## **BIOGRAFI PENULIS**



Lutfi Hakim, Magister Teknik Elektro Bidang Keahlian Telematika, Fakultas Teknologi Elektro, Institut Teknologi Sepuluh Nopember Surabaya lahir di Banyuwangi, 30 Maret 1992 merupakan anak pertama dari Faishol dan Istiqomah. Penulis mempunyai dua adik kandung bernama Dewi Irpina dan Fitri Yupita serta Istri yang bernama Yuniarta Syarifatul Umami. Selama hidupnya, penulis menempuh pendidikan di TK Aisyah Bustanul Athfal (1997-1999), SDN 1 Kalirejo (1999-2005), SMPN 2

















